

รายงานการวิจัยฉบับสมบูรณ์
เรื่อง

บทบาทของแบคทีเรียแลกติกที่แยกได้จากกระบวนการ
การหมักเต้าหู้ชีสแบบดั้งเดิม

**Roles of lactic acid bacteria isolated from traditional
fermenting soybean curd (Sufu)**

โดย
รศ.ดร.ประเสริฐ สันตินานาเลิศ
หัวหน้าโครงการวิจัย

ภาควิชาจุลชีววิทยา คณะวิทยาศาสตร์
มหาวิทยาลัยสงขลานครินทร์

ได้รับทุนอุดหนุนการวิจัยจากมหาวิทยาลัยสงขลานครินทร์ และ
สำนักงานคณะกรรมการวิจัยแห่งชาติ
ประจำปีงบประมาณ 2549-2550

1. ชื่อโครงการ

ภาษาไทย: บทบาทของแบคทีเรียแลกติกที่แยกจากกระบวนการหมักเต้าหู้แบบดั้งเดิม

ภาษาอังกฤษ: Roles of lactic acid bacteria isolated from traditional fermenting soybean curd (Sufu)

2. ชื่อสถาบันหรือหน่วยงานที่ขอรับทุน

ภาควิชาจุลชีววิทยา คณะวิทยาศาสตร์ มหาวิทยาลัยสงขลานครินทร์
วิทยาเขตหาดใหญ่ จ.สงขลา 90112

3. คณะผู้วิจัย

3.1 หัวหน้าโครงการวิจัย

รศ. ดร. ประเสริฐ สันตินาเดศ

3.2 ผู้ร่วมโครงการวิจัย

ดร. สำราญ พัฒนาสุข

รศ. ดร. ดวงพร กันธ์ไชย

นางสาว สุพรรยา อุไรพันธ์

นางสาว การดา อุทโท

นางสาว วรารณ์ บุญประเสริฐ

นางสาว สุวรรณี เจตต์ราพงศ์

4. ประเภทของการวิจัย การวิจัยระดับพื้นฐานและประยุกต์

5. สาขาวิชาการและกลุ่มวิชาการที่ทำการวิจัย สาขาวิชาอาหาร

6. คำสำคัญ (Key words) ของโครงการวิจัย lactic acid bacteria, soybean curd, sufu

7. ได้รับทุนอุดหนุนการวิจัยจากมหาวิทยาลัยสงขลานครินทร์ และ สำนักงานคณะกรรมการวิจัยแห่งชาติ ปีงบประมาณ 2554-2550

สารบัญ

สารบัญ	หน้า
รายการตาราง	5
รายการรูป	6
บทคัดย่อ	8
Abstract	10
บทนำ	12
วัสดุ อุปกรณ์และวิธีการ	16
ผลการทดลอง	30
วิเคราะห์ผลการทดลอง	69
สรุป	78
เอกสารอ้างอิง	79

รายการตาราง

ตารางที่	หน้า
1 การเติบโตของแบคทีเรียแลกติกบน MRS agar ที่มีเกลือความเข้มข้นต่างๆ	40
2 การคัดแยกชนิดของโปรไนโอดิติกแลกติกแอซิดแบคทีเรีย	42
3 ผลการขับยั้งแบคทีเรียอินดิเคเตอร์ของแบคทีเรียแลกติก	43
4 ผลการทดสอบสารบันยั้งของน้ำเสียงเชื้อแบคทีเรียแลกติกที่ปรับ pH กับ <i>L. monocytogenes</i> DMST4553 โดยวิธี agar well diffusion assay	45
5 ผลการทดสอบสารบันยั้งของน้ำเสียงเชื้อแบคทีเรียแลกติกที่ไม่ได้ปรับ pH กับ <i>L. monocytogenes</i> DMST4553 โดยวิธี agar well diffusion assay	46
6 การจำแนกแบคทีเรียแลกติก 126 สายพันธุ์ที่แยกได้จากตัวอย่างเดาหุ่ย	51
7 ตัวอย่างการทดสอบทางกายภาพและทางชีวเคมีของแบคทีเรียแลกติก	52
8 การหมักคาร์บอไนเตอร์ 49 ชนิดของแบคทีเรียแลกติก	53
9 การบ่งชี้ชนิดของแบคทีเรียแลกติกโดยใช้ program computer API Web Stand Alone V. 1.1.0	55
10 ชนิดและปริมาณแอลตราตูในตัวอย่างเดาหุ่ยสำเร็จรูป	62
11 การตรวจหา <i>Bacillus Diarrhoeal Enterotoxin</i> ในตัวอย่างเดาหุ่ยสำเร็จรูป โดยใช้ TECRA BDE VIA	66
12 ปริมาณเชื้อที่หมักน้ำตาลmannitol และผลการตรวจหา <i>Staphylococcal enterotoxin</i> ในตัวอย่างเดาหุ่ยสำเร็จรูป	68

รายการรูป

รูปที่	หน้า
1 เต้าหู้ชี๊ดในกระบวนการหมักจากโรงงานเต้าหู้ชี๊ดใน อ.เมือง จ.สิงค์ลา	18
2 เต้าหู้ชี๊ดสำเร็จรูปจำนวน 9 ตัวอย่าง ที่จำหน่ายในอําเภอหาดใหญ่ จ.สิงค์ลา	18
3 ชุดทดสอบ TECRA <i>Bacillus</i> Dearrheal Enterotoxin Visual Immunoassay	27
4 ผลการตรวจหา BDE ของ <i>Bacillus</i> โดยใช้ TECRA BDE VIA	28
5 Card color ที่ใช้อ่านผลการตรวจหา BDE ของ <i>Bacillus</i>	28
6 TECRA UNIQUE Staphylococcal enterotoxins card	29
7 ปริมาณแบนค์ที่เรียPLEAKTICในกระบวนการหมักเต้าหู้ชี๊ดจากถังหมักเดียวกัน	31
8 ปริมาณแบนค์ที่เรียPLEAKTICในกระบวนการหมักเต้าหู้ชี๊ดจากถังหมักต่างๆ กัน	32
9 ปริมาณแบนค์ที่เรียPLEAKTICในตัวอย่างเต้าหู้ชี๊ดสำเร็จรูป	33
10 การเปลี่ยนแปลงของความเป็นกรดค้าง (pH) ของตัวอย่างเต้าหู้ชี๊ด	33
11 ปริมาณเชื้อ <i>Staphylococcus</i> ในกระบวนการหมักเต้าหู้ชี๊ด	35
12 ปริมาณเชื้อ <i>Staphylococcus</i> ในกระบวนการหมักเต้าหู้ชี๊ดจากถังหมักต่างๆ กัน	35
13 ปริมาณ <i>Staphylococcus</i> ในตัวอย่างเต้าหู้ชี๊ดสำเร็จรูป	36
14 ปริมาณเชื้อ <i>Bacillus</i> ในกระบวนการหมักเต้าหู้ชี๊ด	36
15 ปริมาณเชื้อ <i>Bacillus</i> ในกระบวนการหมักเต้าหู้ชี๊ดจากถังหมักต่างๆ กัน	37
16 ปริมาณ <i>Bacillus</i> ในตัวอย่างเต้าหู้ชี๊ดสำเร็จรูป	37
17 ปริมาณ Black colony ในกระบวนการหมักเต้าหู้ชี๊ด	38
18 ปริมาณ Black colony ในกระบวนการหมักเต้าหู้ชี๊ดจากถังหมักต่างๆ กัน	38
19 ปริมาณ Black colony ในตัวอย่างเต้าหู้ชี๊ดสำเร็จรูป	39
20 การผลิตเอนไซม์บอยโปรดีนของแบนค์ที่เรียPLEAKTIC	42
21 ผลการขับถั่ง <i>Escherichia coli</i> ATCC25922 ของแบนค์ที่เรียPLEAKTIC	44
22 ผลการขับถั่ง <i>Listeria monocytogenes</i> DMST4553 ของ culture broth ที่ได้จากการเลี้ยงเชื้อแบนค์ที่เรียPLEAKTIC	44
23 การทดสอบสารขับถั่งของแบนค์ที่เรียPLEAKTIC กับ <i>L. monocytogenes</i> DMST4553 โดยวิธี agar well diffusion	46
24 การทดสอบสารขับถั่งของแบนค์ที่เรียPLEAKTIC กับเชื้อ <i>L. monocytogenes</i> DMST4553 หลังจากบ่มร่วมกับเอนไซม์	47

รายการรูป (ต่อ)

รูปที่	หน้า
25 การผลิตกรดแลกติกของแบคทีเรียแลกติก	48
26 ลักษณะโโคโนนีที่แตกต่างกันของแบคทีเรียแลกติก	50
27 รูปร่าง การจัดเรียงตัว และการติดสีกรัมของแบคทีเรียแลกติก	50
28 การบ่งชี้นิคของแบคทีเรียแลกติกโดยใช้ API 50 CHL	56
29 การบ่งชี้นิคของแบคทีเรียแลกติกโดยวิธีการตรวจหาลำดับเบสของ 16S rRNA gene	57
30 เปอร์เซ็นต์เกลือในน้ำและเนื้อของตัวอย่างเต้าหู้ยังในกระบวนการหมัก	59
31 เปอร์เซ็นต์เกลือในน้ำและเนื้อของตัวอย่างเต้าหู้ยังสำหรับรูป	60
32 SEM ของก้อนเต้าหู้ยัง	64
33 การตรวจหา Staphylococcal enterotoxins โดยใช้ TECRA UNIQUE Staphylococcal enterotoxins (SET)	67

บทคัดย่อ

แบคทีเรียแลกติกที่แยกได้จากการหมักเต้าหู้ชี๊บ บนอาหาร MRS agar ที่เติม 0.04% Bromocresol purple, 5 mg% sodium azide และเกลือ (NaCl) ความเข้มข้นต่าง ๆ กัน พบร้า มีปริมาณแบคทีเรียแลกติกอยู่ระหว่าง 3.0×10^3 ถึง 7.0×10^7 CFU/กรัม บนอาหารที่ไม่เติมเกลือ โดยพบตึ้งแต่เริ่มต้นกระบวนการหมักจนถึง 5 เดือน และพบแบคทีเรียแลกติกอยู่ระหว่าง 1.1×10^4 ถึง 3.0×10^7 และ 1.9×10^3 ถึง 1.5×10^7 CFU/กรัม บนอาหารที่มีเกลือ 5% และ 10% ตามลำดับ โดยพบตึ้งแต่ เริ่มต้นกระบวนการหมักจนถึง 8 เดือน แต่ตรวจไม่พบแบคทีเรียก่อโรค *Escherichia coli*, *Staphylococcus aureus* และ *Listeria monocytogenes*

แบคทีเรียแลกติกที่แยกได้ทั้งหมดมีจำนวน 126 สายพันธุ์ จัดเป็นแบคทีเรียหนาเกลือ จำนวน 83 สายพันธุ์ (65.9%) แบคทีเรียชอบเกลือ 43 สายพันธุ์ (34.1%) และแบคทีเรียแลกติกที่แยกได้ 50 สายพันธุ์ (39.7%) มีความสามารถอ่อนไหวยับยั้งโปรตีนและแพนเพียง 2 สายพันธุ์ (1.6%) ที่สามารถยับยั้งไขมน้ำได้ นอกจากนี้แบคทีเรียแลกติกที่แยกได้ยังมีคุณสมบัติการเป็นโปรดไนโอดิก โดยสามารถทนกรดและเกลือได้ดี และมีบทบาทในการขับยั้งแบคทีเรียอินดิเคเตอร์ *Escherichia coli* ATCC25922, *Staphylococcus aureus* ATCC25923, *Bacillus cereus* TISTR687 และ *Listeria monocytogenes* DMST4553

แบคทีเรียแลกติกที่แยกได้บ่งชี้เป็นสกุล *Lactobacillus* จำนวน 67 สายพันธุ์ (53.2%) และ *Pediococcus* 59 สายพันธุ์ (46.8%) และเมื่อคัดเลือกแบคทีเรียแลกติก 10 สายพันธุ์ ที่มีศักยภาพ เป็นโปรดไนโอดิกมากบ่งชี้ชนิดโดยการทดสอบทางชีวเคมีโดยใช้ API 50CHL system พบร้า แบคทีเรียแลกติกตั้งกล่าวเป็นสายพันธุ์ *Lactobacillus curvatus* (3 สายพันธุ์), *Lactobacillus delbrueckii* (3 สายพันธุ์), *Lactobacillus plantarum* (1 สายพันธุ์) และ *Pediococcus* (3 สายพันธุ์) และเมื่อคัดเลือกแบคทีเรียแลกติก 2 สายพันธุ์ มาบ่งชี้โดยวิธีการตรวจหาลำดับเบสของ 16S rRNA gene พบร้า *Lactobacillus curvatus* PS1240 บ่งชี้เป็น *Lactobacillus acidipicis* ส่วน *Pediococcus* PS1231 เป็น *Tetragenococcus halophilus* โดย *L. acidipiscis* ที่แยกได้มีศักยภาพในการขับยั้ง แบคทีเรียก่อโรค *Listeria monocytogenes* DMST4553 ในส่วนน้ำเสียงเชื้อ โดยผลิตกรดแลกติกเป็นผลผลิตสุคท้ายในการขับยั้งแบคทีเรียก่อโรค แต่ตรวจไม่พบแบคเทอโริโซชิน

ส่วนการตรวจคุณภาพของเต้าหู้ชี๊บพบว่าตัวอย่างเต้าหู้ชี๊บสำเร็จรูปมีปริมาณแร่ธาตุ 12 ชนิด โดยเรียงตามลำดับปริมาณจากมากไปน้อยดังนี้ Mg, Ca, Li, Fe, Cu, Mn, Zn, Al, Ni, As, Pb และ Cd นอกจากนี้ยังได้ศึกษาโครงสร้างของเนื้อเต้าหู้ชี๊บสำเร็จรูปโดยใช้กล้องจุลทรรศน์ อิเล็กตรอนชนิด SEM พบร้าเนื้อเต้าหู้ชี๊บหลังหมักมีรูพรุนขนาดใหญ่และจำนวนรูพรุนมากกว่า โครงสร้างของเนื้อเต้าหู้ก่อนหมัก

ส่วนการตรวจหา *Bacillus* Diarrhoeal Enterotoxin (BDE) จากตัวอย่างเด้าทุชี่
สำเร็จรูป 9 ตัวอย่าง โดยใช้ชุดทดสอบ TECRA *Bacillus* Diarrhoeal Enterotoxin Visual
Immunoassay พบว่ามี 5 ตัวอย่าง (CSF1, CSF2, CSF6, CSF8 และ CSF9) ที่ตรวจพบ BDE เมื่อ
ตรวจโดยใช้ enriched medium แต่ตรวจไม่พบ BDE โดยวิธี direct assay

ส่วนการตรวจหา Staphylococcal enterotoxin จากตัวอย่างเด้าทุชี่สำเร็จรูป โดยใช้
TECRA UNIQUE Staphylococcal enterotoxin พบว่า ในทุกตัวอย่างตรวจไม่พบ Staphylococcal
enterotoxin

ABSTRACT

The lactic acid bacteria (LAB) in fermenting soybean curds (sufu) were quantitated on MRS agar added with 0.04% Bromocresol purple, 5 mg% sodium azide and NaCl with varying concentrations. The LAB found during 5 months of fermentation were between 3.0×10^3 to 7.0×10^7 CFU/g on medium containing 0% NaCl and during 8 months of fermentation were between 1.1×10^4 to 3.0×10^7 CFU/g and 1.9×10^3 to 1.5×10^7 CFU/g on medium containing 5% NaCl and 10% NaCl, respectively. In addition, the foodborne bacteria as *Escherichia coli*, *Staphylococcus aureus* and *Listeria monocytogenes* were not detected.

The 126 strains of the isolated LAB were 83 strains (65.9%) halotolerants and 43 strains (34.1%) of halophilic LAB. The 50 isolated strains (39.7%) could produce proteolytic enzymes and only 2 strains (1.6%) had lipolytic activity. The isolated LAB also showed probiotic properties in terms of acid and bile salts tolerance. The roles of the isolated LAB were able to antagonize indicator bacteria as *Escherichia coli* ATCC25922, *Staphylococcus aureus* ATCC 25923, *Bacillus cereus* TISTR687 and *Listeria monocytogenes* DMST4553.

The isolated LAB were identified as 67 strains of *Lactobacillus* and 59 strains of *Pediococcus*. The 10 potential probiotic LAB strains were selected and identified biochemically using API 50CHL system as *Lactobacillus curvatus* (3 strains), *Lactobacillus delbrueckii* (3 strains), *Lactobacillus plantarum* (1 strain) and *Pediococcus* (3 strains). Additionally, identification using DNA sequence of 16S rRNA gene, the *Lactobacillus curvatus* PS1240 and *Pediococcus* PS1231 were identified as *Lactobacillus acidipiscis* and *Tetragenococcus halophilus*, respectively. The potential *L. acidipiscis* could produced lactic acid as a major end product but did not produce bacteriocin in the culture supernatant. However, the *L. acidipiscis* was able to inhibit the foodborne pathogen as *Listeria monocytogenes* DMST4553.

In term of quality, there were 12 metal ions found in the commercial sufu from high to low concentrations as follows Mg, Ca, Li, Fe, Cu, Mn, Zn, Al, Ni, As, Pb and Cd. And additionally, the microstructures of tofu and sufu were evaluated by using SEM, which showed many larger hallows in the commercial sufu than the homogeneous tofu.

All commercial sufu were also investigated for *Bacillus* Diarrhoeal Enterotoxin (BDE) production by using TECRA *Bacillus* Diarrhoeal Enterotoxin Visual Immunoassay. The BDE was

found in five samples of commercial sufu (CSF1, CSF2, CSF6, CSF8 and CSF9) using enriched medium but could not be detected in the non-enriched medium by direct sample assay.

In addition, the Staphylococcal enterotoxin could not be detected by using TECRA UNIQUE Staphylococcal enterotoxins in all commercial sufu which showed safety from *Staphylococcus* food poisoning.

บทนำ

เต้าหู้ยี้มีต้นกำเนิดมาจากประเทศจีนในบริเวณตอนเหนือและตอนกลาง เป็นอาหารหมักพื้นเมืองของชาวจีนนานาชนิดควรรับประทานอย่างแพร่หลายในประเทศไทยต่างๆ ในทวีปเอเชีย โดยนำมาปรุงกับข้าวต้ม หรือเป็นเครื่องปรุงรสในอาหารประเภทสุกี้ เต้าหู้ยี้มีชื่อเรียกหลากหลายตามภาษาท้องถิ่นว่า *sunfu*, *furu* หรือ *doufuru* (จีน) และ *tofuyo* หรือ *nyu-fu* (ญี่ปุ่น), *choa* (เวียดนาม), *ta-huri* (ฟิลิปปินส์), *taokaoan* (อินโดนีเซีย) และ *tao-hu-yi* (ไทย) (Han et al., 2001) กระบวนการผลิตเต้าหู้ยี้หลาบวิธีซึ่งแตกต่างกันไปตามสูตรของแต่ละโรงงานเนื่องจากได้รับการถ่ายทอดมาในระบบครอบครัว แต่สำหรับการผลิตเต้าหู้ยี้แบบธรรมชาติทำโดยการเตรียมหัวเชื้อราจากข้าวที่ทุบสุกแล้วทิ้งให้เย็น เกลี่ยลงบนกระดัง วางทิ้งไว้ 7-15 วันในห้องเฉพาะซึ่งมีเชื้อราประจำถิ่นอยู่ในห้อง จากนั้นเตรียมเต้าหู้โดยใช้ถั่วเหลืองแช่น้ำ 6 ชม. นำไปปูดในไม่ทิน ต้มให้เดือดในน้ำ กรองเอาเปลือกออกแล้วใส่ magnesium sulfate วางทิ้งไว้ให้ตกร่องในบล็อก เมื่อเต้าหู้แข็งตัวให้ตัดเต้าหู้เป็นชิ้นบาง นำไปแช่น้ำเกลือ แล้วตัดเป็นชิ้นขนาด $3 \times 3 \times 2.5$ ซม. นำเต้าหู้และหัวเชื้อที่เตรียมไว้เรียงໄ่โถ่ในไห่ฟ้าปิด โดยวางเรียงสลับกันระหว่างเต้าหู้และหัวเชื้อพร้อมโรบเกลือ หมักทิ้งไว้ก่อ lange แคดเป็นเวลา 9 เดือน จะได้เต้าหู้ที่มีกลิ่นรสชาติที่ดี มีสีเหลือง (ประเสริฐ และคณะ, 2548) ส่วนในการผู้ผลิตเต้าหู้ยี้แดง ให้ใส่เชื้อร้า *Monascus purpureus* ซึ่งให้สารสีแดงของ *monascarubrin* แล้วบ่มต่ออีก 40-60 วัน ทำให้เกิดสีแดงน่ารับประทานยิ่งขึ้น ซึ่งทำให้นิยมรับประทานและใส่ในเย็นตาโฟเพื่อเพิ่มรสชาติ จากนั้นนำไปบรรจุขวดและผ่านการต้มในน้ำเดือดหรือพาสเจอร์ไรส์เพื่อฆ่าเชื้อก่อนนำไปจำหน่ายหรือบริโภค (ลัดดาวัลย์, 2536)

การผลิตเต้าหู้ยี้ของโรงงานเต้าหู้ยี้ที่ใช้ศึกษาในครั้งนี้คือ ตัดเต้าหู้แข็งเป็นชิ้นบาง นำไปแช่น้ำเกลือ แล้วหั่นเป็นชิ้นเล็กๆ ขนาดประมาณ $3 \times 3 \times 2.5$ ซม. แล้วเตรียมหัวเชื้อโดยใช้ข้าวที่ทุบสุก วางทิ้งไว้ให้เย็น แล้วเกลี่ยบนกระดังวางทิ้งไว้ประมาณ 7-15 วัน เพื่อให้เชื้อราตามธรรมชาติในห้อง เติบโตได้เต็มที่ นำเต้าหู้และหัวเชื้อเรียงใส่โถ่ในไห่ฟ้าอุ่นชั้นล่าง วางเรียงสลับกันเต้าหู้ หมักทิ้งไว้ 9 เดือน ระหว่างการหมักเปิดฝาขณะมีแสงแดด เติมน้ำที่ผสมน้ำตาล โอนด เป็นระบบ เมื่อครบ 9 เดือน จะได้เต้าหู้ยี้ที่มี กลิ่น รสดี และมีสีเหลือง นำไปบรรจุขวด แล้วนำไปต้มช้าๆ เชื้อที่อุณหภูมิ 100°C เป็นเวลา 10 นาที

เนื่องจากเต้าหู้ยี้เป็นแหล่งของอาหารโปรตีน การย่อยสลายโปรตีนใช้เวลา 3-9 เดือนเพื่อเปลี่ยนโมเลกุลใหญ่ของโปรตีนเป็น peptide, amino acids, amines และ ammonia ทำให้เพิ่มปริมาณกลิ่นรส (Han et al., 2003) ปริมาณกรดอะมิโนในเต้าหู้ยี้แต่ละประเภทมีไม่เท่ากัน กรดอะมิโนที่มีมากในเต้าหู้ยี้แดงได้แก่ glutamic acid, aspartic acid, isoleucine, lysine, cystine, phenylalanine และ tyrosine ในขณะที่กรดอะมิโนที่มีปริมาณสูงในเต้าหู้ยี้ชนิดอื่นได้แก่ glutamic

acid, isoleucine, alanine, aspartic acid, phenylalanine, leucine, alanine, aspartic acid, isoleucine และ valine (Han et al., 2001)

คุณค่าทางโภชนาการของเต้าหู้ยี้สำเร็จรูป (รายงานเป็นกรัมหรือก. ต่อ 100 กรัม น้ำหนักเปล่า) ประกอบด้วยโปรตีน 12-17 กรัม, ไขมัน 8-12 กรัม, เส้นใย 0.2-1.5 กรัม, カリ่ไบไฮเดรต 6-12 กรัม, โซเดียม 4-9 กรัม, calcium 100-230 มก., phosphorus 150-300 มก., iron 7-16 มก. นอกจากนี้ยังมี thiamin (V_{B_1}) 0.04-0.09 มก. riboflavin (V_{B_2}) 0.13-0.36 มก. niacin 0.5-1.2 มก. vitamin B12 1.7-2.2 มก.

ในระยะช่วง 10 ปีที่ผ่านมาได้มีนักวิจัยให้ความสำคัญเกี่ยวกับการศึกษา รายละเอียดของกระบวนการผลิตเต้าหู้ยี้มากขึ้น ดังบทความปริทัศน์ และบทความวิจัยของ Han และคณะ (2001) (2003) (2004) และ Chung และคณะ (2005)

Han และคณะ (2001) ได้ศึกษาการผลิตเต้าหู้ยี้ ที่ผลิตในประเทศไทย แล้วได้ทำการแบ่งเต้าหู้ยี้เป็น 3 ประเภทใหญ่ ๆ ตามกระบวนการผลิต ซึ่ง แบ่งกลุ่มรัส โดยกระบวนการผลิตสามารถแบ่งเต้าหู้ยี้ได้เป็น เต้าหู้ยี้ที่ได้จากการหมักด้วยเชื้อรา เต้าหู้ยี้ที่ได้จากการหมักด้วยแบคทีเรีย เต้าหู้ยี้ที่ใช้อ่อน ไขมันในการทำให้สุก และเต้าหู้ยี้ที่ได้จากการหมักแบบธรรมชาติ ส่วนสีของเต้าหู้ยี้ขึ้นอยู่กับส่วนผสม เช่น เต้าหู้ยี้แดง เต้าหู้ยี้ขาว เต้าหู้ยี้เขียว และได้ศึกษาระบวนการผลิตเต้าหู้ยี้ องค์ประกอบทางเคมี กรรมวิธี และสารที่ให้เกิดกลิ่นรสในเต้าหู้ยี้

Han และคณะ (2001) ได้ศึกษาความปลอดภัยทางชุมชนวิทยาและคุณภาพของเต้าหู้ยี้ 3 ชนิด จำนวน 23 ตัวอย่าง พบว่าในเต้าหู้ยี้มีปริมาณ NaCl, ethanol, glucose และ fructose ระหว่าง 6.2-14.8%, 0.5-6.3%, 0-6.2% และ 0-4.8% ตามลำดับ พบแบคทีเรียที่เติบโตได้ดีที่อุณหภูมิปานกลางและในสภาพที่มีออกซิเจน และแบคทีเรียสร้างสร้างสปอร์จำนวนมาก ($>10^5$ CFU/g) ในตัวอย่างส่วนใหญ่ที่ทำการศึกษา เมื่อบริโภคแล้วพบว่า 85% ของแบคทีเรียเป็นแบคทีเรียกรัมบวก และตรวจพบแบคทีเรียแอลектติก 2 ตัวอย่าง จำนวน 10^5 และ 10^7 CFU/g บ่งชี้แล้วว่าเป็นแบคทีเรียแอลектติกสายพันธุ์ *Lactobacillus casei* และมี 3 ตัวอย่างที่ตรวจพบ *Bacillus cereus* มากกว่า 10^5 CFU/g และตรวจพบ *Clostridium perfringens* จำนวน $<10^3$ CFU/g มีเพียง 1 ตัวอย่างเท่านั้นที่ตรวจพบประมาณ 10^5 CFU/g แต่ตรวจไม่พบ *Staphylococcus aureus*, Fungi, Enterobacteriaceae และ *Listeria monocytogenes*.

Han และคณะ (2003) ได้ศึกษาผลของ NaCl ต่อการเปลี่ยนแปลงโครงสร้างภายนอก การย่อยสลายโปรตีน และไขมัน ระหว่างกระบวนการหมักเต้าหู้ยี้ พบว่า NaCl มีผลต่อการเปลี่ยนแปลงโครงสร้างภายนอกของเต้าหู้ยี้ การย่อยสลายโปรตีนและไขมัน โดยเต้าหู้ยี้ที่มีเกลือเป็นส่วนประกอบ 14% (w/w) มีผลต่อการเพิ่มความแข็ง (+100%) ความยืดหยุ่น (+18%) และลดการเกะกะติด (-30%) จากการทำ SDS-PAGE ตรวจไม่พบโปรตีนในเต้าหู้ยี้ที่มีเกลือ 80 และ 100 g/kg แต่

พบหน่วงข้อของโปรตีนในเต้าหู้ชีที่มีเกลือ 140 g/kg ในเต้าหู้ชีที่มีเกลือน้อยกว่า 80 g/kg ตรวจพบอัตราส่วนของ free amino nitrogen (FAN) และ ในโตรเจนทั้งหมด (TN) เท่ากับ 0.4-0.45, กรดอะมิโนในอิสระ (FAA) และ crude protein (CP) เท่ากับ 0.24-0.26 และพบว่าในเต้าหู้ชีขาวที่มีส่วนผสมของเกลือ และแอลกอฮอล์เพียงอย่างเดียว มีอัตราส่วนของ FAN/TN และ FAA/CP สูงกว่าในเต้าหู้ชีแดงที่มีส่วนผสมของอังกั๊ดดวย

Han และคณะ (2004) ได้ศึกษาการเปลี่ยนแปลงของจุลินทรีย์ในกระบวนการหมักเต้าหู้ โดยตรวจพบ total counts of mesophilic aerobic bacteria (TMAB), bacterial endospores, *Bacillus cereus*, lactic acid bacteria (LAB), *Enterobacteriaceae* และ เชื้อรานก้อนเต้าหู้ (pehtze) (pehtze อ่านว่า pizi) และมีปริมาณเชื่อมากขึ้นบน pehtze แล้วลดลงเมื่อเติมเกลือลงไปกระบวนการหมัก โดยในเต้าหู้ชีที่มีเกลือ 8% ถึง 11% พบร่วม TMAB และ bacterial endospores ลดลงเหลือประมาณ 10^6 CFU/g ส่วน *B. cereus* ลดลงเหลือประมาณ 10^3 CFU/g และ LAB ลดลงเหลือน้อยกว่า 10^2 CFU/g แต่เพิ่มขึ้นเป็น 10^9 CFU/g ในเต้าหู้ชีที่มีเกลือ 5% ส่วน *Enterobacteriaceae* และ fungi ลดลงจนกระทั่งตรวจไม่พบหลังจากการหมักเป็นเวลา 20 และ 30 วัน

Chung และคณะ (2005) ได้ศึกษาองค์ประกอบที่มีผลต่อกลิ่นรสในเต้าหู้ชี 3 ชนิด โดยสกัดสารที่เป็นของเหลวแล้วนำไปวิเคราะห์โดย gas chromatography mass spectrometry (GC-Mass spectrometry) พบร่วมสารประกอบ 83 ชนิด โดยมี 68 ชนิดที่พบได้ในเต้าหู้ชีทั้ง 3 ตัวอย่าง สารหลักที่ให้กลิ่นรสประกอบด้วย alcohol 17 ชนิด, acids 15 ชนิด, esters 16 ชนิด และสารประกอบอื่นๆ ได้แก่ aldehydes 17 ชนิด, alkanes 5 ชนิด, ketones 3 ชนิด และ furans 2 ชนิด

เชื้อจุลินทรีย์ที่ตรวจพบในเต้าหู้ชี ได้แก่ เชื้อร้า *Actinomucor elegans*, *Mucor sufu*, *M. hiemalis*, *M. silvaticus*, *M. subtilissimus*, *A. taiwanensis* (Chou et al., 1988) และ *Rhizopus* sp. (Han et al., 2001) ส่วนเชื้อแบคทีเรียที่ตรวจพบ ได้แก่ *Bacillus* และ *Micrococcus* (Han et al., 2001; Han et al., 2004) และเมื่อเร็ว ๆ นี้ ประเสริฐ และคณะ (2548) ได้รายงานชนิดของจุลินทรีย์ที่ตรวจพบจากกระบวนการหมักเต้าหู้ชี ได้แก่ *Aspergillus*, *Penicillium*, *Rhizopus*, *Bacillus*, *Pediococcus* และ *Saccharomyces* นอกจากนี้ยังพบแบคทีเรียแลกติกที่ทนเกลือ (NaCl) ความเข้มข้น 5-10% ตลอดระยะเวลาหมักในปริมาณ 10^3 ถึง 10^5 CFU/g จากการตรวจพบแบคทีเรียแลกติกในเต้าหู้ชีมีจำนวนมาก จึงนำมาซึ่งความสนใจที่ศึกษาบทบาทของแบคทีเรียแลกติกที่แยกได้จากการกระบวนการหมักเต้าหู้ชี โดยเก็บตัวอย่างเต้าหู้ชีตั้งแต่เริ่มต้นกระบวนการหมักจนถึงได้เป็นผลิตภัณฑ์เต้าหู้ชีสำเร็จรูป และนำมาตรวจหาปริมาณแบคทีเรียแลกติก ทดสอบคุณสมบัติไปในトイติก การยับยั้งเชื้อก่อโรค ตรวจหากรดแลกติก และบ่งชี้ชนิดของแบคทีเรียแลกติกที่แยกได้ และนอกจากนี้ยังตรวจปริมาณแร่ธาตุและโครงสร้างของเนื้อเต้าหู้ชีอีกด้วย

วัตถุประสงค์

1. ตรวจหาปริมาณแบคทีเรียแลกติกในกระบวนการหมักเต้าหู้ยี้
2. ตรวจหาเชื้อแบคทีเรียที่อาจก่อโรคในอาหาร
3. คัดแยกชนิดของโปรไนโอดิกแบคทีเรียแลกติก
4. ตรวจหาแบคทีเรียแลกติกที่มีความสามารถในการผลิตเอนไซม์ช่วยโปรดีน แป้ง และไขมัน
5. บ่งชี้ชนิดของแบคทีเรียแลกติกที่แยกได้
6. ตรวจคุณภาพของเต้าหู้ยี้สำเร็จรูปในด้านปริมาณแร่ธาตุและโครงสร้างของเต้าหู้ยี้ก่อนและหลังหมัก

ประโยชน์ที่รับจากงานวิจัย

โรงงานผลิตเต้าหู้ยี้ที่ปัจจุบันเป็นโรงงานขนาดเล็กและส่วนใหญ่เป็นอุตสาหกรรมในครัวเรือน สามารถนำข้อมูลวิจัยไปพัฒนากระบวนการผลิต เพื่อให้ได้ผลิตภัณฑ์ที่มีคุณภาพและปราศจากเชื้อแบคทีเรียก่อโรคในอาหาร

วัสดุ อุปกรณ์และวิธีการ

วิธีการทดลอง

1. การเก็บตัวอย่างเต้าหู้ยี้

เก็บตัวอย่างเต้าหู้ยี้ประมาณ 200 กรัม จากคุณหมักเดียวกันของโรงงานเต้าหู้ยี้ อ.เมือง จ.สงขลา โดยเก็บตัวอย่างทุกเดือนตั้งแต่เริ่มต้นจนกระทั่งสิ้นสุดกระบวนการหมัก เดือน 1-9 (9 ตัวอย่าง) (FSF1- FSF9) (รูปที่ 1) และตัวอย่างเต้าหู้ยี้ในถังหมักอื่น เพื่อเปรียบเทียบอีก จำนวน 9 ตัวอย่าง (FSF10-FSF18) พร้อมทั้งเก็บตัวอย่างเต้าหู้ยี้สำเร็จรูปอีก 9 ตัวอย่าง (CSF1-CSF9) (รูปที่ 2) ที่วางขายตามท้องตลาดและห้างสรรพสินค้าใน อ.หาดใหญ่ จ.สงขลา รวมทั้งหมด 27 ตัวอย่าง โดยมีรหัสตัวอย่างเต้าหู้ยี้ดังนี้

1.1 เต้าหู้ยี้ในกระบวนการหมัก เรียบชื่อว่า FSF (Fermenting Sufu)

FSF1 = เต้าหู้ยี้อายุ 1 เดือน

FSF2 = เต้าหู้ยี้อายุ 2 เดือน

FSF3 = เต้าหู้ยี้อายุ 3 เดือน

FSF4 = เต้าหู้ยี้อายุ 4 เดือน

FSF5 = เต้าหู้ยี้อายุ 5 เดือน

FSF6 = เต้าหู้ยี้อายุ 6 เดือน

FSF7 = เต้าหู้ยี้อายุ 7 เดือน

FSF8 = เต้าหู้ยี้อายุ 8 เดือน

FSF9 = เต้าหู้ยี้อายุ 9 เดือน

1.2 เต้าหู้ยี้ในถังหมักอื่น เพื่อเปรียบเทียบ

FSF10 = เต้าหู้ยี้อายุ 1 เดือน

FSF11 = เต้าหู้ยี้อายุ 2 เดือน

FSF12 = เต้าหู้ยี้อายุ 3 เดือน

FSF13 = เต้าหู้ยี้อายุ 4 เดือน

FSF14 = เต้าหู้ยี้อายุ 5 เดือน

FSF15 = เต้าหู้ยี้อายุ 6 เดือน

FSF16 = เต้าหู้ยี้อายุ 7 เดือน

FSF17 = เต้าหู้ยี้อายุ 8 เดือน

FSF18 = เต้าหู้ยี้อายุ 9 เดือน

1.3 เต้าหู้ยี้สำเร็จรูป เอกชนชื่อย่อว่า CSF (Commercial Sufu)

CSF1 = เต้าหู้ยี้เหลือง อ. เมือง จ. สงขลา

CSF2 = เต้าหู้ยี้แดง ตราเด็กซี่กิเลน โคลบบริษัท วิสุอุตสาหกรรม จำกัด อ. เมือง
จ. ศรีสะเกษ

CSF3 = เต้าหู้ยี้แดง บริษัทปันยุไฟฟ์พีคสตัฟลิมิตีedd ประเทศไทย ผู้แทนจำหน่าย
โคลบบริษัท ที.ซี. วาย. อินเตอร์เทรด จำกัด

CSF4 = เต้าหู้ยี้แดง ตรา อ้วงโหว ผู้จัดจำหน่าย ห้างหุ้นส่วนจำกัด สมารภี แวง
นางมด เขตทุ่งครุ กรุงเทพมหานคร

CSF5 = เต้าหู้ยี้เหลือง บริษัท Huang Dah Mu Food Co., Ltd. ไถหัวนัน

CSF6 = เต้าหู้ยี้เหลือง บริษัท Hong Kong Long Food Co., Ltd. จีน

CSF7 = เต้าหู้ยี้แดง จีน

CSF8 = เต้าหู้ยี้เหลือง ตรา New sun จีน

CSF9 = เต้าหู้ยี้เหลือง ไถหัวนัน



รูปที่ 1 เต้าหู้ยี้ในกระบวนการหมักจากโรงงานเต้าหู้ยี้ใน อ.เมือง จ.สงขลา



รูปที่ 2 เต้าหู้ยี้สำเร็จรูปจำนวน 9 ตัวอย่าง ที่จำหน่ายในอำเภอหาดใหญ่ จังหวัดสงขลา

2. การแยกแบคทีเรียแผลติกในตัวอย่างเต้าหู้ยี้

การตรวจนับปริมาณแบคทีเรียแผลติก โดยชั่งตัวอย่างเต้าหู้ยี้ 25 กรัม ใส่ในถุงพลาสติกปราศจากเชื้อ บีบให้เต้าหู้ยี้ละเอียดแล้วเติมอาหาร MRS broth ที่มีเกลือ (NaCl) 5% จำนวน 225 มล. แล้วเจ็อจาง 10 เท่า เป็นลำดับใน MRS broth ที่เติมเกลือ 5% แล้วคูดมา 0.1 มล. กระยาเจื้อน MRS agar ที่เติม 0.04% bromocresol purple, 5 mg% sodium azide และเกลือความเข้มข้น 0.5 และ 10% ตามลำดับ บ่มที่อุณหภูมิ 35°C เป็นเวลา 3-5 วัน ตรวจคุณภาพก่อนคัดเลือกโคลoni ที่มีลักษณะแตกต่างกัน โดยดูจากสีและขนาด และไม่ผลิตออกไซน์ catalase ทำเชื้อให้บริสุทธิ์บนอาหาร MRS agar ที่เติมเกลือความเข้มข้นเหมาะสม ตามที่แยกได้รังสรรค แล้วเก็บรักษาไว้ใน stab MRS agar ที่ 4°C นอกจากนี้วัด pH (ความเป็นกรดด่าง) ของตัวอย่างเต้าหู้ยี้ โดยใช้ pH meter และในทุกการทดลองได้ทำซ้ำ 2 ครั้ง แล้วนำมาหาค่าเฉลี่ย

3. การตรวจหาแบคทีเรียที่อาจก่อโรค

การตรวจหาแบคทีเรียก่อโรคโดยใช้ช้อนปราศจากเชื้อชั่งตัวอย่างเต้าหู้ยี้ 25 กรัม ใส่ในถุงปราศจากเชื้อ บีบให้เต้าหู้ยี้ละเอียดแล้วเติมอาหารเตี้ยงเชื้อ TSB (Tryptic soy broth) จำนวน 225 มล. แล้วเจ็อจาง 10 เท่าเป็นลำดับ โดยใช้ TSB แล้วคูด 0.1 มล. กระยาเจื้อน MacConkey agar, MYP (Mannitol-egg yolk-polymyxin agar), MSA (Mannitol salt agar) และ Oxford agar เพื่อตรวจหา *Escherichia coli*, *Bacillus cereus*, *Staphylococcus aureus* และ *Listeria monocytogenes* ตามลำดับ นำไปบ่มที่อุณหภูมิ 35°C เป็นเวลา 24-48 ชม. ตรวจนับปริมาณเชื้อแล้วทดสอบทางชีวเคมีทางชนิดเพื่อบ่งชี้สายพันธุ์ในเบื้องต้น นอกจานนี้บังควรหา *E. coli* โดยวิธี MPN methods อีกด้วย

4. กัดแยกชนิดป้องกันโอดิกแบคทีเรียแผลติก (du Toit *et al.*, 1998)

4.1 ทดสอบการทนต่อเกลือน้ำดี โดย streak เชื้อที่ต้องการทดสอบบนอาหาร MRS agar ที่มีเกลือน้ำดี (bile salts) 0.15% และ 0.30% จากนั้นนำไปบ่มที่อุณหภูมิ 35°C เป็นเวลา 24 ชม. ตรวจคุณภาพการทนแกลือน้ำดี

4.2 ทดสอบการทนกรด โดยถ่ายเชื้อใส่ MRS broth ที่มี pH 2, 3 และ 4 ตามลำดับนำไปบ่มที่อุณหภูมิ 35°C เป็นเวลา 24 ชม. จากนั้นตรวจสอบการทนกรดโดยคุณภาพซึ่งเปรียบเทียบกับอาหารที่ไม่ได้เติมเชื้อ

4.3 การทดสอบความสามารถในการย่อยโปรตีน แป้ง และไขมัน

4.3.1 การทดสอบการย่อยโปรตีน

การทดสอบการย้อมโปรตีน ทำโดยใช้ไม้จ้มฟันปราศจากเชื้อป้ายเชื้อที่ต้องการทดสอบลงบน Nutrient agar (NA) + 1% skim milk และ NA+ 1% gelatin และเติม supplements (ภาคผนวก ก 9 และ ก 2) ลงในอาหารเลี้ยงเชื้อทั้งสองชนิด บ่มเชื้อที่อุณหภูมิ 35°C เป็นเวลา 48-72 ชม. ตรวจการเติบโตโดยเชื้อที่สามารถย้อมโปรตีนได้จะเกิดวงไส้รอบโคลนี วัดความสามารถในการย้อมสลายเป็นดีกรีของการย้อมสลายซึ่งเท่ากับความกว้างของเส้นผ่าศูนย์กลางของวงไส้ (มม.) หารด้วยเส้นผ่านศูนย์กลางโคลนี (มม.)

4.3.2 การทดสอบการย้อมเปี๊ง

การทดสอบการย้อมเปี๊ง ทำโดยใช้ไม้จ้มฟันปราศจากเชื้อป้ายเชื้อที่ต้องการทดสอบลงบน NA + 1% corn starch ที่การเติม supplements (ภาคผนวก ก10) บ่มเชื้อที่อุณหภูมิ 35°C เป็นเวลา 48-72 ชม. ตรวจการเติบโตโดยหาด Lugol's iodine ลงบนอาหารเลี้ยงเชื้อ โดยเชื้อที่สามารถย้อมเปี๊งได้จะเกิดวงไส้รอบโคลนี วัดความสามารถในการย้อมสลายเป็นดีกรีของการย้อมสลาย

4.3.3 การทดสอบการย้อมไขมัน

การทดสอบการย้อมไขมันทำได้โดยใช้ไม้จ้มฟันปราศจากเชื้อป้ายเชื้อที่ต้องการทดสอบลงบน NA + 1% tributyrin ที่มีการเติม supplements (ภาคผนวก ก11) บ่มเชื้อที่อุณหภูมิ 35°C เป็นเวลา 48-72 ชม. โดยเชื้อที่สามารถย้อมไขมันได้จะเกิดวงไส้รอบโคลนี วัดความสามารถในการย้อมสลายเป็นดีกรีของการย้อมสลาย

4.4 การทดสอบความสามารถในการเติบโตในสภาวะที่มีและไม่มีออกซิเจน โดย streak เซื้อที่ต้องการทดสอบบนอาหาร MRS agar แล้วนำไปบ่มที่อุณหภูมิ 35°C เป็นเวลา 24-48 ชม. ภายใต้สภาวะที่มีออกซิเจนและไม่มีออกซิเจนโดยใช้ anaerobic jar

5. กัดเลือกแบคทีเรียแยกติดกับมีคุณสมบัติการยับยั้งเชื้อแบคทีเรียก่อโรค

5.1 การเตรียมแบคทีเรียอินดิเคเตอร์ (indicator bacteria)

แบคทีเรียอินดิเคเตอร์สายพันธุ์มาตรฐานที่ใช้เพื่อการทดสอบคุณสมบัติการยับยั้งเชื้อได้แก่ *Escherichia coli* ATCC25922, *Staphylococcus aureus* ATCC25923, *Bacillus cereus* TISTR687, และ *Listeria monocytogenes* DMST4553 (กรมวิทยาศาสตร์การแพทย์) ที่เก็บอยู่ในห้องปฏิบัติการจุฬาภรณ์ คณะวิทยาศาสตร์ ม. สงขลานครินทร์ นำเชื้อมา ลากลงบน TSA นำไปบ่มในสภาวะที่เหมาะสมกับเชื้อนั้นๆ แล้วเพี้ยนเชื้อที่เติบโตเป็นโคลนีเดียวๆ นำมารับความชุ่นให้ได้เท่ากับ 0.5 McFarland โดยใช้น้ำเกลือ (normal saline) ความเข้มข้น 0.85% ในการปรับความชุ่น จะได้จำนวนเชื้อประมาณ 10^8 CFU/ml ดูดเชื้อ 0.1 มล. (10^7 CFU) มาเติมในอาหาร TSB soft agar (0.7% รุ่น) ปริมาณ 7 มล. ผสมให้เข้ากันสุดท้าย จะได้เชื้ออินดิเคเตอร์ที่มีความเข้มข้นของเซลล์ประมาณ 10^6 CFU/ml นำไปใช้ในการทดสอบต่อไป

5.2 การทดสอบการขับยั้งด้วยวิธี Agar spot assay (de Carvalho *et al.*, 2006)

การทดสอบการขับยั้งด้วยวิธี Agar spot assay ทำได้โดยใช้แบคทีเรียแลกติกที่เพาะเติบโตใหม่ๆ (fresh culture) ใน MRS broth บ่มที่อุณหภูมิ 35°C เป็นเวลา 24 ชม. นำมารับให้มีความชุนเป็น 0.5 McFarland (10^8 CFU/ml) จากนั้นนำมาทดสอบความสามารถในการขับยั้งของเชื้อแบคทีเรียแลกติกต่อแบคทีเรียอินดิเคเตอร์ โดยใช้ในโตรปีเปตคุดแบคทีเรียแลกติกเริ่มต้นในอาหารเหลว 5 ไมโครลิตร หยดลงบนอาหาร MRS agar ห่างกันหยอดละ 3 ซม. บ่มไว้ที่อุณหภูมิ 35°C เป็นเวลา 24 ชม. แล้วนำมาเททับผิวน้ำด้วยอาหาร TSB soft agar (0.7% รุ่น) ซึ่งมีจำนวนเชื้ออินดิเคเตอร์ประมาณ 10^6 CFU/ml วางทึ้งไว้ให้แข็งสำหรับบ่มที่อุณหภูมิที่เหมาะสมกับอินดิเคเตอร์แต่ละชนิด เป็นเวลา 24 ชม. วัดผลการขับยั้งโดยวัดเส้นผ่าศูนย์กลางของขอบวงใส (mm)

5.3 การทดสอบการขับยั้งด้วยวิธี Agar well diffusion assay (Ammor *et al.*, 2006)

การทดสอบการขับยั้งด้วยวิธี Agar well diffusion assay โดยนำเชื้อแบคทีเรียแลกติก subculture ลงบนอาหาร MRS agar แล้วนำไปบ่มไว้ที่อุณหภูมิ 35°C ใช้ loop เสี่ยงในอาหาร MRS broth บ่มที่อุณหภูมิ 35°C เป็นเวลา 48 ชม. จากนั้นนำมาทดสอบความสามารถในการขับยั้งของส่วนใส (cell-free supernatant) ที่ได้จากการเสี่ยงเชื้อแบคทีเรียแลกติกต่อแบคทีเรียอินดิเคเตอร์ โดยการนำอาหาร TSA มาเททับด้วย TSB soft agar (0.7% รุ่น) ปริมาณอาหาร 7 ml. ซึ่งมีอินดิเคเตอร์จำนวนประมาณ 10^6 CFU/ml วางทึ้งไว้ให้แข็ง เจาะหลุนรุ่นด้วย tip ปราศจากเชื้อ (ขนาดเส้นผ่าศูนย์กลาง 8.9 mm.) ห่างกันประมาณหยอดละ 3 ซม. เติมส่วนใสที่ปั่นแยกเซลล์ออกแล้วลงไปหยอดละ 80 ไมโครลิตร นำไปบ่มที่อุณหภูมิ 35°C เป็นเวลา 24 ชม. วัดผลการขับยั้งโดยวัดเส้นผ่าศูนย์กลางของขอบวงใส (mm.)

6. การปั่นเชื้อนิดของสารขับยั้ง

การปั่นเชื้อนิดของสารขับยั้งโดยคัลเดือกแบคทีเรียแลกติกที่มีความสามารถในการขับยั้งเชื้อแบคทีเรียอินดิเคเตอร์ที่ได้จากการทดลอง 5.3 มาเพาะเลี้ยงในอาหาร MRS broth บ่มที่อุณหภูมิ 35°C เป็นเวลา 48 ชม. ปั่นแยกเซลล์ ที่ความเร็วรอบ 6,000 รอบต่อนาที เป็นเวลา 10 นาที อุณหภูมิ 4°C นำส่วนใส nanopore pH 7 และกรองด้วยกระดาษกรอง (millipore) ขนาด 0.45 ไมโครเมตร และอีกส่วนไม่ต้องปรับ pH 並將ส่วนใสใส่หลอดคนนำไปซั่งน้ำหนัก เพื่อความเข้มข้น โดยแช่แข็งแล้วนำไปแห้ง (lyophilisation) แล้วนำมาซั่งน้ำหนักที่เหลือ ปรับความเข้มข้นให้ได้เป็น 10 เท่า โดยใช้น้ำกลั่นปราศจากเชื้อจากนั้นนำมาทดสอบสารขับยั้งที่ผลิตโดยแบคทีเรียแลกติกโดยการขับยั้งเชื้อ *L. monocytogenes* ด้วยวิธี agar well diffusion assay (ข้อ 5.3) (de Carvalho *et al.*, 2006)

6.1 การทดสอบสารขับยั้งที่เป็นกรด

การทดสอบสารบั้นยึ้งที่เป็นกรดทำได้โดยเติมส่วนใส่ที่ปรับและไม่ปรับ pH ปริมาตร 80 ไมโครลิตร ลงในหลุม TSA plate ที่ราดด้วย TSB soft agar ซึ่งมีเชื้อ *L. monocytogenes* ผสมอยู่ บ่มที่อุณหภูมิ 35°C เป็นเวลา 24 ชม. ตรวจสอบสารบั้นยึ้งที่เป็นกรดโดยดูจากการหายไปของวงไฟของส่วนใส่ที่ปรับ pH เปรียบเทียบกันว่างใส่ที่เกิดจากกรด

6.2 การทดสอบสารบั้นยึ้งที่เป็น bacteriocin และ H₂O₂

การทดสอบหา bacteriocin โดยการนำส่วนใส่ที่ปรับ pH 7 และไม่ปรับ pH มาบ่มร่วมกับเอนไซม์ชนิดต่างๆ (1 mg/ml) เนื่องจากได้มีรายงานว่ามีแบคТЕอริโอซินบางชนิดทำงานได้ดีในสภาพ pH ต่ำ เ่อนไซม์ที่ใช้ได้แก่ pepsin, trypsin, proteinase K, lipase, α -amylase และ catalase โดยดูด ส่วนใส่ที่ปรับ pH 60 ในโครลิตอร์ และเอนไซม์ 20 ในโครลิตอร์ ใส่ใน eppendorff บ่มที่อุณหภูมิ 37°C เป็นเวลา 2 ชม. (Millette et al., 2007) ทำการทดสอบการบั้นยึ้งแบคทีเรียอินดิเคเตอร์โดย agar well diffusion assay โดยใช้เอนไซม์และส่วนใส่ที่ไม่ได้ทดสอบร่วมกับเอนไซม์ เป็น control อ่านผลการทดสอบโดยดูวงไฟที่หายไปหรือลดขนาดลงหรือวงไฟคงเดิม

7. ตรวจหาปริมาณกรดแลกติกที่ผลิตจากแบคทีเรียแลกติก (ศูนย์เครื่องมือวิทยาศาสตร์ ม. สงขลา นครินทร์)

คัดเลือกแบคทีเรียแลกติกที่มีศักยภาพในการบั้นยึ้งเชื้อก่อโรคมาตรฐานการกรดแลกติก และกรดอะซิติก โดยการเพาะเลี้ยงแบคทีเรียแลกติกใน MRS broth ปริมาตร 50 มล. บ่มเชื้อที่อุณหภูมิ 35°C เป็นเวลา 24 และ 48 ชม. จากนั้นทำการเก็บเชื้อปริมาตร 10 มล. แล้วปั่นให้วิงที่ความเร็วรอบ 6,000 รอบต่อวินาที เป็นเวลา 10 นาที อุณหภูมิ 4°C นำส่วนใส่ที่ได้มากรองด้วยกระดาษกรองขนาด 0.2 ในโครลิตอร์ แล้วเติม acetone และ methanol เพื่อเปลี่ยนกรดแลกติกเป็น methylester แล้วนำไป เครื่อง Gas Chromatography HP 6850 โดยใช้ column HP 6850, inlet temperature 250°C, oven initial temperature 70°C และ detector temperature 300°C, hydrogen flow 30.0 ml./min และ air flow 300 ml./min และใช้ flame ionization detector

8. บ่งชี้ชนิดของแบคทีเรียแลกติกที่แยกได้จากตัวอย่างเดาหุ้ย

การบ่งชี้ชนิดของแบคทีเรียแลกติก โดยนำแบคทีเรียแลกติกที่แยกได้มาข้อมูลร่วมกับการสร้างเอนไซม์ catalase ส่วนการจำแนกแบคทีเรียแลกติกในระดับจีนัส (Axelsson, 1993) โดยอาศัยลักษณะของเซลล์ ได้แก่ รูปร่าง การเรียงตัว และการทดสอบดังต่อไปนี้

8.1 การทดสอบการเติบโตที่อุณหภูมิ 10°C และ 45°C

การทดสอบการเติบโตที่อุณหภูมิ 10°C และ 45°C โดยถ่ายเชื้อแบคทีเรียแลกติก

ลงใน MRS broth บ่มเชื้อที่อุณหภูมิ 10°C และ 45°C เป็นเวลา 24-48 ชม. สังเกตการเติบโตโดยดูความขุ่นของอาหาร เปรียบเทียบกับหลอดควบคุมที่ไม่มีการถ่ายเชื้อ

8.2 การทดสอบการเติบโตในอาหารที่เติมเกลือ (NaCl) 6.5 และ 18 %

การทดสอบการเติบโตในอาหารที่เติมเกลือ โดยถ่ายเชื้อแบคทีเรียแลกติกลงใน MRS broth ที่มีเกลือ 6.5% และ 18% บ่มเชื้อที่อุณหภูมิ 35°C เป็นเวลา 24-48 ชม. สังเกตการเติบโตโดยดูความขุ่นของอาหาร เปรียบเทียบกับหลอดควบคุมที่ไม่มีการถ่ายเชื้อ

8.3 การทดสอบการเติบโตที่ pH 4.4 และ pH 9.6

การทดสอบการเติบโตในอาหารที่เป็นกรดและค้าง โดยถ่ายเชื้อแบคทีเรียแลกติกลงใน MRS broth ที่มีการปรับ pH เป็น 4.4 ด้วย 1N HCl และ pH 9.6 ด้วย 1N NaOH บ่มเชื้อที่อุณหภูมิ 35°C เป็นเวลา 24-48 ชม. สังเกตการเติบโตโดยดูความขุ่นของอาหาร เปรียบเทียบกับหลอดควบคุมที่ไม่มีการถ่ายเชื้อ

8.4 การตรวจสอบการจัดเรียงตัวของเซลล์ (tetrad formation)

การตรวจสอบการจัดเรียงตัวโดยสังเกตการณ์เรียงตัวของแบคทีเรียแลกติกที่มี 4 เซลล์เรียงติดกัน โดยการบ้มสีกรัม

8.5 การทดสอบ salt tolerant

การทดสอบการเติบโตของแบคทีเรียแลกติกในอาหารที่มีเกลือความเข้มข้นต่างๆ โดยป้ายเชื้อแบคทีเรียแลกติกบนอาหาร MRS agar ที่มีเกลือความเข้มข้น 0, 5 และ 10% บ่มที่อุณหภูมิ 35°C เป็นเวลา 24-48 ชม. ตรวจดูผลการเติบโต

8.6 การตรวจสอบความสามารถในการสร้างก๊าซการรับอนไดออกไซด์จากการหมักน้ำตาลกลูโคส

การตรวจสอบความสามารถในการหมักน้ำตาลกลูโคส โดยถ่ายเชื้อแบคทีเรียแลกติกลงในอาหารเลี้ยงเชื้อสำหรับทดสอบการใช้น้ำตาล (phenol red broth base) ที่มีการเติมกลูโคส 1% บ่มที่ 35°C เป็นเวลา 18-24 ชม. สังเกตการสร้างกรดโดยอาหารจะเปลี่ยนจากสีแดงเป็นสีเหลืองให้ผลเป็นบวก ถ้าไม่เปลี่ยนสีให้ผลเป็นลบ และคุณการสร้างก๊าซการรับอนไดออกไซด์ใน Durham tube ถ้ามีก๊าซจัดเป็น heterofermentative lactic acid bacteria ถ้าไม่มีก๊าซหรือมีก๊าซเล็กน้อย จัดเป็น homofermentative lactic acid bacteria โดยมีแบคทีเรียแลกติก สายพันธุ์มาตรฐานเพื่อเปรียบเทียบคุณสมบัติของแบคทีเรียแลกติกที่แยกได้ดังนี้ *Lactobacillus bulgaricus* TISTR451, *Lactobacillus plantarum* TISTR862, *Lactobacillus lactis* TISTR452 และ *Pediococcus halophilus* TISTR334

8.7 การนำชิ้นนิดของแบคทีเรียแลกติกโดยใช้ identification kit (Lactobacillus API 50 CHL 50300, บริษัท Bio Me'reux, France) ชี้งประกอบค้วง API 50 CHL เป็นอาหารเลี้ยงเชื้อที่

ใช้ร่วมกับชุดทดสอบ API 50 CH strip ในการศึกษากระบวนการหมักการโภชนาหาร 49 ชนิด ของแบคทีเรียแลกติกที่แยกได้จากเต้าหู้ยี้ ทำการทดสอบโดยการเพิ่มน้ำบูริสุทธิ์จากอาหารเขึ่ง MRS agar ลงในน้ำกลั่นปราศจากเชื้อปริมาณต่ำ 2 มล. โดยปรับให้มีความขุ่นมากกว่า 2 McFarland จากนั้นถ่ายเชื้อใส่ในน้ำกลั่นปราศจากเชื้อปริมาณต่ำ 5 มล. ปรับให้ได้ 2 McFarland บันทึกปริมาณของเชื้อที่ใช้ จากนั้นถ่ายเชื้อจากหลอดปริมาณต่ำ 2 มล. ใส่ในอาหารเลี้ยงเชื้อ API 50 CHL ปริมาณ 10 มล. โดยถ่ายเชื้อปริมาณเป็น 2 ของหลอด 5 มล. ซึ่งจะได้เชื้อที่มีความขุ่นเท่ากับ 2 McFarland ในอาหาร API 50 CHL ถ่ายเชื้อที่เตรียมประมาณ 120 ไมโครลิตร ลงใน API 50 CH strip บ่มที่อุณหภูมิ 37°C อ่านผลหลังการบ่มเป็นเวลา 24 และ 48 ชม. โดยใช้ *L. plantarum* TISTR 862 เป็นตัวเปรียบเทียบ หลุมแรกจะเป็น negative control ส่วนผลบวกจะเกิดเนื่องจากเชื้อมีการใช้น้ำตา และผลิตกรดออกามีผลทำให้ pH ในอาหารเลี้ยงเชื้อลดลง สังเกตการเปลี่ยนสีอินดิเคเตอร์ในอาหารจากม่วงเป็นสีเหลือง นำผลที่ได้มาเทียบเคียงชนิดโดยใช้โปรแกรมคอมพิวเตอร์ API Web Stand Alone V. 1.1.0

8.8 การบ่มชี้สายพันธุ์แบคทีเรียแลกติกโดยใช้วิธี 16S rRNA gene วิเคราะห์โดยหน่วย MU-OU : CRC คณะวิทยาศาสตร์ มหาวิทยาลัยหอดห์ โดยเริ่มจากการสกัด genomic DNA จากแบคทีเรียแลกติก แล้วเพิ่มปริมาณชิ้น DNA เฉพาะส่วนที่ต้องการ (ในที่นี้หมายถึงเฉพาะส่วน 16S rDNA) ด้วยเทคนิค Polymerase Chain Reaction (PCR) โดยใช้ genomic DNA ที่สกัดได้เป็นแม่แบบ และใช้ primer 20F (forward primer) และ 563R (reverse primer) แล้วทำการ sequencing reaction ด้วยเทคนิค PCR อ่านลำดับเบสของ DNA โดยนำ DNA product ไปวิเคราะห์ด้วยเครื่อง Automated DNA Sequencing จากนั้นนำลำดับเบสของ DNA ที่อ่านได้ไปเบรียบเทียบกับฐานข้อมูลในอินเทอร์เน็ต โดยเข้าไปที่เวปไซต์ของ NCBI (<http://www.ncbi.nlm.nih.gov/>, April 23/2007) จากนั้นเลือกที่ BLAST แล้วเลือก Nucleotide-nucleotide BLAST (blast) จะขึ้นหน้าต่างใหม่ให้เราใส่ข้อมูลลำดับเบสลงไป copy ลำดับเบสของตัวอย่างใส่ลงไปในช่อง Search แล้วกดปุ่ม BLAST จะมีหน้าต่างใหม่ปีกขึ้นมา รอสักครู่จนข้อมูลโหลดเสร็จเรียบร้อยบุคลากร Blast ซึ่งลำดับของเชื้อที่ขึ้นในบรรทัดแรกจะมีความใกล้เคียงกับเชื้อที่เรานำมาเทียบที่สุด ความเหมือนกันจะลดลงจากบรรทัดบนลงไปบรรทัดล่างตามลำดับ

9. การตรวจหาปริมาณเกลือในตัวอย่างเต้าหู้ยี้ในกระบวนการหมักและเต้าหู้ยี้สำเร็จรูป (AOAC, 1990)

ตรวจหาปริมาณเกลือในตัวอย่างเต้าหู้ยี้โดยชั่งตัวอย่างเต้าหู้ยี้ 0.5 กรัม ใส่ในฟลาร์กขนาด 250 มล. เติม 0.1 N AgNO₃ ลงไป 30 มล. ให้ปริมาตรเกินพอในการทำปฏิกิริยา กับ NaCl เกิดเป็นตะกอน AgCl, ได้หมัด เบย่าให้เข้ากัน เติม 6 N HNO₃ ลงไป 20 มล. นำไปต้มจนเดือดประมาณ

15 นาที เพื่อให้ตะกอนที่ไม่ใช่ AgCl , ละลายหมด ทิ้งให้เย็น เติมน้ำกลั่น 50 มล. และสารละลายน้ำ Ferric alum ลงไป 5 มล. เพื่อเป็นอินดิเคเตอร์ จากนั้นไถเตรตด้วย 0.1 N NH_4SCN ซึ่งจะทำปฏิกิริยา กับ AgNO_3 , ส่วนที่เหลือจึงจะดูดซึ้งจนมีสีแดงอิฐเกิดขึ้นบันทึกปริมาณ NH_4SCN ที่ใช้ แล้วนำมาคำนวณหาเปอร์เซ็นต์เกลือ (% NaCl) โดยมีสารละลายน้ำ NaCl ความเข้มข้น 5, 10, 15, 20% เป็นตัวควบคุม

10. การตรวจทานิดและปริมาณแร่ธาตุ (หน่วยเครื่องมือถ่อง คณะวิทยาศาสตร์ ม. สงขลา นครินทร์)

การตรวจทานิดและปริมาณแร่ธาตุที่เป็นองค์ประกอบในเต้าหู้ยี้ โดยชั่งตัวอย่าง เต้าหู้ยี้สำเร็จรูป 4 กรัม ใส่ใน Vycor วางบน hot plate ไฟอ่อนๆ ในครัววันจนน้ำระเหยหมดไป เพื่อความร้อนขึ้นจนตัวอย่างไม่มีควัน (ใช้เวลาไม่น้อยกว่า 5 ชม.) นำ Vycor ไปเสีย Muffle ที่อุณหภูมิ 750°C เวลา 180 นาที (3 ชม.) จนกระถั้งตัวอย่างเปลี่ยนจากสีดำเป็นไม่มีสี หรือสีเทาอ่อน ทิ้งให้เย็น下來ละลายด้วยกรดไฮดริกเข้มข้น 10% กรองด้วยกระดาษกรองแล้วปรับปริมาณให้ได้ 10 มล. ด้วยน้ำ (deionized water) สารละลายน้ำที่มีโลหะและแร่ธาตุจะถูกดูดเข้าเครื่อง Inductively Coupled Plasma Atomic Emission Spectrometry เพื่อวิเคราะห์ทานิดและปริมาณของโลหะ

11. การศึกษาโครงสร้างพื้นผิวดองเต้าหู้ยี้ (ศูนย์เครื่องมือวิทยาศาสตร์ ม. สงขลานครินทร์)

การศึกษาโครงสร้างพื้นผิวโดยนำก้อนเต้าหู้ก้อนหมัก เต้าหู้ยี้เหลือง (CSF1) และเต้าหู้ยี้แดง (CSF3) ตัวอย่างละ 1 ก้อน มา fix ด้วยสารเคมี ซึ่งประกอบด้วย 25% Glutaraldehyde ($\text{C}_5\text{H}_8\text{O}_2$) ในฟอลสเฟตบีฟเฟอร์ 4% Formaldehyde (CH_2O) เป็นเวลา 1-2 ชม. จากนั้นนำตัวอย่างมาล้างด้วย ฟอลสเฟตบีฟเฟอร์ 2-3 ครั้ง แล้วนำมานา fix ครั้งที่ 2 ด้วย 1% OsO_4 เป็นเวลา 1-2 ชม. ขึ้นอยู่กับลักษณะตัวอย่าง ล้างตัวอย่างด้วยน้ำกลั่น 2-3 ครั้ง แล้วขัดน้ำออกจากตัวอย่างโดยใช้ alcohol series หรือ acetone series จากความเข้มข้นต่างๆ ไปจนถึง absolute กึ่อ 50% Ethanol 15-30 นาที 2 ครั้ง, 70% Ethanol 15-30 นาที 2 ครั้ง, 80% Ethanol 15-30 นาที 2 ครั้ง, 90% Ethanol 15-30 นาที 2 ครั้ง และ 100% Ethanol 30 นาที 2 ครั้ง นำตัวอย่างไปทำให้แห้งด้วยวิธี Critical Point Drying ตามวิธีการปฏิบัติงานใช้เครื่อง CPD (WI-RES-CPD-001) แล้วนำมายิดบน Stub โดยใช้เทป กาว 2 หน้า carbon tape น้ำยาทาเด็บ และ carbon paint หรือ silver paint เป็นตัวชี้ด จากนั้นจึงนำไปฉายทาง ตามวิธีปฏิบัติงานการใช้เครื่อง Sputter Coater (WI-RES-Coater-001) แล้วนำตัวอย่างไปศึกษาการเปลี่ยนแปลงโครงสร้างพื้นผิวด้วย scanning electron microscope

12. การตรวจหา *Bacillus* Diarrhoeal Enterotoxin (BDE)

ตรวจหา BDE จากตัวอย่างเต้าหู้ยี้สำเร็จรูป โดยใช้ชุดทดสอบ TECRA *Bacillus* Diarrhoeal Enterotoxin Visual Immunoassay (TECRA BDE VIA) (รูปที่ 3) ซึ่งใช้หลักการของ ELISA ทดสอบ TECRA BDE VIA สามารถจับโปรตีนที่มีโมเลกุลขนาด 40-45 kDa คลอสตัน ของ non-hemolytic enterotoxin (NHE) protein complex ชุดทดสอบนี้จะมีความจำเพาะในการตรวจหา BDE ที่อยู่ในอาหาร โดยสามารถตรวจได้ถึงแม้ในตัวอย่างอาหารไม่มีสารพิษ แต่จะมีการสร้างสารพิษจากเชื้อ *Bacillus* เมื่อยู่ในสภาวะที่เหมาะสม คือสามารถสร้างในช่วงเวลาการเก็บอาหารหรือเมื่ออาหารถูกรับประทานเข้าสู่ร่างกายแล้ว ในการทดสอบครั้งนี้จึงมีวิธีการนำตัวอย่างมาใส่ในอาหารที่มีการเสริมสารปูรุ่งแต่งลงไว้เพื่อเพิ่มความสามารถในการสร้าง enterotoxin ทำให้สามารถถูกตรวจขึ้นได้ด้วยชุดทดสอบนี้ ขอบเขตของความไวของชุดทดสอบสามารถตรวจสารพิษได้ในระดับต่ำสุด 1 นาโนกรัม ของ BDE ต่อ มล. โดยผลที่ได้มีการเปรียบเทียบกับตัวอย่างควบคุม และวิธีการตรวจนี้ได้ทำตามขั้นตอนตามคู่มือที่แนบมา กับชุดทดสอบ ดังนี้

12.1 การเตรียมตัวอย่างเต้าหู้ยี้สำเร็จรูป จำนวน 9 ตัวอย่าง (CSF1-CSF9) โดยชั่งเต้าหู้ยี้ 10 กรัม ใส่ใน 90 มล. (BHI + 0.1% glucose (enriched medium) บ่มที่อุณหภูมิ 35-37 °C เป็นเวลา 16-18 ชม. จากนั้นนำตัวอย่างมาปั่นที่ความเร็วรอบ 1,000 - 3,000 g เป็นเวลา 10 นาที แยกเอาเฉพาะส่วนของ supernatant แล้วนำมาปรับ pH 7-8 ด้วย NaOH ที่ปราศจากเชื้อ โดยเทขบสีบนกระดาษวัด pH

12.2 การตรวจหา BDE โดยใช้ TECRA BDE VIA โดยเติม sample additive ปริมาตร 5 ไมโครลิตร ลงใน supernatant ปริมาตร 5 มล. ผสมให้เข้ากัน จากนั้นนำ well ที่เคลือบด้วยแอนติบอดีต่อ BDE มาล้างด้วย wash solution และแช่ไว้เป็นเวลา 10 นาที ที่อุณหภูมิห้อง เท wash solution แล้วเติมตัวอย่างปริมาตร 200 ไมโครลิตร บ่มที่ 35 °C เป็นเวลา 2 ชม. เทตัวอย่างลงใน sodium hypochlorite และล้าง well ด้วยกระดาษทิชชู ล้าง well ด้วย wash solution จำนวน 4 ครั้ง เติม conjugate ปริมาตร 200 ไมโครลิตร และปิด well ด้วย parafilm บ่มที่อุณหภูมิห้อง เป็นเวลา 1 ชม. ล้าง well ด้วย wash solution จำนวน 5 ครั้ง เติม substrate ปริมาตร 200 ไมโครลิตร บ่มที่อุณหภูมิห้องเป็นเวลา 30 นาที เทย่า well เปา ๆ เติม stop solution ปริมาตร 20 ไมโครลิตร และนำมาเทียบสีกับการคิด positive control และ negative control โดยใช้อาหารเลี้ยงเชื้อและตัวอย่างอาหารที่ปราศจาก enterotoxin ซึ่งในที่นี้ใช้ตัวอย่างเต้าหู้ยี้สำเร็จรูป CSF4 การอ่านผลการทดสอบ (รูปที่ 3 รูปที่ 4 และ รูปที่ 5)



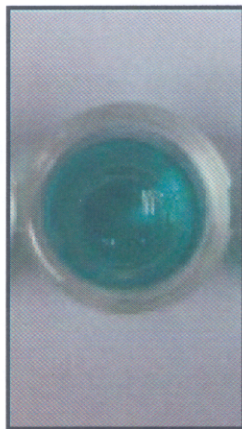
รูปที่ 3 ชุดทดสอบ TECRA *Bacillus* Diarrhoeal Enterotoxin Visual Immunoassay

การอ่านผลทำโดยเปรียบเทียบผลที่ได้กับสีของ positive control, negative control และ card color

positive control โดยใช้ BDE (มีให้ในชุดทดสอบ)

negative control โดยใช้ BHI+0.1%glucose

การใช้ card color เปรียบเทียบสีที่ได้: 1= สีขาว (negative), 2= สีเขียวอ่อน (negative), 3= สีเขียว (positive), 4= สีเขียวเข้ม (positive) และ 5= สีเขียวแก่ (positive)



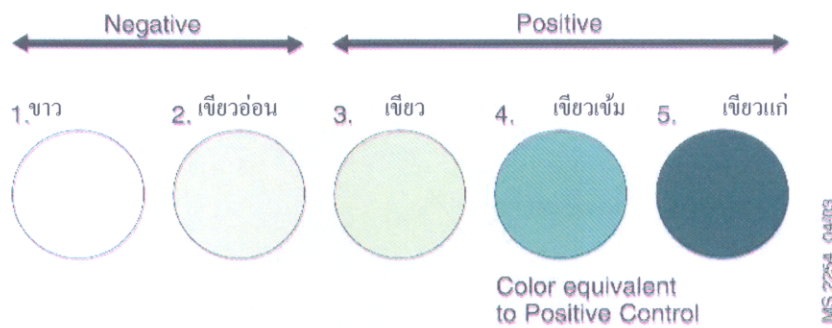
positive control



negative control

รูปที่ 4 ผลการตรวจหา BDE ของ *Bacillus* โดยใช้ TECRA BDE VIA

Card 2 : Color comparator for TECRA® Visual Immunoassays, including Immunocapture™.
Not for use with Salmonella VIA.

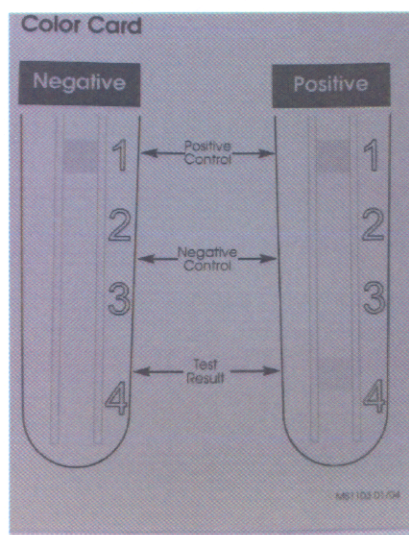


รูปที่ 5 Card color ที่ใช้อ่านผลการตรวจหา BDE ของ *Bacillus*

13. การตรวจหา Staphylococcal enterotoxin โดยใช้ TECRA UNIQUE

Staphylococcal enterotoxins

วิธีการตรวจนี้ได้ทำตามขั้นตอนตามคู่มือที่แนะนำกับชุดทดสอบ โดยเตรียมตัวอย่างจากตัวอย่างเด้าหุ่ยสำเร็จรูป โดยชั่งตัวอย่าง 10 กรัม ลงใน 90 มล. TSGM นำไปปั่นที่ 35 - 37°C, 16-24 hrs. จากนั้นนำตัวอย่างมาปั่นที่ความเร็วรอบ 1,000 - 3,000 g. 10 นาที นำส่วนใสมาทดสอบ (ปรับ pH ประมาณ 7-8 ด้วย NaOH ที่ปราศจากเชื้อ) และการเตรียมตัวอย่างจาก *Staphylococcus* ATCC 25923 เป็น positive control ในครั้งแรก และใช้เชื้อ *Staphylococcus aureus* สายพันธุ์ที่สร้างเอนเทอโรทอกซินชนิด A และ B ซึ่งได้จากการวิทยาศาสตร์การแพทย์ เป็น positive control ในครั้งที่ 2 โดย เบี่ยเชื้อที่ต้องการทดสอบลงใน TSGM นำไปปั่นที่ 35 - 37°C เป็นเวลา 16-24 ชม. จากนั้นนำตัวอย่างมาปั่นที่ความเร็วรอบ 1,000 - 3,000 g. เป็นเวลา 10 นาที นำส่วนใสมาทดสอบ ปรับ pH ประมาณ 7-8 ด้วย NaOH ที่ปราศจากเชื้อ การตรวจหา Staphylococcal enterotoxin โดยใช้ TECRA UNIQUE Staphylococcal enterotoxins โดยนำส่วนใสของตัวอย่างที่ต้องการทดสอบปริมาตร 1 มล. เติมลงในหลอดที่ 1 ของชุดทดสอบ จากนั้นนำ stick ที่เคลือบด้วยแอนติบอดีที่จำเพาะต่อ Staphylococcus enterotoxin วางในหลอดที่ 1 ยก stick ขึ้นลง 2 ครั้ง บ่มที่ 35°C, 2 ชม. ข้าย stick ใส่หลอดที่ 2 ยกขึ้นลง 5 ครั้ง แล้ว 2 นาที จากนั้นข้าย stick ใส่หลอดที่ 4 บ่มที่ 35°C, 30-35 นาที ข้าย stick ใส่หลอดที่ 5 ล้าง stick โดยยกขึ้นลง 10 ครั้ง แล้ว 5 นาที จากนั้นข้าย stick ใส่หลอดที่ 6 บ่มที่อุณหภูมิห้องเป็นเวลา 10 นาที ยก stick ขึ้น อ่านผลภายในเวลา 1 ชม. แล้วนำมาเทียบสีกับการ์ดที่แนะนำ โดยอ่านผลดังนี้ positive control จะมีสีม่วงเกิดขึ้นตรงตำแหน่งที่ 1 ของการ์ด ส่วน negative control อยู่ร่องระหว่างตำแหน่งที่ 2 และ 3 ของการ์ด ผลการทดสอบอยู่ระหว่างตำแหน่งที่ 3 และ 4 ของการ์ด (รูปที่ 6)

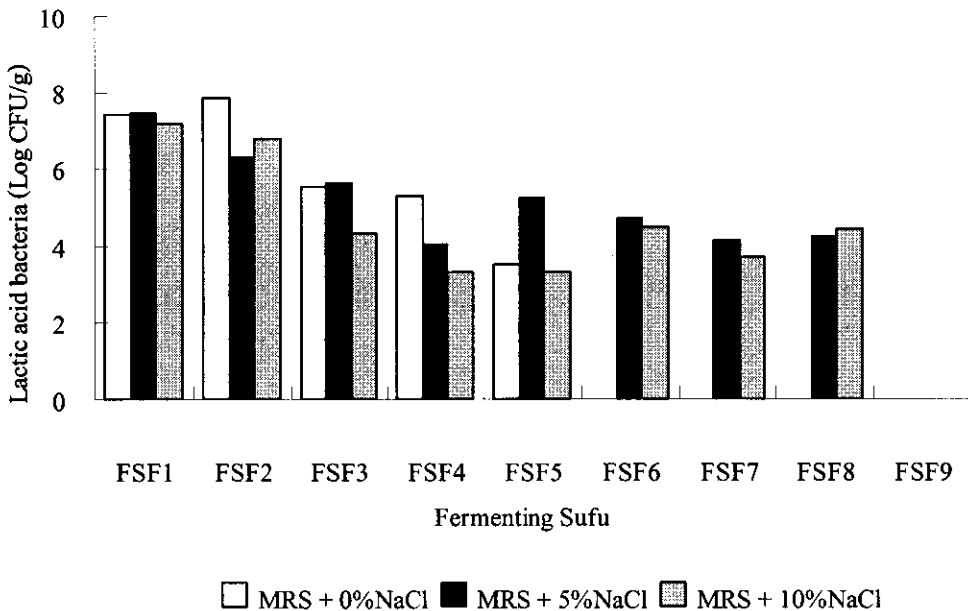


รูปที่ 6 TECRA UNIQUE Staphylococcal enterotoxins card

ผลการทดลอง

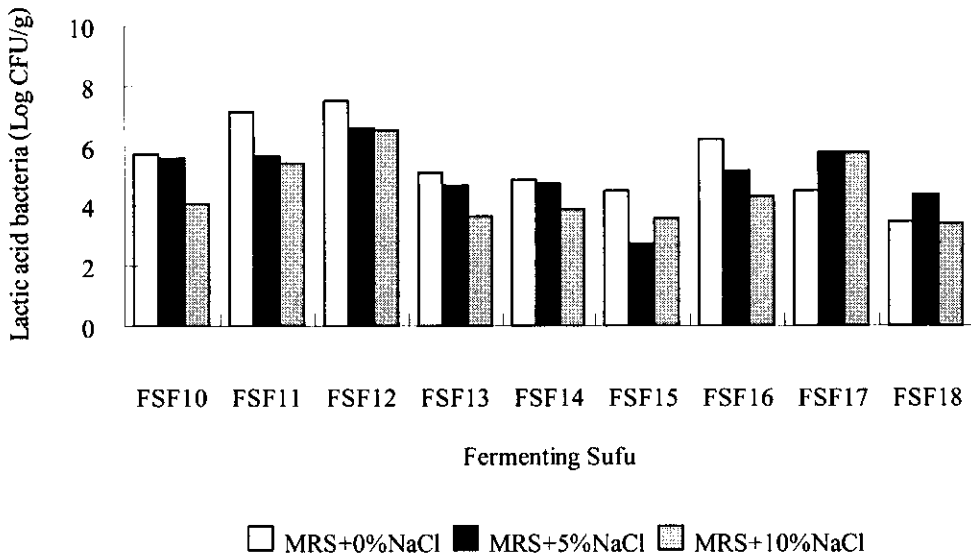
1. การตรวจหาปริมาณแบคทีเรียแลกติกที่แยกจากตัวอย่างเต้าหู้ยี้

การตรวจหาปริมาณแบคทีเรียแลกติกทั้งหมดที่แยกได้จากตัวอย่างเต้าหู้ยี้ในกระบวนการหมัก บนอาหาร MRS agar ที่เติม 5 mg% sodium azide, 0.04% bromocresol purple และเติมเกลือ 0%, 5% และ 10% (รูปที่ 7) พบว่าแบคทีเรียแลกติกมีปริมาณระหว่าง 3.0×10^3 ถึง 7.0×10^7 CFU/g, 1.1×10^4 ถึง 3.0×10^7 CFU /กรัม และ 1.9×10^3 ถึง 1.5×10^7 CFU/g ตามลำดับ โดยบนอาหาร MRS + 0% NaCl มีเชื้อเริ่มต้น 2.7×10^7 CFU/g และเพิ่มขึ้นสูงสุด 7.0×10^7 CFU/g ในเดือนที่ 2 และลดลงเรื่อยๆ จนถึงเดือนที่ 5 แล้วไม่พบแบคทีเรียแลกติก ส่วนอาหาร MRS + 5% NaCl มีจำนวนเชื้อเริ่มต้น 3.0×10^7 CFU/g และลดลงจนกระแท้ถึงเดือนที่ 8 ส่วนบนอาหาร MRS+ 10% NaCl มีจำนวนเชื้อเริ่มต้น 1.5×10^7 CFU/g และลดลงจนกระแท้ถึงเดือนที่ 8 เช่นกัน ในเดือนที่ 9 ตรวจไม่พบแบคทีเรียแลกติก ส่วนในถังหมักอื่นๆ (รูปที่ 8) พบ แบคทีเรียแลกติกมีปริมาณใกล้เคียงกับถังหมักที่ทำการศึกษาในครั้งนี้ แต่พบแบคทีเรียแลกติก ปริมาณระหว่าง 2.9×10^3 ถึง 1.7×10^6 CFU/g บนอาหาร MRS agar + 0% NaCl ในถังหมักเดือนที่ 6 (FSF15), 7 (FSF16), 8 (FSF17) และ 9 (FSF18) ส่วนตัวอย่างเต้าหู้ยี้สำเร็จรูป (รูปที่ 9) พบ แบคทีเรียแลกติกถึง 3 ตัวอย่าง ได้แก่ CSF5, CSF8 และ CSF9 โดยมีปริมาณแบคทีเรียแลกติก 2.5×10^3 , 3.0×10^3 ถึง 6.2×10^3 และ 2.4×10^3 ถึง 2.6×10^3 CFU/g ตามลำดับ ซึ่งเป็นเต้าหู้ยี้ เหลืองผลิตจากประเทศไต้หวันและประเทศไทย ส่วนการตรวจวัดความเป็นกรดด่าง (pH) ของ ตัวอย่างเต้าหู้ยี้ (รูปที่ 10) พบว่า เต้าหู้ยี้ในกระบวนการหมักมี pH เริ่มต้น 4.93 และลดลงเรื่อยๆ จนกระแท้สูงสุดกระบวนการหมักมี pH 4.59 แต่ในกรณีเต้าหู้ยี้สำเร็จรูปมี pH 4.85 ทั้งนี้เนื่องจากมี การเติมส่วนผสมอื่นๆ ก่อนการบรรจุขวดนั่นเอง

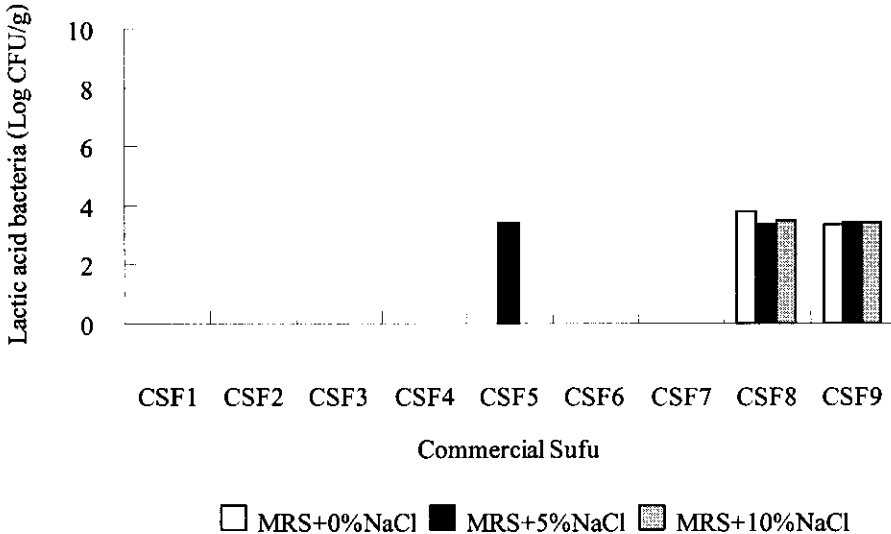


รูปที่ 7 ปริมาณแบคทีเรียแลกติกในกระบวนการหมักเต้าหู้ซึ่งจากลังหมักเดียวกันที่เพาะเลี้ยงบน

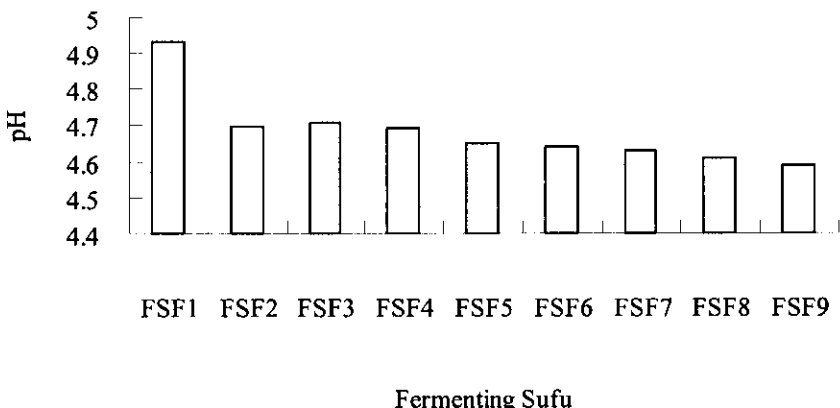
MRS agar ที่เติมเกลือความเข้มข้นต่างๆ กัน บ่มที่อุณหภูมิ 35°C เป็นเวลา 3-5 วัน FSF1 (1 เดือน), FSF2 (2 เดือน), FSF3 (3 เดือน), FSF4 (4 เดือน), FSF5 (5 เดือน), FSF6 (6 เดือน), FSF7 (7 เดือน), FSF8 (8 เดือน) และ FSF9 (9 เดือน)



รูปที่ 8 ปริมาณแบคทีเรียแลกติกในกระบวนการหมักเต้าหู้ข้าวถั่วหมักต่างๆ กัน ที่เพาะเลี้ยงบน MRS agar ที่เติมเกลือความเข้มข้นต่างๆ กัน บ่มที่อุณหภูมิ 35°C เป็นเวลา 3-5 วัน FSF10 (1 เดือน), FSF11 (2 เดือน), FSF12 (3 เดือน), FSF13 (4 เดือน), FSF14 (5 เดือน), FSF15 (6 เดือน), FSF16 (7 เดือน), FSF17 (8 เดือน) และ FSF18 (9 เดือน)



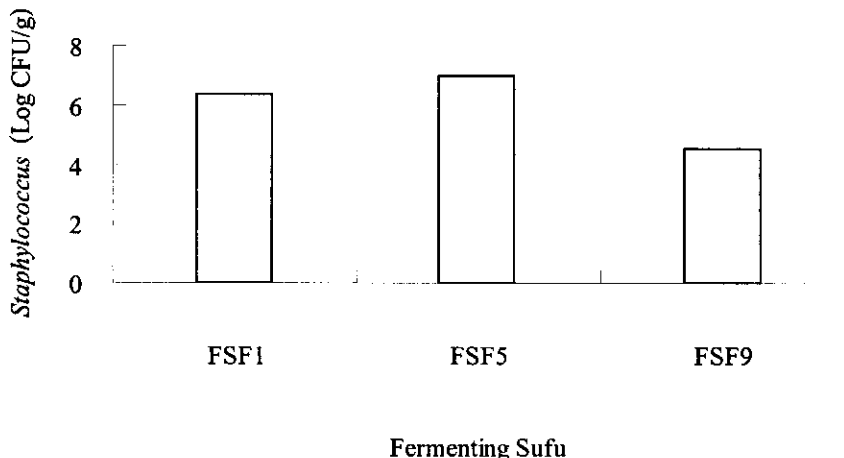
รูปที่ 9 ปริมาณแบคทีเรียแลกติกในตัวอย่างเต้าหู้ยี้สำเร็จรูปที่เพาะเลี้ยงบน MRS agar ที่เติมเกลือความเข้มข้นต่างๆ กัน บ่มที่อุณหภูมิ 35°C เป็นเวลา 3-5 วัน CSF1 (เต้าหู้ยี้เหลือง อ. เมือง จ. สงขลา), CSF2 (เต้าหู้ยี้แดง ตราเด็กซี่กิเลน จ. สมุทรสาคร), CSF3 (เต้าหู้ยี้แดง จีน), CSF4 (เต้าหู้ยี้แดง กรุงเทพมหานคร), CSF5 (เต้าหู้ยี้เหลือง ได้หัววัน), CSF6 (เต้าหู้ยี้เหลือง จีน), CSF7 (เต้าหู้ยี้แดง จีน), CSF8 (เต้าหู้ยี้เหลือง ตรา New sun จีน) และ CSF9 (เต้าหู้ยี้เหลือง ได้หัววัน)



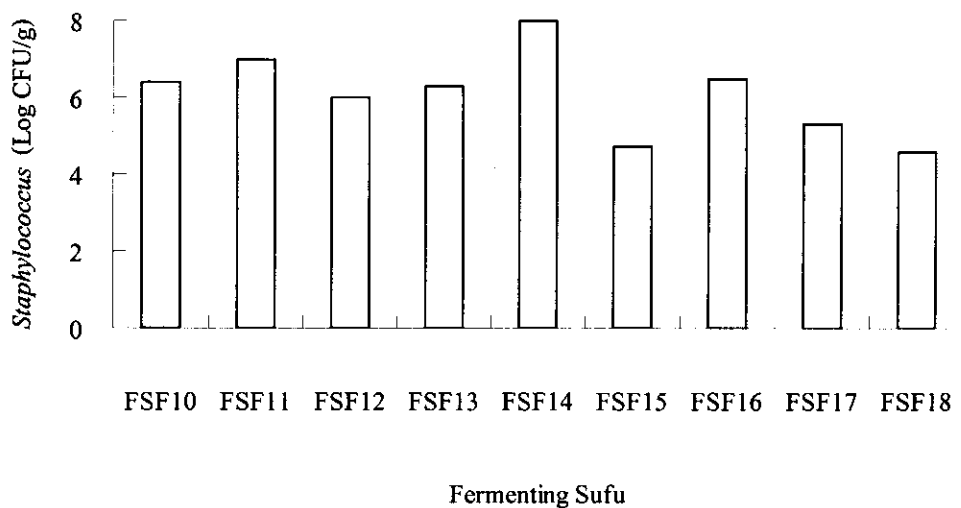
รูปที่ 10 การเปลี่ยนแปลงของความเป็นกรดด่าง (pH) ของตัวอย่างเต้าหู้ยี้ ตั้งแต่เริ่มต้นกระบวนการหมักจนกระทั่งสิ้นสุดกระบวนการหมัก

2. การตรวจหาแบคทีเรียที่อาจก่อโรคในทางเดินอาหาร

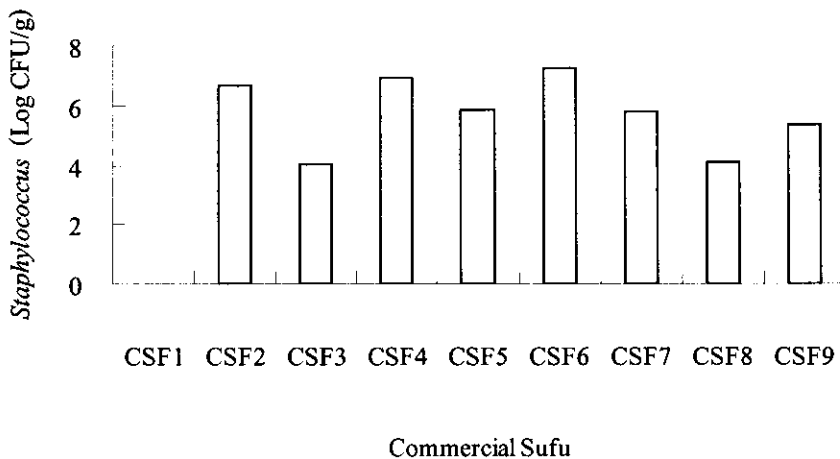
การตรวจหาเชื้อแบคทีเรียก่อโรคในทางเดินอาหาร ในตัวอย่างเต้าหู้ยี้พบว่าในกระบวนการการหมักตรวจไม่พบ faecal coliform บนอาหาร MacConkey agar และพบว่า ไม่มีผลดีให้ก้าวใน Durham tube (ไม่ได้แสดงข้อมูล) เมื่อตรวจยืนยันด้วยวิธี MPN method (presumptive and confirm test) แต่พบเชื้อ *Staphylococcus* บนอาหาร Mannitol Salt Agar (MSA) ที่ ferment mannitol จากตัวอย่างเต้าหู้ยี้ในกระบวนการการหมัก (รูปที่ 11) ซึ่งมีปริมาณระหว่าง 3.3×10^4 ถึง 1.1×10^7 CFU/g และตรวจพบเช่นเดียวกันกับตัวอย่างเต้าหู้ยี้ในถังหมักต่างๆ กัน (รูปที่ 12) โดยพบเชื้ออยู่ระหว่าง 4.0×10^4 ถึง 1.1×10^8 CFU/g และตัวอย่างเต้าหู้ยี้สำเร็จรูป (รูปที่ 13) ซึ่งตรวจพบเก็บบุกตัวอย่าง ยกเว้น CSF1 โดยมีปริมาณเชืออยู่ระหว่าง 1.1×10^4 ถึง 1.9×10^7 CFU/g และพบเชื้อ *Bacillus* บนอาหาร Mannitol Egg-Yolk Polymyxin agar (MYP) ที่สามารถผลิต lecithinase ของ egg yolk แล้วทำให้เกิดความผุนรอบโคลอนี และไม่ ferment mannitol ทำให้โคลอนีมีสีชมพู *Bacillus* ที่แยกได้จากตัวอย่างเต้าหู้ยี้ในกระบวนการการหมัก (รูปที่ 14) มีปริมาณอยู่ระหว่าง 5.7×10^3 ถึง 1.5×10^6 CFU/g ซึ่งพบตั้งแต่เริ่มต้นจนสิ้นสุดกระบวนการการหมัก และตรวจพบเช่นเดียวกันกับตัวอย่างเต้าหู้ยี้ในถังหมักต่างๆ กัน (รูปที่ 15) โดยพบเชืออยู่ระหว่าง 2.0×10^3 ถึง 1.5×10^5 CFU/g และตัวอย่างเต้าหู้ยี้สำเร็จรูป (รูปที่ 16) พนเชื้ออยู่ระหว่าง 2.5×10^4 ถึง 2.6×10^6 CFU/g และพบเชื้อแบคทีเรียแกรนบวกรูปแท่ง บนอาหาร Oxford agar ที่ให้โคลอนีสีดำ เนื่องจากเชื้อแบคทีเรียที่สามารถย่อย esculin ในอาหารเกิด esculitin ซึ่งทำปฏิกิริยากับ ferric ion (ferric ammonium citrate) ที่เป็นโคลอนีสีดำ ซึ่งในกระบวนการการหมักเต้าหู้ยี้ (รูปที่ 17) สามารถพนโคลอนีสีดำบนอาหารนี้มีปริมาณระหว่าง 1.1×10^3 ถึง 1.0×10^6 CFU/g ส่วนตัวอย่างเต้าหู้ยี้ในถังหมักต่างๆ กัน (รูปที่ 18) พนโคลอนีสีดำระหว่าง 3.0×10^3 ถึง 1.0×10^6 CFU/g และในเต้าหู้ยี้สำเร็จรูป (รูปที่ 19) พนโคลอนีสีดำระหว่าง 0 ถึง 1.4×10^7 CFU/g แต่ลักษณะโคลอนีของเชื้อที่แยกได้ไม่ใช่ลักษณะเฉพาะของ *L. monocytogenes* บน Oxford agar ซึ่งมีขนาดเล็ก สีเทาดำ และมีน้ำมูกองกลางโคลอนี เมื่อบ่มเกิน 48 ชม. และได้ทดสอบทางชีวเคมีของที่แยกได้ในเบื้องต้น พร้อมกับสารพันธุ์มาตรฐาน พนว่า เชื้อที่แยกได้ไม่ใช่เชื้อ *L. monocytogenes*



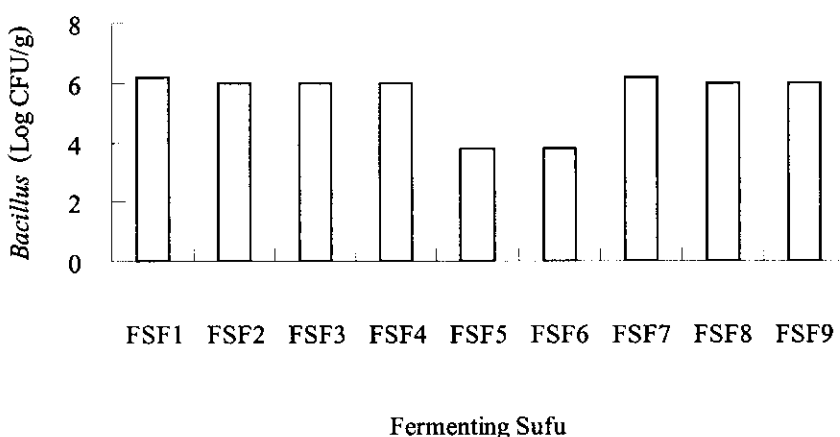
รูปที่ 11 ปริมาณเชื้อ *Staphylococcus* ในกระบวนการหมักเต้าหู้ซึ่งเพาะเลี้ยงบนอาหาร MSA บ่มที่ อุณหภูมิ 35°C เป็นเวลา 24-48 ชม. FSF1 (1 เดือน), FSF5 (5 เดือน) และ FSF9 (9 เดือน)



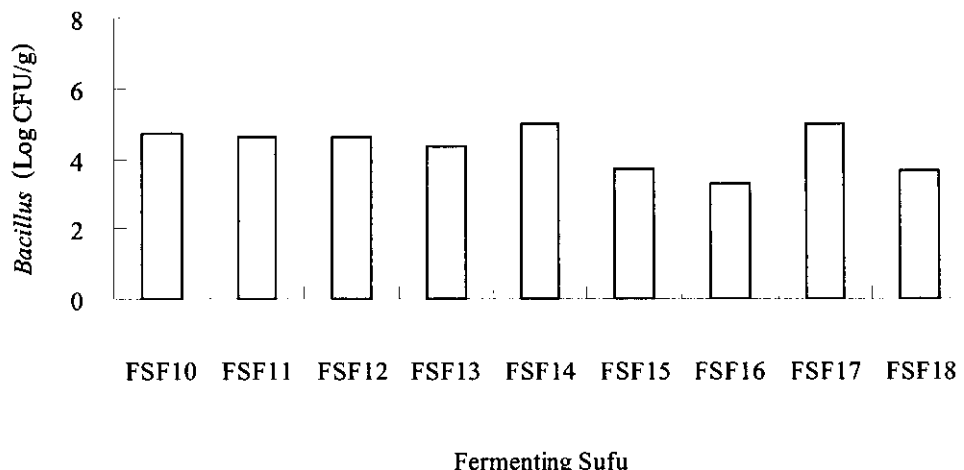
รูปที่ 12 ปริมาณเชื้อ *Staphylococcus* ในกระบวนการหมักเต้าหู้ซึ่งจากถังหมักต่างๆ กันที่เพาะเลี้ยง บนอาหาร MSA บ่มที่อุณหภูมิ 35°C เป็นเวลา 24-48 ชม.



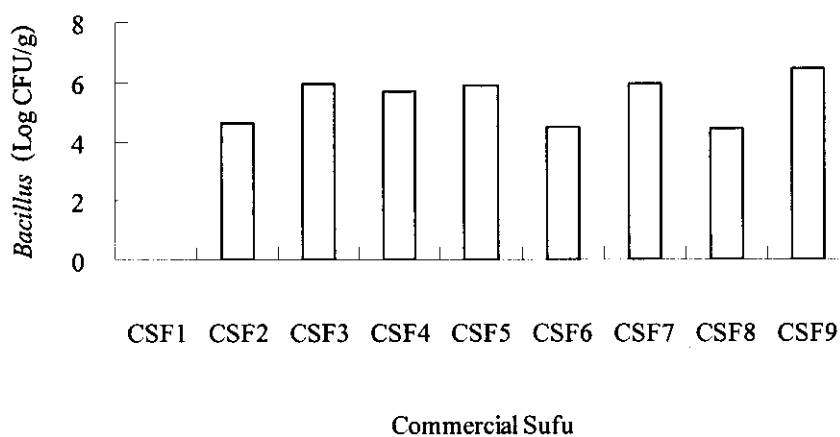
รูปที่ 13 ปริมาณ *Staphylococcus* ในตัวอย่างเต้าหู้ยี้สำเร็จรูปที่เพาะเลี้ยงบนอาหาร MSA บ่ำที่ อุณหภูมิ 35°C เป็นเวลา 24-48 ช.m.



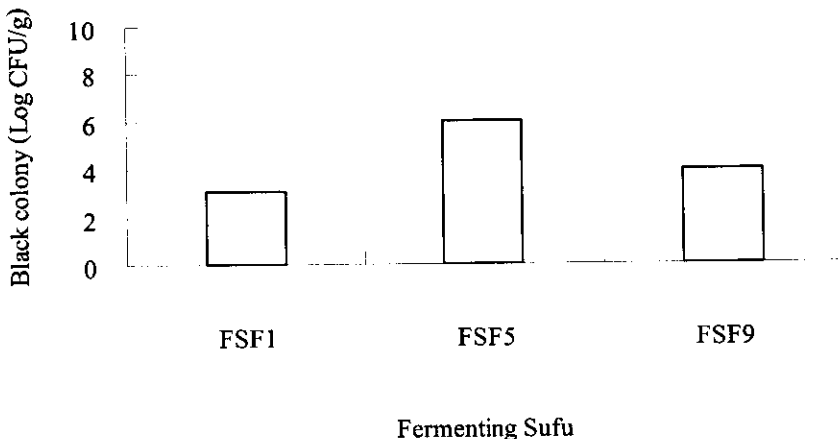
รูปที่ 14 ปริมาณเชื้อ *Bacillus* ในการบวนการหมักเต้าหู้ยี้ที่เพาะเลี้ยงบนอาหาร MYP agar บ่ำที่ อุณหภูมิ 35°C เป็นเวลา 24-48 ช.m.



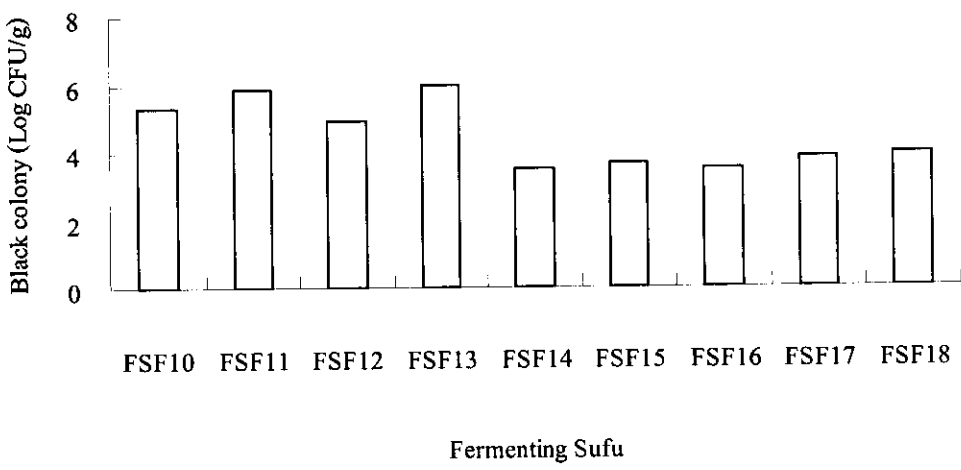
รูปที่ 15 ปริมาณเชื้อ *Bacillus* ในกระบวนการหมักเต้าหู้ยี้จากถังหมักต่างๆ กันที่เพาะเลี้ยงบนอาหาร MYP agar บ่มที่อุณหภูมิ 35°C เป็นเวลา 24-48 ชม.



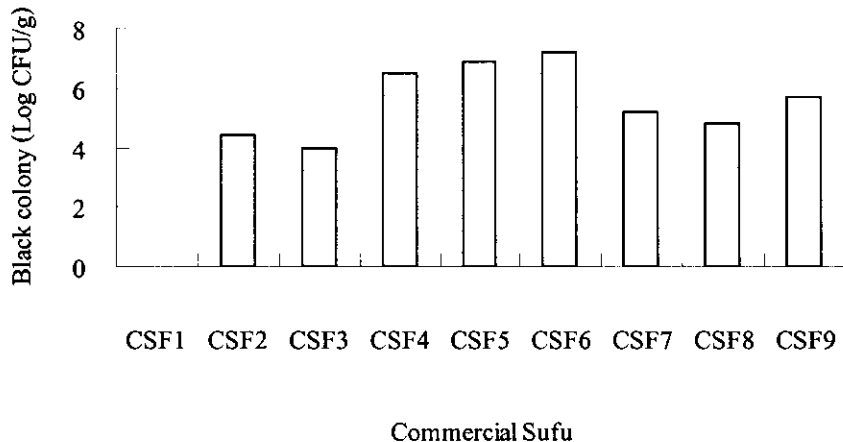
รูปที่ 16 ปริมาณ *Bacillus* ในตัวอย่างเต้าหู้ยี้สำเร็จรูปที่เพาะเลี้ยงบนอาหาร MYP agar ที่เติมเกลือ ความเข้มข้นต่างๆ กัน บ่มที่อุณหภูมิ 35°C เป็นเวลา 24-48 ชม.



รูปที่ 17 ปริมาณ Black colony ในกระบวนการหมักเต้าหู้ขี้ที่เพาะเลี้ยงบนอาหาร Oxford agar บ่มที่อุณหภูมิ 35°C เป็นเวลา 24-48 ชม. FSF1 (1 เดือน), FSF5 (5 เดือน) และ FSF9 (9 เดือน)



รูปที่ 18 ปริมาณ Black colony ในกระบวนการหมักเต้าหู้ขี้จากถังหมักต่างๆ กันที่เพาะเลี้ยงบนอาหาร Oxford agar บ่มที่อุณหภูมิ 35°C เป็นเวลา 24-48 ชม.



รูปที่ 19 ปริมาณ Black colony ในตัวอย่างเต้าหู้ยี้สำเร็จรูปที่เพาะเลี้ยงบนอาหาร Oxford agar ปั่นที่ อุณหภูมิ 35°C เป็นเวลา 24-48 ชม.

3. การเติบโตของแบคทีเรียแลกติกบนอาหารที่มีเกลือความเข้มข้นต่าง ๆ กัน

แบคทีเรียแลกติกที่แยกจากตัวอย่างเด้าหูยีนทั้งหมด 126 สายพันธุ์ โดยการคัดเลือกจากกลุ่มอะโครโนลีนที่แตกต่างกันบนอาหาร MRS agar และให้ผลลบกับการทดสอบ catalase และเมื่อนำแบคทีเรียแลกติกไปทดสอบการเติบโตบนอาหาร MRS agar ที่เติมเกลือความเข้มข้น 0, 5 และ 10% (ตารางที่ 1) พบว่ามีแบคทีเรียแลกติก 23 สายพันธุ์ (18.3%) เติบโตได้บนอาหารที่ไม่มีการเติมเกลือและมีเกลือ 5% มี 60 สายพันธุ์ (47.6%) เติบโตได้ในอาหารที่มีเกลือ 0, 5 และ 10% ซึ่งแบคทีเรียแลกติกเหล่านี้จัดเป็น Halotolerant และมีแบคทีเรียแลกติกเพียง 43 สายพันธุ์ (34.1%) ที่ไม่สามารถเติบโตได้บนอาหารที่ไม่เติมเกลือ ซึ่งแบคทีเรียแลกติกเหล่านี้จัดเป็น Halophilic และไม่มีแบคทีเรียแลกติกสายพันธุ์ใดที่เติบโตได้เฉพาะบนอาหารที่ไม่เติมเกลือ

ตารางที่ 1 การเติบโตของแบคทีเรียแลกติกที่แยกได้จากตัวอย่างเด้าหูยีน MRS agar ที่มีเกลือความเข้มข้นต่างๆ กัน

	Growth on MRS agar added with salt			จำนวน isolates	%ของจำนวนสายพันธุ์ที่ทดสอบ
	0%	5%	10%		
Non halophilic LAB	+	-	-	0	0
Halotolerant LAB 1	+	+	-	23	18.3
Halotolerant LAB 2	+	+	+	60	47.6
Halophilic LAB 1	-	+	-	1	0.8
Halophilic LAB 2	-	-	+	1	0.8
Halophilic LAB 3	-	+	+	41	32.5
Total				126	100.0

4. การคัดแยกชนิดของ probiotic lactic acid bacteria

4.1 การทวนต่อเกลือน้ำดี

การทดสอบการทวนต่อเกลือน้ำดีทำโดยนำแบคทีเรียแลกติกที่แยกได้จากตัวอย่างเด้าหุ่ย์ในกระบวนการหมักและเด้าหุ่ย์สำเร็จรูปรวม 126 สายพันธุ์ มาเลี้ยงในอาหาร MRS broth เป็นเวลา 24 ชม. แล้วนำมาเพาะเลี้ยง ลงบนอาหาร MRS agar ที่มีการเติมเกลือน้ำดีเข้มข้น 0.15% และ 0.3% (ตารางที่ 2) จากการทดลองพบว่าแบคทีเรียแลกติกทุกสายพันธุ์ (100%) สามารถเติบโตได้ในอาหารที่มีเกลือน้ำดีเข้มข้น 0.15% และมี 117 สายพันธุ์ (92.9%) จากทั้งหมด 126 สายพันธุ์ ที่สามารถเติบโตได้ในอาหารที่มีเกลือน้ำดีเข้มข้น 0.3%

4.2 การทวนกรด

การทดสอบการทวนกรด ทำโดยนำแบคทีเรียแลกติกที่แยกได้ มาทดสอบการเติบโตบนอาหาร MRS broth ภายใต้สภาวะที่เป็นกรด pH 2, pH3 และ pH4 (ตารางที่ 2) พบว่ามีแบคทีเรียแลกติกทั้งหมด 126 สายพันธุ์ มีจำนวน 110 สายพันธุ์ (87.3%) ที่สามารถเติบโตได้ในอาหารที่มี pH 4 แต่ไม่สามารถเติบโตได้ในอาหารที่มี pH 2 และ pH 3

4.3 การทดสอบการย่อยโปรตีน ไขมัน และแป้ง

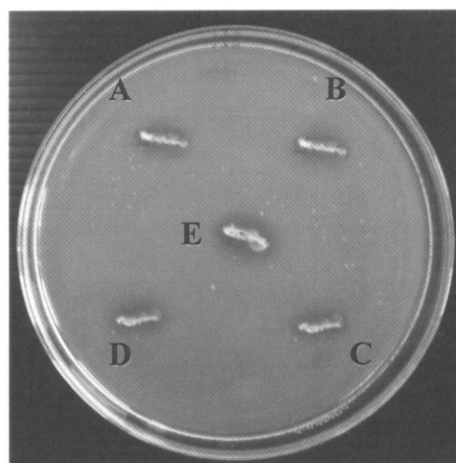
การทดสอบย่อยโปรตีน (ตารางที่ 2) (รูปที่ 20) ไขมัน และแป้ง พบร่วมกับ แบคทีเรียแลกติกสามารถย่อย skim milk หรือ gelatin ได้ 50 สายพันธุ์ (39.7%) โดยมี degree of hydrolysis อยู่ระหว่าง 1.3 - 12 ส่วนอีก 2 สายพันธุ์ (1.6%) สามารถย่อย tributyrin คือ PS1232 และ PS1233 โดยมี degree of hydrolysis เท่ากับ 2.4 และ 2.3 แต่ไม่มีสายพันธุ์ใดที่สามารถย่อยแป้งได้

4.4 การทดสอบการเติบโตในสภาวะที่มีและไม่มีออกซิเจน

แบคทีเรียแลกติกที่แยกทุกสายพันธุ์ที่แยกได้สามารถเติบโตได้ทั้งในสภาวะที่มีและไม่มีออกซิเจน (facultative anaerobe) (ตารางที่ 2)

ตารางที่ 2 การคัดแยกชนิดของโปรไบโอติกแบคทีเรียแลกติกที่แยกจากเต้าหู้

สมบัติการเป็นโปรไบโอติก	จำนวนสายพันธุ์ที่ทดสอบ	จำนวนสายพันธุ์ที่คัดเลือกได้	% ของจำนวนสายพันธุ์ที่ทดสอบ
การทนต่อเกลือน้ำดี 0.15%	126	126	100
การทนต่อเกลือน้ำดี 0.30%	126	117	92.9
การทนกรด	126	110	87.3
การย่อย skim milk หรือ gelatin	126	50	39.7
การย่อย tributyrin	126	2	1.6
การย่อย corn starch	126	0	0
การเติบโตในสภาพที่มีและไม่มีออกซิเจน	126	126	100



NA + 1% skim milk

รูปที่ 20 การผลิตเอนไซม์ย่อยโปรตีนของแบคทีเรียแลกติกสายพันธุ์ PS12102 (A), PS1295 (B), PS1248 (C), PS1244 (D) และ PS1253 (E)

5. การทดสอบความสามารถของแบนค์ที่เรียแลกติกในการยับยั้งแบนค์ที่เรียอินดิเคเตอร์

การทดสอบแบนค์ที่เรียแลกติกที่แยกได้ในการยับยั้งแบนค์ที่เรียอินดิเคเตอร์ โดยวิธี Agar spot assay (ตารางที่ 3) (รูปที่ 21) พบว่าแบนค์ที่เรียแลกติกที่แยกได้มีความสามารถในการยับยั้งแบนค์ที่เรียอินดิเคเตอร์ได้ทั้งแบนค์ที่เรียกรัมบวกและแบนค์ที่เรียกรัมลบ โดยสามารถยับยั้ง *E. coli* ATCC25922 (96.0%), *S. aureus* ATCC25923 (79%), *B. cereus* TISTR687 (91.3%) และ *L. monocytogenes* DMST4553 (88.1%)

ส่วนการนำส่วนของอาหารเลี้ยงเชื้อแบนค์ที่เรียแลกติกมาทดสอบการยับยั้ง โดยวิธี Agar well diffusion assay (รูปที่ 22) พบว่ามีแบนค์ที่เรียแลกติกเพียง 2 สายพันธุ์ ได้แก่ แบนค์ที่เรียแลกติก PS1240 และ PS1243 ที่สามารถยับยั้งการเติบโตของแบนค์ที่เรียอินดิเคเตอร์ *L. monocytogenes* DMST4553 เท่านั้น โดยให้ใช้นการยับยั้ง 35.5 มม. และ 16.3 มม. ตามลำดับ ซึ่งแบนค์ที่เรียแลกติกทั้ง 2 สายพันธุ์นี้เป็นแบนค์ที่เรียแลกติกที่แยกได้จากกระบวนการหมักเต้าหู้ยี้ในเดือนที่ 3 และเป็นแบนค์ที่เรียทานเกลือความเข้มข้น 5%

ตารางที่ 3 ผลการยับยั้งแบนค์ที่เรียอินดิเคเตอร์ของแบนค์ที่เรียแลกติกที่แยกได้โดยวิธี Agar spot assay

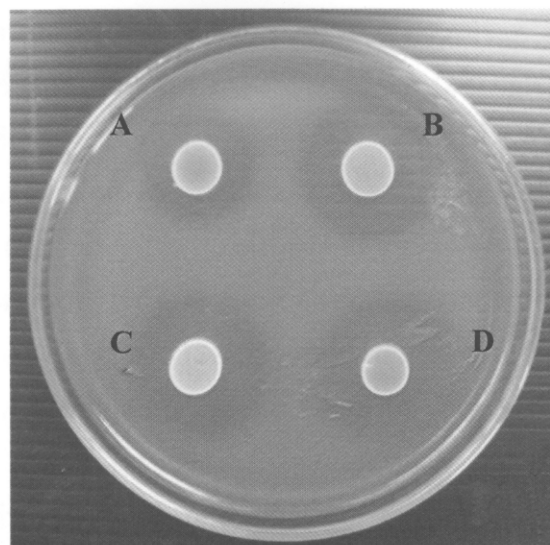
แบนค์ที่เรียอินดิเคเตอร์	จำนวนสายพันธุ์ที่ทดสอบ	จำนวนสายพันธุ์ที่ยับยั้งได้				%ของสายพันธุ์ที่ยับยั้งได้
		+	++	+++	++++	
<i>E. coli</i> ATCC25922	126	36	47	37	1	96.0
<i>S. aureus</i> ATCC25923	126	38	35	25	2	79.4
<i>B. cereus</i> TISTR687	126	50	38	27	0	91.3
<i>L. monocytogenes</i> DMST4553	126	38	48	23	2	88.1

+ คือ ขนาดเส้นผ่าศูนย์กลางของวงไสมากกว่า 10 มม.

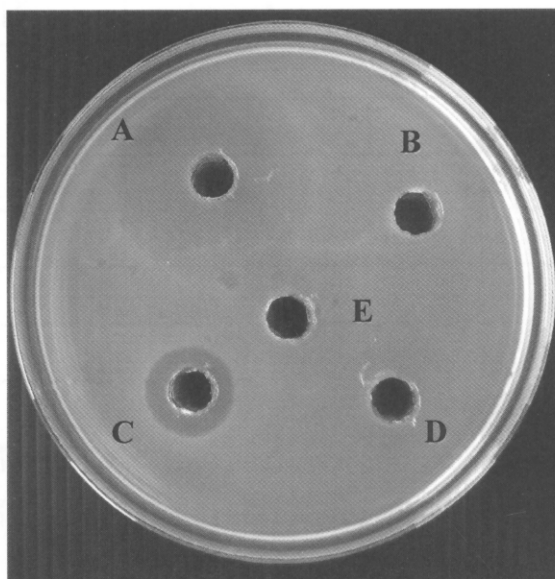
++ คือ ขนาดเส้นผ่าศูนย์กลางของวงไสมากกว่า 20 มม.

+++ คือ ขนาดเส้นผ่าศูนย์กลางของวงไสมากกว่า 30 มม.

++++ คือ ขนาดเส้นผ่าศูนย์กลางของวงไสมากกว่า 40 มม.



รูปที่ 21 ผลการยับยั้ง *Escherichia coli* ATCC25922 ของแบคทีเรียแลกติกสายพันธุ์ PS1234 (A), PS1238 (B), PS1240 (C) และ PS1241 (D) โดยวิธีการยับยั้งบนอาหารแข็ง (Agar spot assay)



รูปที่ 22 ผลการยับยั้ง *Listeria monocytogenes* DMST4553 ของ culture broth ที่ได้จากการเลี้ยงเชื้อ แบคทีเรียแลกติกสายพันธุ์ PS1240 (A), PS1242 (B), PS1243 (C), PS1253 (D) และ PS1254 (E) โดยวิธี Agar well diffusion assay

6. การบ่งชี้ชนิดของสารยับยั้ง

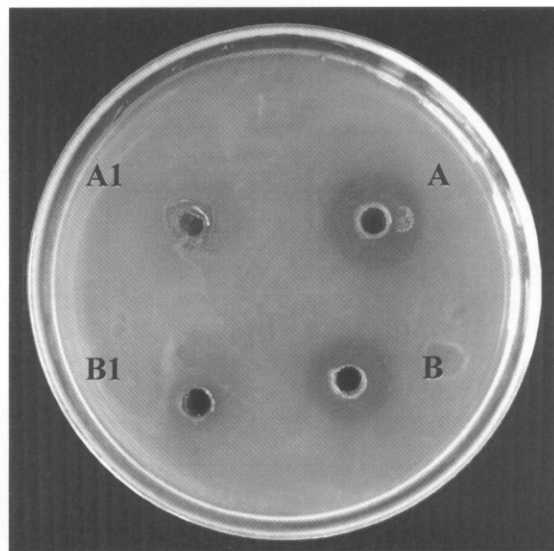
การบ่งชี้ชนิดสารยับยั้งของแบคทีเรียแลกติก PS1240 และ PS1243 โดยการนำส่วนของแบคทีเรียแลกติกทั้ง 2 สายพันธุ์ มาเพิ่มความเข้มข้น 10 เท่า โดยการทำ Lyophilize แล้วนำมาปรับ pH เป็นกลางเพื่อกำจัดสารยับยั้งที่เกิดจากกรดและไม่ปรับ pH มาทดสอบร่วมกับเอ็นไซม์ย่อยโปรตีน แป้ง และไขมัน แล้วนำมาทดสอบสารยับยั้งที่เหลืออยู่โดยวิธี Agar well diffusion (ตารางที่ 4) (รูปที่ 23) พบว่าส่วนของแบคทีเรียแลกติกทั้งสองสายพันธุ์ไม่เกิดโซนยับยั้ง *L. monocytogenes* DMST4553 เมื่อปรับ pH ของส่วนไส แสดงว่าฤทธิ์ในการยับยั้งเกิดจากกรด และไม่พบแบคเทอโริโอดินและไฮโดรเจนเปอร์ออกไซด์ เมื่อทดสอบส่วนไสที่ไม่ได้ปรับ pH กับเอ็นไซม์ชนิดต่างๆ เมื่อจากโซนยับยั้ง *L. monocytogenes* DMST4553 ของส่วนไสที่บ่มร่วมกับเอ็นไซม์ชนิดต่างๆ มีขนาดเท่ากับส่วนไสที่ไม่ได้บ่มร่วมกับเอ็นไซม์ซึ่งใช้เป็น control (ตารางที่ 5) (รูปที่ 24)

ตารางที่ 4 ผลการทดสอบสารยับยั้งของน้ำเลี้ยงเชื้อแบคทีเรียแลกติกที่ปรับ pH กับ *L. monocytogenes* DMST4553 โดยวิธี agar well diffusion assay

ชนิดของเอ็นไซม์ที่ใช้ทดสอบ	โซนการยับยั้ง (มม.)			
	PS1240		PS1243	
	ชุดควบคุม ^a	ชุดทดสอบ ^b	ชุดควบคุม ^a	ชุดทดสอบ ^b
Pepsin	0	0	0	0
Proteinase K	0	0	0	0
Trypsin	0	0	0	0
Lipase	0	0	0	0
α -amylase	0	0	0	0
Catalase	0	0	0	0

^aชุดควบคุม หมายถึง ส่วนไสที่ปรับ pH และไม่ได้ทดสอบร่วมกับเอ็นไซม์

^bชุดทดสอบ หมายถึง ส่วนไสที่ปรับ pH และทดสอบร่วมกับเอ็นไซม์



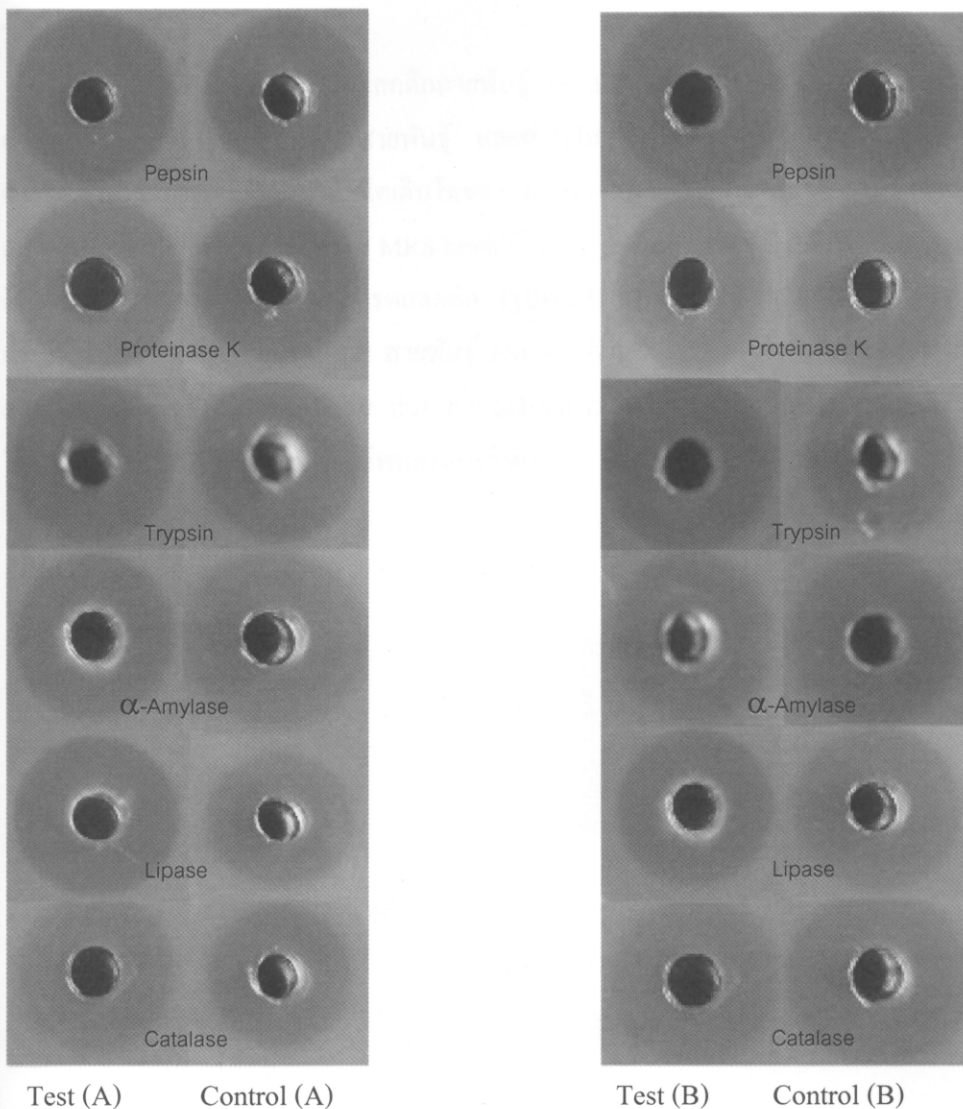
รูปที่ 23 การทดสอบสารยับยั้งของแบคทีเรียแผลติกกับ *L. monocytogenes* DMST4553 โดยวิธี agar well diffusion assay PS1240 A: ก่อนปรับ pH, A1: หลังปรับ pH และสายพันธุ์ PS1243 B: ก่อนปรับ pH และ B1: หลังปรับ pH

ตารางที่ 5 ผลการทดสอบสารยับยั้งของน้ำเลี้ยงเชื้อแบคทีเรียแผลติกที่ไม่ได้ปรับ pH กับเชื้อ *L. monocytogenes* DMST4553 โดยวิธี agar well diffusion assay

ชนิดของเอนไซม์ที่ใช้ทดสอบ	โชนการยับยั้ง (มม.)			
	PS1240		PS1243	
	ชุดควบคุม ^a	ชุดทดสอบ ^b	ชุดควบคุม ^a	ชุดทดสอบ ^b
Pepsin	17.2	18.2	16.6	16.5
Proteinase K	16.5	16.0	16.6	15.9
Trypsin	16.2	16.8	17.3	17.3
Lipase	14.8	17.0	17.3	17.3
α -amylase	17.9	17.8	17.5	17.5
Catalase	16.5	16.7	16.5	16.5

^aชุดควบคุม หมายถึง ส่วนใสที่ไม่ได้ปรับ pH และไม่ได้ทดสอบร่วมกับเอนไซม์

^bชุดทดสอบ หมายถึง ส่วนใสที่ไม่ได้ปรับ pH และทดสอบร่วมกับเอนไซม์



รูปที่ 24 การทดสอบสารขับยั้งของแบคทีเรียแอลกอติกสายพันธุ์ PS1240 (A) และ PS1243 (B) กับเชื้อ

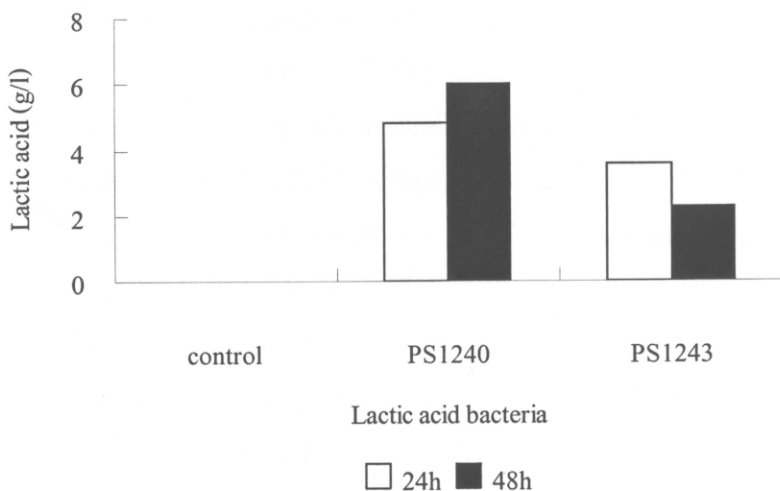
L. monocytogenes DMST4553 โดยวิธี Agar well diffusion assay หลังจากนึ่งร่วมกับ
เอนไซม์เป็นเวลา 2 ชม.

Test หมายถึง ส่วนไสที่ไม่ได้ปรับ pH และทดสอบร่วมกับเอนไซม์

Control หมายถึง ส่วนไสที่ไม่ได้ปรับ pH และไม่ได้ทดสอบร่วมกับเอนไซม์

7. การตรวจหา organic acid

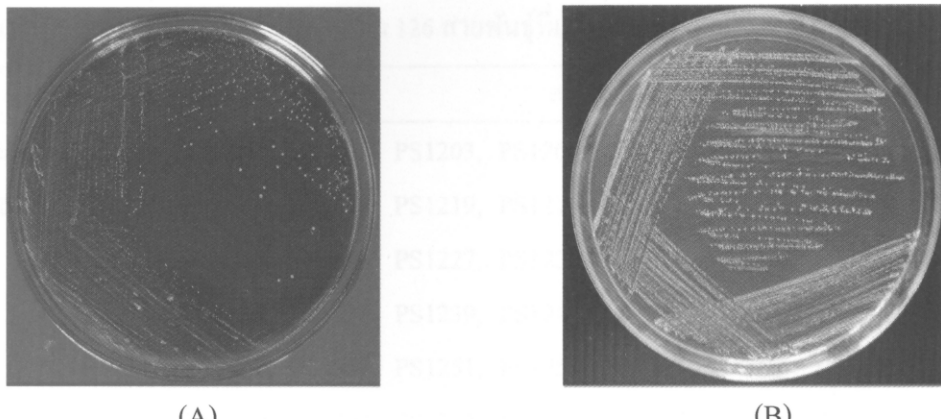
เนื่องจากแบคทีเรียแลกติกสายพันธุ์ PS1240 และ PS1243 มีความสามารถในการขับยั่งแบคทีเรียอินดิเคเตอร์ทั้ง 4 สายพันธุ์ และส่วนใหญ่ของอาหารเลี้ยงเชื้อแบคทีเรียแลกติก สองสายพันธุ์นี้มีความสามารถขับยั่งการเติบโตเติบโตของ *L. monocytogenes* DMST4553 จึงนำแบคทีเรียแลกติกทั้งสองสายพันธุ์ มาเลี้ยงใน MRS broth เป็นเวลา 24 และ 48 ชม. แล้วนำ culture broth มาตรวจหาปริมาณกรดอะซิติก และกรดแลกติก (รูปที่ 25) พบว่าแบคทีเรียแลกติกสายพันธุ์ PS1240 ผลิตปริมาณกรดแลกติกได้มากกว่า สายพันธุ์ PS1243 โดย PS 1240 ผลิตกรดแลกติก ปริมาณ 4.9 และ 5.9 g/l ในเวลา 24 และ 48 ชม. ส่วน PS1243 สามารถผลิตกรดแลกติกปริมาณ 3.6 และ 2.3 g/l ในเวลา 24 และ 48 ชม. แต่ตรวจไม่พบกรดอะซิติก



รูปที่ 25 การผลิตกรดแลกติกของแบคทีเรียแลกติกสายพันธุ์ PS1240 และ PS1243 ในอาหาร MRS broth บ่มที่อุณหภูมิ 35°C เป็นเวลา 24 และ 48 ชม. (control คือ MRS broth)

8. การระบุชนิดแบคทีเรียแลกติก

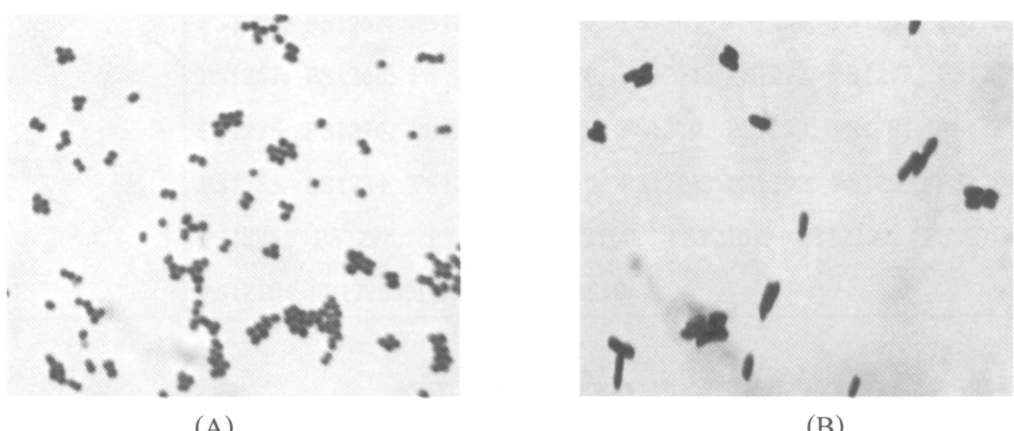
การบ่งชี้เพื่อระบุชนิดแบคทีเรียแลกติก ที่แยกได้จากตัวอย่างเต้าหู้ขึ้นจำนวน 126 สายพันธุ์ ทำโดยการทดสอบทางกายภาพและทางเคมี ดูลักษณะโคลอโน (รูปที่ 26) ข้อมติดสีกรัมบาง (รูปที่ 27) ทดสอบการเติบโตที่อุณหภูมิ 10°C และ 45°C ทดสอบการเติบโตในอาหารที่มี pH 4.4 และ pH 9.9 ทดสอบการเติบโตในอาหารที่มีเกลือ 6.5% และ 18% ผลปรากฏว่าสามารถจับแนกเป็นแบคทีเรียแลกติก *Lactobacillus* จำนวน 67 สายพันธุ์ (53.17%) จำแนกเป็น *Lactobacillus* ที่แยกจากกระบวนการหมัก 48 สายพันธุ์ จากก้อนเต้าหู้ (tofu) 9 สายพันธุ์ และจากเต้าหู้สำเร็จรูป 10 สายพันธุ์ และจำแนกเป็น *Pediococcus* 59 สายพันธุ์ (46.83%) โดยจำแนกเป็น *Pediococcus* ในกระบวนการหมัก 58 สายพันธุ์ และในเต้าหู้สำเร็จรูป 1 สายพันธุ์ (ตารางที่ 6) ทุกสายพันธุ์หมักน้ำตาลกลูโคสแล้วสร้างกรดแต่ไม่สร้างแก๊สจึงจัดเป็น homofermentative lactic acid bacteria ดังแสดงตัวอย่างการทดสอบของแบคทีเรียแลกติก 10 สายพันธุ์ และเปรียบเทียบกับแบคทีเรียแลกติกสายพันธุ์มาตรฐาน (ตารางที่ 7) หลักการคัดเลือกแบคทีเรียแลกติก 10 สายพันธุ์ดังกล่าว โดยอาศัยคุณสมบัติ probiotic และมีศักยภาพในการขับถ่ายแบคทีเรียก่อโรคในทางเดินอาหาร รวมทั้งความสามารถในการผลิตเอนไซม์ย่อยโปรตีน หรือย่อยไขมัน เพื่อบ่งชี้ในระดับ species โดยการทดสอบการใช้คาร์โบไฮเดรต โดย API 50 CHL test โดยใช้ *Lactobacillus plantarum* TISTR862 เป็นสายพันธุ์มาตรฐานเป็นตัวเปรียบเทียบ (ตารางที่ 7 และ ตารางที่ 8) (รูปที่ 28) และนำผลที่ได้ไปเปรียบเคียงชนิดโดยใช้โปรแกรมคอมพิวเตอร์ API Web Stand Alone V. 1.1.0 (ตารางที่ 9) เป็น *Lactobacillus curvatus* (99.4% identity) 3 สายพันธุ์ (PS1240, PS1241, PS1243) *Lactobacillus delbrueckii* (92.4% identity) 3 สายพันธุ์ (PS1287, PS12102, LPS1203) *Pediococcus* sp. (98.6, 94.5 และ 91.8% identity) 3 สายพันธุ์ (PS1231, PS1270, CPS1210) และ *Lactobacillus plantarum* (99.9% identity) 1 สายพันธุ์ (LPS1203) อย่างไรก็ตามเมื่อบ่งชี้ชนิดของแบคทีเรียแลกติกโดยวิธีการตรวจหาลำดับเบสของ 16S rRNA (รูปที่ 29) พบว่า *Lactobacillus curvatus* PS1240 (99.4% identity) เป็นสายพันธุ์ *Lactobacillus acidipiscis* (99% identity) และ *Pediococcus* PS1231 เป็น *Tetragenococcus halophilus* (99% identity)



(A)

(B)

รูปที่ 26 ลักษณะโคลoni ที่แตกต่างกันของแบคทีเรียแกลติกสายพันธุ์ PS1231 (A) และ PS1243 (B)
ที่เพาะเลี้ยงบนอาหาร MRS agar ปั่น 35°C เป็นเวลา 48 ชม.



(A)

(B)

รูปที่ 27 รูปร่าง การจัดเรียงตัว และการติดสีกรัมของแบคทีเรียแกลติกที่แยกได้จากการบวนการ
หมักเต้าหู้ชี (กำลังขยาย 100 เท่า)

A) รูปร่างแบบ cocci, tetrad formation ของเชื้อสายพันธุ์ PS1231

B) รูปร่างแบบ rod ของเชื้อสายพันธุ์ PS1243

ตารางที่ 6 การจำแนกแบนค์ที่เรียลแลกติก 126 สายพันธุ์ที่แยกได้จากตัวอย่างเต้าหู้ขี้

Genus	สายพันธุ์
<i>Lactobacillus</i> 67 สายพันธุ์	PS1201, PS1202, PS1203, PS1204, PS1205, PS1206, PS1207, PS1208, PS1209, PS1218, PS1219, PS1220, PS1221, PS1222, PS1223, PS1224, PS1225, PS1226, PS1227, PS1228, PS1229, PS1234, PS1235, PS1236, PS1237, PS1238, PS1239, PS1240, PS1241, PS1242, PS1243, PS1248, PS1249, PS1250, PS1251, PS1252, PS1253, PS1254, PS1255, PS1260, PS1262, PS1263, PS1286, PS1287, PS1288, PS1290, PS1298, PS1299, LPS1201, LPS1202, LPS1203, LPS1204, LPS1205, LPS1206, LPS1207, LPS1208, LPS1209, CPS1201, CPS1202, CPS1203, CPS1204, CPS1205, CPS1206, CPS1207, CPS1208, CPS1209, CPS1211
<i>Pediococcus</i> 59 สายพันธุ์	PS1210, PS1211, PS1212, PS1213, PS1214, PS1215, PS1216, PS1217, PS1230, PS1231, PS1232, PS1233, PS1244, PS1245, PS1246, PS1247, PS1256, PS1257, PS1258, PS1259, PS1261, PS1264, PS1265, PS1266, PS1267, PS1268, PS1269, PS1270, PS1271, PS1272, PS1273, PS1274, PS1275, PS1276, PS1277, PS1278, PS1279, PS1280, PS1281, PS1282, PS1283, PS1284, PS1285, PS1289, PS1291, PS1292, PS1293, PS1294, PS1295, PS1296, PS1297, PS12100, PS12101, PS12102, PS12103, PS12104, PS12105, PS12106, CPS1210

ตารางที่ 7 ตัวอย่างการทดสอบทางกายภาพและทางชีวเคมีของแบคทีเรียแลกติก 10 สายพันธุ์ และเปรียบเทียบกับสายพันธุ์มาตรฐาน

Strains	Shape	Tetrad formation	CO ₂ from glucose	Growth at		Growth in NaCl		Growth at pH		Enzyme production		
				10 °C	45 °C	6.5%	18%	4.4	9.6	protease	amylase	lipase
<i>Pediococcus</i> (PS1231)	cocci	+	-	-	+	-	-	+	-	+	-	-
<i>Lactobacillus</i> (PS1240)	rod	-	-	-	+	-	-	-	-	+	-	-
<i>Lactobacillus</i> (PS1241)	rod	-	-	-	+	-	-	+	-	+	-	-
<i>Lactobacillus</i> (PS1243)	rod	-	-	-	+	-	-	+	-	+	-	-
<i>Pediococcus</i> (PS1270)	cocci	+	-	-	-	+	+	+	-	+	-	+
<i>Lactobacillus</i> (PS1287)	rod	-	-	+	+	-	-	+	-	+	-	-
<i>Lactobacillus</i> (PS12102)	rod	-	-	+	+	-	-	+	-	+	-	-
LPS1203 (<i>Lactobacillus</i>)	rod	-	-	+	+	+	-	+	-	-	-	-
<i>Lactobacillus</i> (LPS1207)	rod	-	-	+	-	+	-	+	-	-	-	-
<i>Pediococcus</i> (CPS1210)	cocci	+	-	+	+	+	-	+	-	+	-	-
<i>L. plantarum</i> TISTR862	rod	-	-	+	+	+	-	+	-	-	-	-
<i>L. bulgaricus</i> TISTR451	rod	-	-	+	+	-	-	+	-	-	-	-
<i>P. halophilus</i> TISTR334	cocci	+	-	-	-	+	-	+	-	-	-	-
<i>L. lactis</i> TISTR1401	rod	-	+	+	+	-	-	+	-	-	-	-

หมายเหตุ: + = เดิบໂຕ, - = ໄມ່ເດີບໂຕ

ตารางที่ 8 การทดสอบการนำไปใช้เครต 49 ชนิดของแบคทีเรียแลกติกที่แยกจากไคเด็กซ์

Tube	Test	<i>Pediococcus</i>			<i>Lactobacillus</i>						<i>L. plantarum</i>
		PS1231	PS1244	CPS1210	PS1240	PS1241	PS1243	PS1287	PS12102	LPS1203	
0	CONTROL	-	-	-	-	-	-	-	-	-	-
1	Glycerol	-	d	-	d	-	d	-	-	d	-
2	Erytritol	-	-	-	-	-	-	-	-	-	-
3	D-Arabinos	-	-	-	-	-	-	-	-	d	-
4	L-Arabinose	-	+	+	-	-	-	-	-	d	+
5	D-Ribose	+	+	+	+	+	+	+	+	+	+
6	D-Xylose	-	-	-	-	-	-	-	-	d	-
7	L-Xylose	-	-	-	-	-	-	-	-	-	-
8	A-Adonitol	-	-	-	-	-	-	-	-	-	-
9	Methyl- β D-Xylopyranoside	-	-	-	-	-	-	-	-	-	-
10	D-Galactose	+	+	+	+	+	+	+	+	+	+
11	D-Glucose	+	+	+	+	+	+	+	+	+	+
12	D-Fructose	+	+	+	+	+	+	+	+	+	+
13	D-Mannose	+	+	+	+	+	+	+	+	+	+
14	L-Sorbose	-	-	-	-	-	-	-	-	d	-
15	L-Rhamnose	-	-	-	-	-	-	-	-	d	-
16	Dulcitol	-	-	-	-	-	-	-	-	-	-
17	Inositol	-	-	-	-	-	-	-	-	-	-
18	D-Mannitol	-	d	-	+	+	+	-	-	+	-
19	D-Sorbitol	-	-	-	-	-	-	-	-	+	-
20	Methyl- α D-Mannopyranoside	+	+	+	-	-	-	-	-	+	-
21	Methyl- α D-Glucopyranoside	d	-	d	d	-	d	-	-	-	-
22	N-Acetylglucosamine	+	+	+	d	+	d	-	d	d	+
23	Amygdalin	d	d	d	d	-	d	-	+	-	+

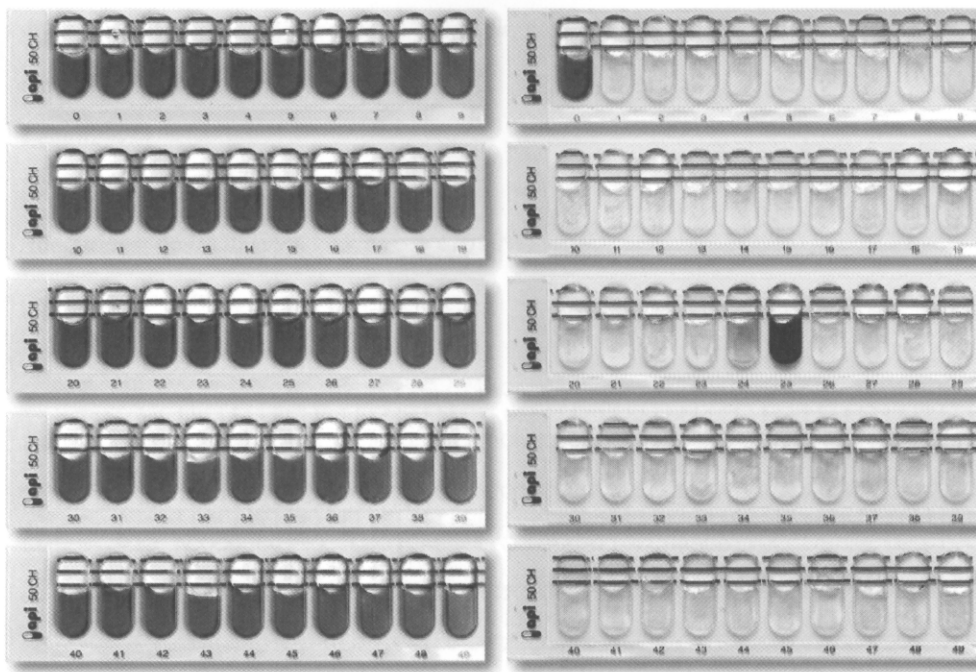
ตารางที่ 8 (ต่อ)

Tube	Test	<i>Pediococcus</i>				<i>Lactobacillus</i>						
		PS1231	PS1244	CPS1210	PS1240	PS1241	PS1243	PS1287	PS12102	LPS1203	LPS1207	<i>L. plantarum</i>
24	Arbutin	+	+	d	d	-	d	-	-	+	-	+
25	Esculin ferric citrate	+	+	+	+	+	+	-	-	+	-	+
26	Salicin	+	d	d	d	d	d	-	-	d	-	+
27	D-Cellobiose	+	+	+	+	+	+	-	-	+	-	+
28	D-Maltose	+	+	d	d	d	d	-	-	+	-	+
29	D-Lactose (bovine origin)	+	+	+	-	-	-	-	-	+	-	+
30	D-Melibiose	-	-	-	-	-	-	-	-	+	-	+
31	D-Saccharose	+	+	-	-	-	d	-	-	+	-	+
32	D-Trehalose	+	+	+	+	+	+	-	-	+	-	+
33	Inulin	-	-	-	-	-	-	-	-	-	-	-
34	D-Melezitose	d	-	-	-	-	-	-	-	+	-	+
35	D-Raffinose	-	-	-	-	-	-	-	-	+	-	+
36	Amidon (strach)	-	-	-	-	-	-	-	-	-	-	-
37	Glycogen	-	-	-	-	-	-	-	-	-	-	-
38	Xylitol	-	-	-	-	-	-	-	-	-	-	-
39	Gentiobiose	+	+	+	d	+	-	-	-	d	-	-
40	D-Turanose	+	+	-	-	-	-	-	-	+	-	+
41	D-Lyxose	-	-	-	-	-	-	-	-	-	-	-
42	D-Tagatose	-	-	-	+	+	d	d	-	-	d	-
43	D-Fucose	-	-	-	-	-	-	-	-	-	-	-
44	L-Fucose	-	-	-	-	-	-	-	-	-	-	-
45	D-Arabinol	-	-	-	-	-	-	-	-	-	-	-
46	L-Arabinol	-	-	-	-	-	-	-	-	-	-	-
47	Potassium Gluconate	-	-	-	d	-	-	-	-	d	-	-
48	Potassium 2-ketogluconate	-	-	-	-	-	-	-	-	-	-	-
49	Potassium 5-ketogluconate	-	-	-	-	-	-	-	-	-	-	-

+ : positive, - : negative, d : delay reaction

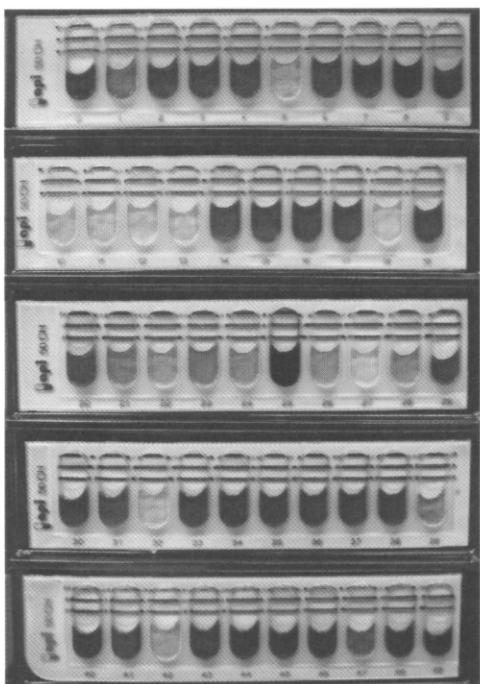
ตารางที่ 9 เปอร์เซ็นต์การบ่งชี้ชนิดของแบคทีเรียแลกติกโดยใช้ program computer API Web Stand Alone V. 1.1.0

รหัสแบคทีเรียแลกติก	แหล่งที่มา	ชนิดของแบคทีเรียแลกติกที่บ่งชี้ได้	%Identity
PS1231	FSF2	<i>Pediococcus</i> sp.	91.8
PS1240	FSF3	<i>Lactobacillus curvatus</i>	99.4
PS1241	FSF3	<i>Lactobacillus curvatus</i>	99.4
PS1243	FSF3	<i>Lactobacillus curvatus</i>	99.4
PS1270	FSF3	<i>Pediococcus</i> sp.	94.5
PS1287	FSF7	<i>Lactobacillus delbrueckii</i>	92.4
PS12102	FSF8	<i>Lactobacillus delbrueckii</i>	92.4
LPS1203	ก้อนเต้าหู้ (tofu)	<i>Lactobacillus plantarum</i>	99.9
LPS1207	ก้อนเต้าหู้ (tofu)	<i>Lactobacillus delbrueckii</i>	92.4
CPS1210	CSF9	<i>Pediococcus</i> sp.	98.6
<i>L. plantarum</i> TISTR 862	สถาบันวิจัยวิทยาศาสตร์และเทคโนโลยีแห่งประเทศไทย	<i>Lactobacillus plantarum</i>	99.9

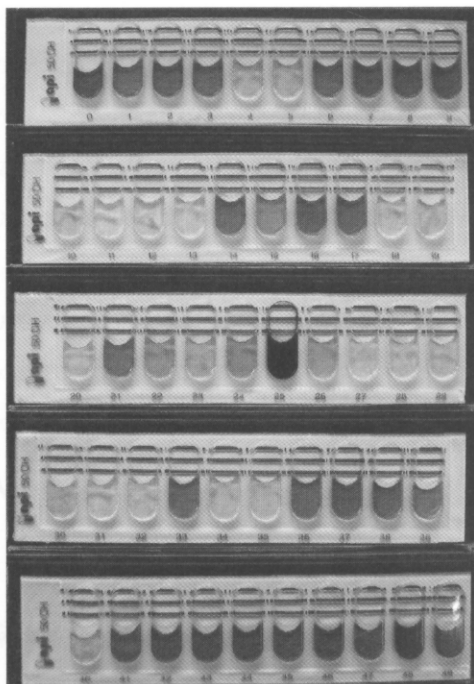


Negative control

Positive control



Test (PS1240)



Test (LPS1203)

รูปที่ 28 การบ่งชี้ชนิดของแบคทีเรียแกลกติกโดยใช้ API 50 CHL

Negative control หมายถึง แบคทีเรียแกลกติกไม่ผลิตกรดอกรณาเปลี่ยนสีอินดิเคเตอร์ (สีม่วง) Positive control หมายถึง แบคทีเรียติกสามารถใช้น้ำตาลแล้วผลิตกรดอกรณาเปลี่ยนสีอินดิเคเตอร์ (สีเหลือง)

dbj|AB236940.1| *Tetragenococcus halophilus* gene for 16S rRNA, partial sequence,
strain:E051627

Length=473

Score = 854 bits (462), Expect = 0.0

Identities = 467/470 (99%), Gaps = 1/470 (0%)

Strand=Plus/Minus

Query	28	CCTCTTCTCCTGTTCTTGCTGACAACAGAGCTTACGATCGAAAACCTTCTTCAC	87
Sbjct	473	CCTCTTCTCCTGTTCTTGCTGACAACAGAGCTTACGATCGAAAACCTTCTTCAC	414
Query	88	ACGC CGCG GTTG CT CGGT CAGA CTTG CGT CCATTGCC GAAG ATCC CTA	147
Sbjct	413	ACGC CGCG GTTG CT CGGT CAGA CTTG CGT CCATTGCC GAAG ATCC CTA	354
Query	148	G TAGG AGT CTGGG CGT GTCT CAGT CCC AGT GTGG CG ATCAC C TCA	207
Sbjct	353	G TAGG AGT CTGGG CGT GTCT CAGT CCC AGT GTGG CG ATCAC C TCA	294
Query	208	G CATCG TTG CTT GGT GAG CG GTT ACCT CACCA ACT GG CTA ATG CAC	267
Sbjct	293	G CATCG TTG CTT GGT GAG CG GTT ACCT CACCA ACT GG CTA ATG CAC	234
Query	268	A TCA GTG AC GCT GTAA AG CGC CTT GAG CTT CTT CAG GTGaaaaaaa	327
Sbjct	233	A TCA GTG AC GCT GTAA AG CGC CTT GAG CTT CTT CAG GTGAAAAAAAGCCATATGCGG	174
Query	328	T ATTAG CAC CT GTT CCA AGT GTT ATCCCC CG CT GAT GG A TAG GTT CCCC AC GT GT TACT	387
Sbjct	173	T ATTAG CAC CT GTT CCA AGT GTT ATCCCC CG CT GAT GG A TAG GTT CCCC AC GT GT TACT	11
Query	388	CACCC GTCCGCC ACTCC GCTTaanaaaaaaCCGAAGTTCTTCTTAAGCAGCGTTCGACT	447
Sbjct	113	CACCC GTCCGCC ACTCC GCTTaAGAAAAAACCGAAGTTCTTCTTAAGCAGCGTTCGACT	54
Query	448	TGCATGTATTAGGCACGCCGCCAGCGTTGTCCTGAGCCAGGGATCAAAC	497
Sbjct	53	TGCATGTATTAGGCACGCCGCCAGCGTTGTCCTGAGCCA-GGATCAAAC	5

(A)

รูปที่ 29 (A) การบ่งชี้นิodicของแบคทีเรียแลกติก PS1231 โดยวิธีการตรวจ
หาลำดับเบสของ 16S rRNA gene

dbj|AB289009.1| *Lactobacillus acidipiscis* gene for 16S rRNA, partial sequence, strain: JCM 10692

Length=680

Score = 808 bits (437), Expect = 0.0

Identities = 442/445 (99%), Gaps = 0/445 (0%)

Strand=Plus/Minus

```

Query 1   GTCAGCGCGATAACAGTTACTCTATCACGTGTTCTTCTGTGACAACAGTATTACGATC 60
          |||||||| | | | | | | | | | | | | | | | | | | | | | | | | | | | | | |
Sbjct 445 GTCAGCGCCATAGCAGTTACTCTATCACGTGTTCTTCTGTGACAACAGTATTACGATC 386
          |||||||| | | | | | | | | | | | | | | | | | | | | | | | | | | | | |
Query 61  CGAAGACCTTCTTCATACACGCCGGCTTGCTCCATCAGACTTGCCTCCATTGTGGAAGAT 120
          |||||||| | | | | | | | | | | | | | | | | | | | | | | | | | | | |
Sbjct 385 CGAAGACCTTCTTCATACACGCCGGCTTGCTCCATCAGACTTGCCTCCATTGTGGAAGAT 326
          |||||||| | | | | | | | | | | | | | | | | | | | | | | | | | | |
Query 121 TCCCTACTGCTGCCCTCCCGTAGGAGTTGGGCGTGTCTCAGTCCCAATGTGCCGATCA 180
          |||||||| | | | | | | | | | | | | | | | | | | | | | | | | | | |
Sbjct 325 TCCCTACTGCTGCCCTCCCGTAGGAGTTGGGCGTGTCTCAGTCCCAATGTGCCGATCA 266
          |||||||| | | | | | | | | | | | | | | | | | | | | | | | | | |
Query 181 ACCTCTCAGTTGGCTACGTATCATCACCTTGGTAAGCGTTACCTTACCAACTAGTTAA 240
          |||||||| | | | | | | | | | | | | | | | | | | | | | | | | | |
Sbjct 265 ACCTCTCAGTTGGCTACGTATCATCACCTTGGTAAGCGTTACCTTACCAACTAGTTAA 206
          |||||||| | | | | | | | | | | | | | | | | | | | | | | | | |
Query 241 TACGCCCGGGCTCATCCAAAAGCGACAGCTGACGCCGTCTTGGCCGGCCGACCATGCG 300
          |||||||| | | | | | | | | | | | | | | | | | | | | | | | | |
Sbjct 205 TACGCCCGGGCTCATCCAAAAGCGACAGCTGACGCCGTCTTGGCCGGCCGACCATGCG 146
          |||||||| | | | | | | | | | | | | | | | | | | | | | | | |
Query 301 GTCAGCCGGTTGATGCGGTATTAGCACCTGTTCCAAGTGTATCCCCCACTTNGGCA 360
          |||||||| | | | | | | | | | | | | | | | | | | | | | | | |
Sbjct 145 GTCAGCCGGTTGATGCGGTATTAGCACCTGTTCCAAGTGTATCCCCCACTTNGGCA 86
          |||||||| | | | | | | | | | | | | | | | | | | | | | |
Query 361 GATTGCCAACGTGTTACTCACCGTTGCCACTCGCACTTGACCGCTGAGTGCAAGCAC 420
          |||||||| | | | | | | | | | | | | | | | | | | | | | |
Sbjct 85 GATTGCCAACGTGTTACTCACCGTTGCCACTCGCACTTGACCGCTGAGTGCAAGCAC 26
          |||||||| | | | | | | | | | | | | | | | | | | | |
Query 421 TCATTAGTCAAAGATTGCGTTGAC 445
          |||||||| | | | | | | | | | | |
Sbjct 25 TCATTAGTCAAAGATTGCGTTGAC 1

```

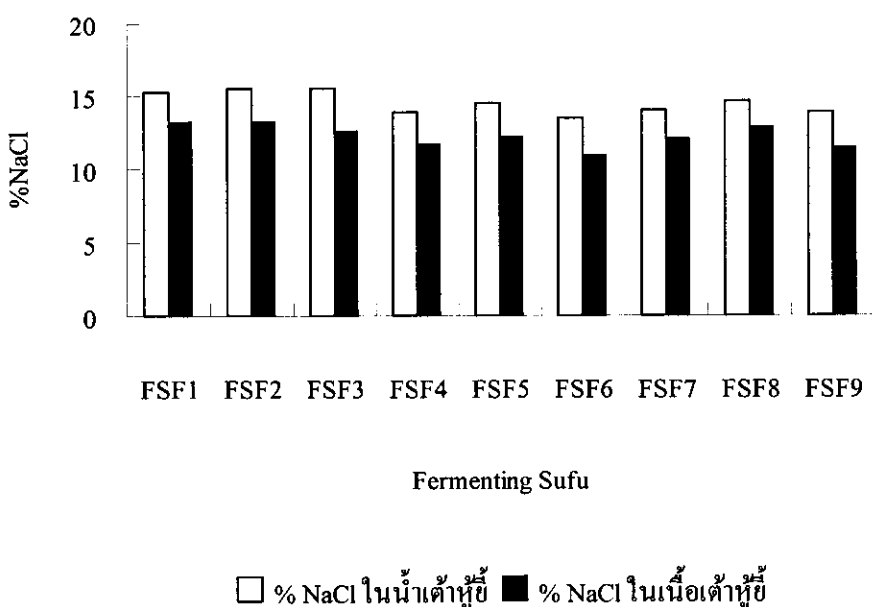
(B)

รูปที่ 29 (ต่อ) (B) การบ่งชีวนิດของแบคทีเรียแลกติก PS1240 โดยวิธีการตรวจหาลำดับ

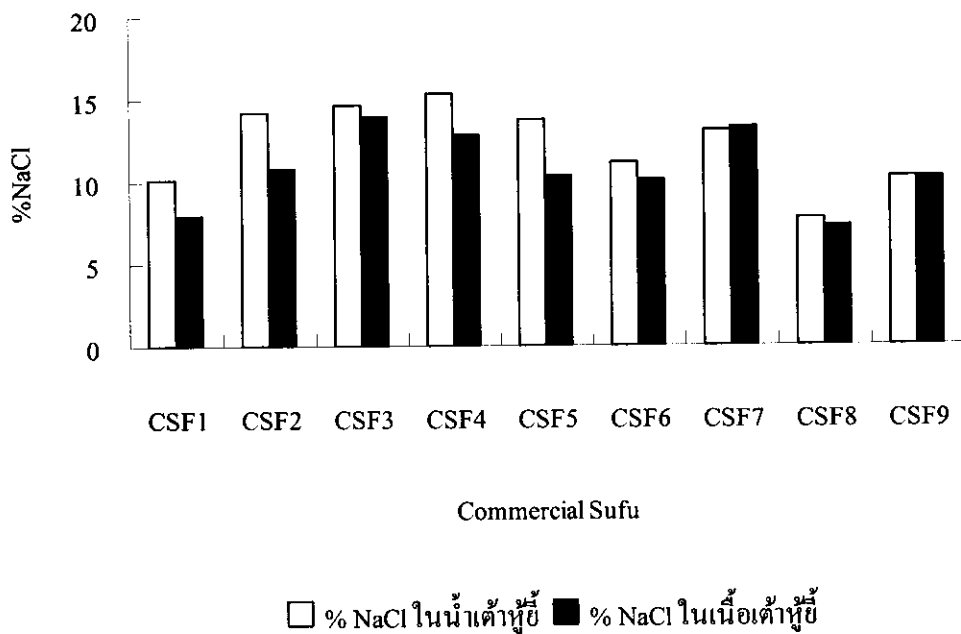
baseของ 16S rRNA gene

9. การตรวจหาปริมาณเกลือในตัวอย่างเต้าหู้ยี้

การตรวจหาปริมาณเกลือในตัวอย่างเต้าหู้ยี้ในกระบวนการหมัก (รูปที่ 30) และเต้าหู้ยี้สำเร็จรูป (รูปที่ 31) พบว่า เต้าหู้ยี้ในกระบวนการหมักมีปริมาณเกลือในน้ำเต้าหู้ยี้สูงกว่าในเนื้อ โดยมีปริมาณเกลือเริ่มต้น 15.2% (น้ำ) และ 13.2% (เนื้อ) และปริมาณเกลือลดลงต่อๆ ไปในเดือนที่ 6 แล้วเพิ่มขึ้นเล็กน้อย โดยมีปริมาณเกลือในเดือนที่ 9 เท่ากับ 13.8% (น้ำ) และ 11.4% (เนื้อ) ตามลำดับ ส่วนปริมาณเกลือในเต้าหู้ยี้สำเร็จรูปพบว่า ในน้ำเต้าหู้ยี้มีปริมาณเกลือสูงกว่าในเนื้อ เช่นเดียวกับเต้าหู้ยี้ในกระบวนการหมัก (FSF1-FSF9) ยกเว้นตัวอย่าง CSF9 ที่มีปริมาณเกลือเท่ากัน ทั้งในน้ำและเนื้อเต้าหู้ยี้ ส่วนตัวอย่างเต้าหู้ยี้สำเร็จรูปที่มีปริมาณเกลือในน้ำสูงสุด คือ CSF4 (15.3%) และมีปริมาณเกลือในเนื้อสูงสุดคือ CSF8 (7.8%) ส่วนตัวอย่างเต้าหู้ยี้สำเร็จรูปที่มีปริมาณเกลือในเนื้อ มากสุด คือ CSF3 (14.0%) และมีปริมาณเกลือในเนื้อสูงสุด คือ CSF8 (7.3%) เต้าหู้ยี้สำเร็จรูปที่ได้จากกระบวนการหมัก CSF1 มีปริมาณเกลือลดลงเท่ากับ 10.1 % (น้ำ) และ 7.9% (เนื้อ) ทั้งนี้เนื่องจากในขั้นตอนบรรจุขวดและนำเข้าจะมีการเติมน้ำและน้ำตาลโดยนัด



รูปที่ 30 เปอร์เซ็นต์เกลือในน้ำและเนื้อของตัวอย่างเต้าหู้ยี้ในกระบวนการหมัก



รูปที่ 31 เปรียบเทียบสัดส่วนของ NaCl ในน้ำและเนื้อของตัวอย่างเด้าหู้ชีสำเร็จรูป

10. การตรวจหาปริมาณแร่ธาตุ

เนื่องจากอาหารแต่ละชนิด จะมีองค์ประกอบของแร่ธาตุต่างๆ แตกต่างกัน ขึ้นกับวัตถุดิบที่นำมาใช้ และจากการตรวจหาปริมาณแร่ธาตุ จำนวน 12 ชนิด ในเต้าหู้ยี้สำเร็จรูป โดยมี CSF1 เป็นเต้าหู้ยี้สำเร็จรูปที่หมักแบบดั้งเดิมเป็นตัวอย่างควบคุมเพื่อเปรียบเทียบกับเต้าหู้ยี้สำเร็จรูปอื่นๆ อีก 5 ตัวอย่าง CSF2, CSF3, CSF6, CSF8 และ CSF9 (ตารางที่ 10) ผลการตรวจวิเคราะห์พบว่า สามารถจัดชั้นนิตและปริมาณแร่ธาตุที่มีอยู่ในเต้าหู้ยี้สำเร็จรูปได้ 3 กลุ่ม ดังนี้

1. กลุ่ม A ได้แก่ Mg และ Ca ที่มีปริมาณมากเป็นอันดับที่ 1 โดย CSF1 มีปริมาณ Mg และ Ca เท่ากับ 479.74 และ 153.42 mg/kg ตามลำดับ

2. กลุ่ม B ได้แก่ Li, Fe, Cu, Mn, Zn และ Al มีปริมาณมากอันดับ 2 (<30 mg/kg) โดยมีแร่ธาตุ 3 ชนิด ที่เป็นตัวบ่งชี้คุณภาพของเต้าหู้ยี้ ได้แก่ Fe, Zn, และ Al โดยตัวอย่างควบคุม CSF1 มีปริมาณ Fe, Zn และ Al เท่ากับ 7.21, 1.93 และ 1.87 mg/kg ตามลำดับ แต่ CSF2 มีปริมาณ Fe (23.88 mg/kg), Zn (7.35 mg/kg), และ Al (10.40 mg/kg) ซึ่งมากกว่าปริมาณที่มีใน CSF1 3.21 เท่า, 3.81 เท่า และ 5.56 เท่า ตามลำดับ ส่วน CSF3 มีปริมาณ Fe และ Al มากกว่า CSF1 2.19 เท่า และ 2.66 เท่า ตามลำดับ และตัวอย่าง CSF8 มีปริมาณ Zn และ Al มากกว่า CSF1 2.46 เท่า และ 3.28 เท่า

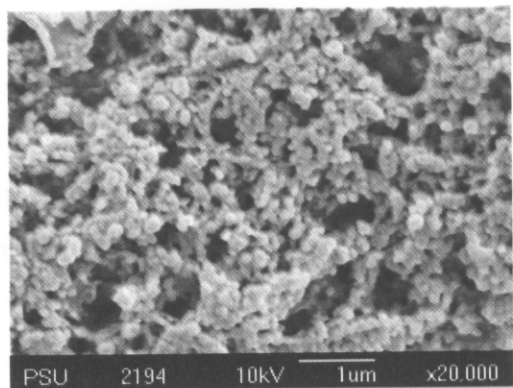
3. กลุ่ม C ได้แก่ Pb, Cd, As และ Ni มีปริมาณ <1 mg/kg ซึ่งแสดงถึงการปนเปื้อนสารพิษจากสิ่งแวดล้อม

ตารางที่ 10 ชนิดและปริมาณแร่ธาตุในหัวอ่าย่างเต้าหู้ขี้สำโรงรูป

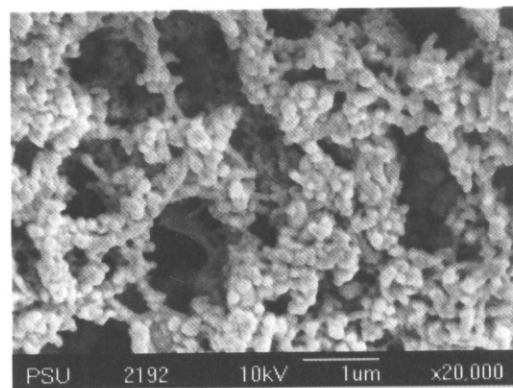
แร่ธาตุ	ปริมาณแร่ธาตุ (mg/kg)					
	CSF1	CSF2	CSF3	CSF6	CSF8	CSF9
Mg	479.740	174.300	2295.300	551.210	141.100	185.620
Ca	153.420	174.500	334.390	202.050	132.080	1159.680
Li	23.050	1.500	29.150	30.060	1.340	12.460
Fe	7.210	23.880	15.770	7.250	8.970	8.600
Cu	2.840	0.880	2.850	2.990	0.430	2.750
Mn	2.310	5.000	2.810	3.660	3.260	3.360
Zn	1.930	7.350	2.350	2.360	4.750	1.950
Al	1.870	10.400	4.970	2.040	6.140	3.220
Ni	0.100	0.120	0.100	0.240	0.090	0.160
As	0.050	0.010	0.090	0.040	0.001	0.007
Pb	0.020	0.040	0.020	0.020	0.030	0.002
Cd	0.010	0.020	0.010	0.010	0.020	0.002

11. SEM ของเนื้อเต้าหู้

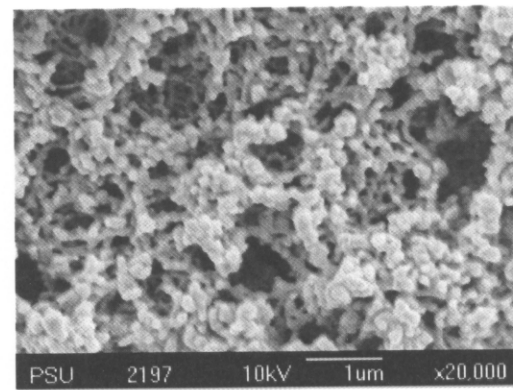
การตรวจโครงสร้างของเนื้อเต้าหู้ (วัตถุคิด) เต้าหู้ยังสำเร็จรูปชนิดเหลือง (CSF1) และเต้าหู้ยังแดง (CSF3) โดยใช้กล้องจุลทรรศน์อิเลคทรอนชันนิค scanning electron microscope (SEM) (รูปที่ 32) พบว่าเนื้อเต้าหู้วัตถุคิดก่อนหมัก มีโครงสร้างของเนื้อเต้าหู้หนาแน่นเป็นแบบ filamentous gel structure ซึ่งเกิดจากน้ำนมถั่วเหลืองดิบเป็น native protein ที่ไม่เกาะกตุ่ม (non-aggregated native protein) เมื่อต้มนมถั่วเหลืองโปรดีนจะเกาะกตุ่มเป็นสายยาว (filament formation) และเมื่อเติม $\text{Ca}^{++}/\text{Mg}^{++}$ ทำให้น้ำเต้าหู้แข็งตัวเป็น soybean curd (filamentous gel structure) โดย $\text{Ca}^{++}/\text{Mg}^{++}$ เป็นตัวเชื่อมระหว่างสายโปรดีนตรงตำแหน่ง carboxylic group (Kao, 2003) และเมื่อผ่านกระบวนการหมักที่มีเชื้อรา แบคทีเรีย และยีสต์ เป็นเวลา 9 เดือน พบว่า เนื้อเต้าหู้เหลือง (CSF1) มีรูพรุนขนาดใหญ่และจำนวนมากกว่า เมื่อเปรียบเทียบกับเนื้อเต้าหู้ที่ยังไม่ได้หมัก ส่วนเนื้อเต้าหู้ยังแดง (CSF3) อนุภาคโปรดีนจับกันหนาแน่นกว่าและมีรูพรุนน้อยกว่าเต้าหู้ยังเหลือง



A



B



C

รูปที่ 32 SEM ของก้อนเต้าหู้ที่ยังไม่ได้หมัก (A), ก้อนเต้าหู้ที่เหลืองสำเร็จรูป อ. เมือง จ. สงขลา (B) และก้อนเต้าหู้ที่แดงสำเร็จรูป จากประเทศไทย (C)

12. การตรวจหา *Bacillus Diarrhoeal Enterotoxin (BDE)* ในตัวอย่างเต้าหู้ยี้สำเร็จรูป

ผลจากการทดสอบหา BDE จากตัวอย่างเต้าหู้ยี้สำเร็จรูปเป็นห้องต่างๆ จำนวน 9 ตัวอย่าง (CSF1-CSF9) โดยทำการเปรียบเทียบผลที่ได้กับ positive control, negative control และ card color พบว่าตัวอย่างเต้าหู้ยี้ใส่ใน BHI+0.1%glucose (enriched medium) เพื่อเพิ่มความสามารถในการสร้าง enterotoxin และบ่มไว้ 18 ชม. พบว่าตัวอย่างเต้าหู้ยี้ที่ตรวจพบ BDE มี 5 ตัวอย่างจาก 9 ตัวอย่าง ได้แก่ CSF1, CSF2, CSF6, CSF8 และ CSF9 คิดเป็น 56% โดยที่เมื่อไม่มีการบ่มตัวอย่างเต้าหู้ยี้ใน BHI+0.1%glucose (non-enriched medium) (direct assay) พบว่าตัวอย่างทั้งหมดตรวจไม่พบ BDE คิดเป็น 100% ที่ปลดออกซิเจน BDE และคงผลดัง ตารางที่ 11

**ตารางที่ 11 การตรวจหา *Bacillus* Diarrhoeal Enterotoxin ในตัวอย่างเต้าหู้สำเร็จรูป
โดยใช้ TECRA BDE VIA**

Sample	<i>Bacillus</i> (log CFU/g)	Card color	Enterotoxin* (Enriched)	Enterotoxin** (non-enriched) (Direct assay)
CSF1	3.6	4	+	-
CSF2	3.0	4	+	-
CSF3	5.6	2	-	ND
CSF4	5.7	2	-	ND
CSF5	4.6	2	-	ND
CSF6	6.9	5	+	-
CSF7	5.3	2	-	ND
CSF8	4.9	4	+	-
CSF9	5.1	4	+	-
positive control	ND	4	+	ND
negative control	ND	1	-	ND
negative food control	ND	1	-	ND

positive control = BDE

negative control = BHI+0.1%glucose

negative food control = Sufu (ตัวอย่างเต้าหู้ CSF4)

ND = Not determined, + = positive, - = negative

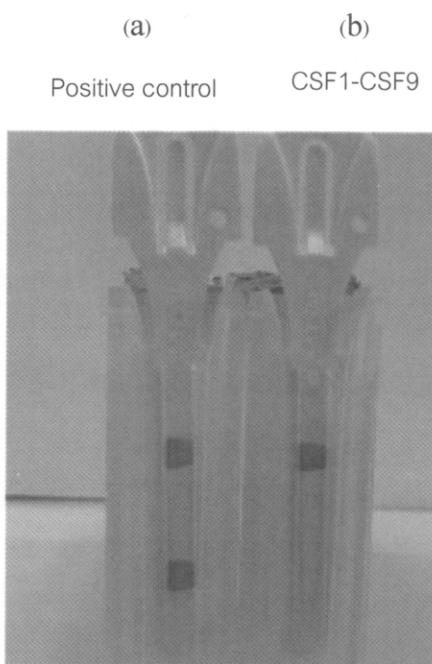
card color: 1= สีขาว (negative), 2= สีเขียวอ่อน (negative), 3= สีเขียว (positive), 4= สีเขียวเข้ม (positive) และ 5= สีเขียวแก่ (positive)

* ตรวจพบ Enterotoxin เมื่อใส่ตัวอย่างในอาหารเลี้ยงเชื้อ BHI+0.1%glucose (enriched medium)

** ตรวจไม่พบ Enterotoxin เมื่อตรวจตัวอย่างโดยไม่ได้ใส่ในอาหารเลี้ยงเชื้อ BHI+0.1%glucose (non-enriched medium)

13. ผลการตรวจหา Staphylococcal enterotoxin

การตรวจหา Staphylococcal enterotoxin โดยใช้ TECRA UNIQUE Staphylococcal enterotoxins (SET) ในตัวอย่างเต้าหู้ยำสำเร็จรูปจำนวน 9 ตัวอย่าง และเชื้อ *Staphylococcus aureus* 2 สายพันธุ์ คือ *Staphylococcus aureus* สายพันธุ์ ATCC 25923 และ *Staphylococcus aureus* สายพันธุ์ที่ได้จากการวิทยาศาสตร์การแพทย์ เมื่อนำผลที่ได้ไปเทียบกับการคิดพบว่าตรวจไม่พบ Staphylococcal enterotoxin ในทุกตัวอย่าง และเชื้อ *Staphylococcus aureus* สายพันธุ์ ATCC 25923 ไม่สร้าง Enterotoxin ส่วน *Staphylococcus aureus* สายพันธุ์ที่ได้จากการวิทยาศาสตร์การแพทย์ ตรวจพบเอนเทอโรทอกซิน ดังรูปที่ 33 และตารางที่ 12



รูปที่ 33 การตรวจหา Staphylococcal enterotoxins โดยใช้ TECRA UNIQUE Staphylococcal enterotoxins (SET)

- (a) *Staphylococcus aureus* สายพันธุ์ที่ได้จากการวิทยาศาสตร์การแพทย์ (Positive control)
- (b) ตัวอย่างเต้าหู้ยำสำเร็จรูป (CSF 1 – CSF9)

ตารางที่ 12 ปริมาณเชื้อที่หมักน้ำตามแม่นิทอล และผลการตรวจหา Staphylococcal enterotoxin ในตัวอย่างเต้าหู้ยำสำเร็จรูป

Sample	ปริมาณเชื้อ (log CFU/g)	Enterotoxin
CSF1	7.29	-
CSF2	6.91	-
CSF3	6.38	-
CSF4	3.44	-
CSF5	7.14	-
CSF6	6.25	-
CSF7	6.76	-
CSF8	6.14	-
CSF9	6.68	-
<i>Staphylococcus aureus</i> ATCC 25923		-
Positive control		+
Negative control		-

Positive control = *Staphylococcus aureus* ที่ได้มาจากการวิทยาศาสตร์ การแพทย์

Negative control = TECRA Staphylococcus growth medium

วิจารณ์ผลการทดลอง

แบบคทีเรียแลกติกที่แยกได้จากกระบวนการหมักเต้าหู้ชี๊ในการทดลองนี้มีรูปแบบของปริมาณเชื้อแบบคทีเรียแลกติกแตกต่างจากการรายงานของ ประเสริฐ และคณะ (2548) เมื่อจากการทดลองนี้ได้เติม sodium azide ในอาหารเลี้ยงเชื้อ MRS (ตารางที่ 2548) เพื่อยับยั้งยีสต์และร่านีองจากในกระบวนการหมักเต้าหู้ชี๊มีปริมาณยีสต์ที่สามารถตรวจพบตลอดระยะเวลาการหมัก และยีสต์สามารถเติบโตได้ดีบนอาหาร MRS agar (pH 6.5) ที่ใช้เป็น selective medium สำหรับแบบคทีเรียแลกติก ซึ่งถ้าไม่เติม sodium azide ในอาหาร MRS จะทำให้ยีสต์เติบโตเร็วกว่า และเติบโตทันแบบคทีเรียแลกติก และการที่ปริมาณแบบคทีเรียแลกติกมีปริมาณลดลงในระหว่างกระบวนการหมัก และในบางเดือนตรวจไม่พบแบบคทีเรียแลกติกทันเกลือ แต่ยังคงตรวจพบแบบคทีเรียแลกติกของเกลือ อาจเป็นเพราะสภาวะอากาศและสภาพแวดล้อมในแต่ละเดือนของการเก็บตัวอย่าง เนื่องจากวงจรอัมพาตในบริเวณ โล่งแจ้งและมีการปิดเพื่อให้เต้าหู้ชี๊สัมผัสกับแสงแดดในวันที่มีอากาศแจ่มใส ส่วนในจังหวัดอื่นๆ ที่มีอุณหภูมิการหมักแตกต่างกันพบแบบคทีเรียแลกติกในจำนวนที่ใกล้เคียงกับจังหวัดที่ใช้ในการศึกษาครั้งนี้ ซึ่งในแต่ละเดือนหรือในแต่ละจังหวัดอาจมีปริมาณแบบคทีเรียแลกติกแตกต่างกันบ้างทั้งนี้อาจขึ้นอยู่กับการปนเปื้อนของแบบคทีเรียแลกติกในวัตถุคุณที่ใช้หรือการปนเปื้อนที่เกิดขึ้นในระหว่างกระบวนการหมัก นอกจานี้สิ่งที่น่าสนใจคือการหมักเต้าหู้ชี๊สำเร็จรูป จำนวน 3 ตัวอย่าง จาก 9 ตัวอย่าง ทั้งนี้อาจเนื่องจากเชื้อแบบคทีเรียเหลือรอดจากการนึ่งฆ่าเชื้อก่อนออกจำหน่าย หรืออาจไม่มีการผ่านความร้อนหรือใช้ความร้อนต่ำมาก

ส่วนการตรวจหาแบบคทีเรียก่อโรคในทางเดินอาหารนั้น ผลปรากฏว่าตรวจไม่พบ faecal coliform ซึ่งแสดงถึงความปลอดภัยของผลิตภัณฑ์ตามมาตรฐานชุมชนผลิตภัณฑ์เต้าหู้ชี๊ (ภาคผนวก ๑) ที่ระบุว่าปริมาณ coliforms ต้องน้อยกว่า 3 ต่อตัวอย่าง 1 กรัม เมื่อตรวจหาด้วย MPN method ส่วน *Staphylococcus* ที่ตรวจพบนั้น เป็นสายพันธุ์ที่ไม่ทำให้เกิดโรค เนื่องจากให้ผลการทดสอบ coagulase negative อย่างไรก็ตามแบบคทีเรีย *Bacillus* เป็นสายพันธุ์ที่ตรวจพบตลอดกระบวนการหมัก รวมทั้งในเต้าหู้ชี๊สำเร็จรูป ปริมาณระหว่าง 10^3 - 10^6 CFU/กรัม และจากการบ่งชี้โดยใช้ API 50 CHB system (ลูกман, 2549) พบว่าเป็น *Bacillus cereus* (73-98% identity) และ *Bacillus laterosporous* (85-86%) ซึ่งจะเห็นได้ว่าการเทียบเคียงความเหมือนกันในระดับ species ยังให้ความเชื่อมั่นต่ำ จึงควรยืนยันการบ่งชี้ในระดับโมเลกุลโดยตรวจหาลำดับเบสของ 16S rRNA gene แล้วเทียบเคียง (blast) กับฐานข้อมูลใน Gen bank และการตรวจหา enterotoxin ของ *B. cereus* และ *Staphylococcal enterotoxin* โดยใช้ชุดทดสอบ TECRA Diagnostic kit

(Australia) เพื่อยืนยันผลความปลอดภัยของผลิตภัณฑ์เต้าหู้ต่อไป อย่างไรก็ตาม Han และคณะ (2004) ได้รายงานว่าตรวจพบ *B. subtilis* และ *B. cereus* ในเต้าหู้ที่ผลิตจากประเทศจีน ปริมาณน้อยกว่า 10^3 CFU/กรัม ซึ่งไม่เกินกำหนดขององค์การอาหารและยา (FDA) ของสหรัฐอเมริกา ซึ่งได้กำหนดผลิตภัณฑ์อาหารเป็นพืชปานปื้น *B. cereus* มีปริมาณเชื้อไม่นากกว่า 10^6 CFU/กรัม อย่างไรก็ตาม Shi และ Fung (2000) ได้รายงานว่าการเติมเชื้อก่อโรคทางเดินอาหาร เช่น *E. coli* O157 : H7, *Salmonella typhi*, *S. aureus* และ *L. monocytogenes* ปริมาณ $5 \log$ CFU/g ลงบนเต้าหู้ ตึงแต่เริ่มต้นกระบวนการทำเต้าหู้ก่อนใส่เชื้อรา *Actinomucor elegans* พบว่าเชื้อแบคทีเรียเพิ่มขึ้น เป็น $7-9 \log$ CFU/g ใน 2 วันแรก และเมื่อเติมเกลือ 10-12% NaCl พบว่าปริมาณเชื้อก่อโรคจะลดลง และตรวจไม่พบภายใน 1 เดือนของการหมัก ซึ่งแสดงให้เห็นว่าการเติมเกลือความเข้มข้นระดับปานกลางนี้สามารถควบคุมและขับขึ้นแบคทีเรียก่อโรคทางอาหารได้ดี

แบคทีเรียแลกติกที่แยกได้ทั้งหมด 126 สายพันธุ์เป็นแบคทีเรียนเกลือ (halotolerant) (65.9%) และแบคทีเรียชอบเกลือ (halophilic) (43.1%) ซึ่งเดินโตรได้ในอาหารที่ไม่มีการเติมเกลือและเติมเกลืออย่างน้อย 5% และเป็น facultative anaerobe นอกจากนี้แบคทีเรียแลกติกที่แยกได้ จำนวน 50 สายพันธุ์ (39.7%) ยังมีบทบาทในการผลิตเนยไขมันย่อยไปร์ตีน skim milk (โดยมี casein เป็นองค์ประกอบไปร์ตีน) และ gelatin ซึ่งน่าจะมีบทบาทการย่อยสลายไปร์ตีนในกระบวนการหมักร่วมกับแบคทีเรียในกลุ่ม *Bacillus* ซึ่งสามารถผลิตเนยไขมันย่อยไปร์ตีน เป็น และไขมันได้ดี ส่วนเชื้อร่าที่เป็นเชื้อเริ่มต้น มีบทบาทในการย่อยสลายไปร์ตีนและแป้งในระยะ 2 เดือน แรกของการหมักเนื่องจากเชื้อร่าไม่สามารถเดินโตรในสภาวะที่มีเกลือ 10% (ประเสริฐ และคณะ, 2548) การย่อยสลายไปร์ตีนของเต้าหู้ เพื่อเปลี่ยนโมเลกุลใหญ่ๆ ของไปร์ตีนเป็น peptide, amino acids, amines และ ammonia ทำให้เพิ่มปริมาณกลีนรส (Han et al., 2003) และในการย่อยสลายเต้าหู้ให้เป็นไปร์ตีนที่มีขนาดเล็กลงและกรดอะมิโนเพื่อใช้เป็น substrate ของเชื้อแบคทีเรียในการนำไปใช้เป็นอาหารสำหรับการคำรงชีพ ปริมาณกรดอะมิโนในเต้าหู้ที่ต่ำกว่า 10% ไม่เท่ากัน กรดอะมิโนที่มีมากในเต้าหู้ เช่น glutamic acid, aspartic acid, isoleucine, lysine, cystine, phenylalanine และ tyrosine ในขณะที่กรดอะมิโนที่มีในเต้าหู้นิดอื่นๆ เช่น glutamic acid, isoleucine, alanine, aspartic acid, phenylalanine, leucine และ valine (Han et al., 2001) ซึ่งกรดอะมิโนจะมีส่วนที่ทำให้เกิดกลีนรสของผลิตภัณฑ์อาหาร (Montel et al., 1998) นอกจากนี้แบคทีเรียแลกติกยังมีบทบาทในการผลิตสารประกอบ non volatile และ volatile ในอาหารประเภทเนื้อสัตว์ พบว่าแบคทีเรียแลกติก ผลิต D-lactic และ acetic acid ซึ่งทำให้เกิดรสเปรี้ยว และปรับลด pH ซึ่งสามารถควบคุมกิจกรรมของแบคทีเรียอื่นๆ ส่วนไปร์ตีนในกล้ามเนื้อถูกย่อยสลายเป็น peptides ส่วน lipids ถูกย่อยเป็น fatty acids โดย endogeneous enzymes และเอนไซม์จากแบคทีเรีย (Montel

et al., 1998). นอกจากนี้ยังได้มีการรายงานว่าในเต้าหู้ขี้แดงและเต้าหู้ขี้ขาวที่มีกลิ่นรสที่ดีนั้น ประกอบด้วย ester 22 ชนิด, alcohol 18 ชนิด, ketones 7 ชนิด, aldehydes 3 ชนิด, pyrazines 2 ชนิด, phenol 2 ชนิด และ volatile compounds (Hwan and Chou, 1999)

แบคทีเรียแลกติกที่แยกได้จากเต้าหู้ขี้มีคุณสมบัติการเป็นโปรดไบโอดิค คือ สามารถทนกรดและเกลือน้ำได้ ความสามารถในการทนกรดของแบคทีเรียแลกติกเป็นคุณสมบัติที่ทำให้สามารถมีชีวิตอยู่ในกระเพาะอาหาร ได้ โดยกระเพาะอาหารเป็นค่าน้ำแรกในการทำลายสิ่งแผลก ปลอมที่เข้ามาโดยการกิน (Dunne *et al.*, 2001) กระเพาะอาหารมีความเป็น pH อยู่ในช่วง 1.5 ถึง 4.5 ทั้งนี้ขึ้นอยู่กับอาหารที่บริโภค ซึ่งอาหารมีผลต่อ pH ในกระเพาะอาหาร และช่วยป้องกันแบคทีเรียแลกติกจากการถูกทำลายด้วยเอนไซม์และกรด (Lin *et al.*, 2006) นอกจากนี้หน้าที่หลักของแบคทีเรียแลกติกในลำไส้ คือ ทำให้เกิดสมดุลของแบคทีเรียในลำไส้ใหญ่ (Parvez *et al.*, 2006) ดังนั้นแบคทีเรียแลกติกต้องทนและมีชีวิตอยู่จากการกระเพาะอาหารและน้ำที่ออกจากลำไส้เล็ก โดยน้ำดีถูกผลิตขึ้นที่ต้นจากคลอเรสเตรอรอล แล้วถูกหล่อไปยังลำไส้เล็กตอนบน และน้ำดียังมีฤทธิ์ในการบันยั้งเชื้อแบคทีเรียกรัมบวก ได้ดีกว่าแบคทีเรียกรัมลบ (Dunne *et al.*, 2001) ดังนั้นการทนต่อน้ำดี มีความสำคัญสำหรับแบคทีเรียแลกติกในการเดินทางและอยู่รอดในส่วนลำไส้เล็กตอนบน (du Toit *et al.*, 1998) อย่างไรก็ตามความหวังใหม่ในการคัดเลือก probiotic LAB โดยใช้วิธีการทางชีววิทยาระดับโมเลกุล การตรวจหาลำดับเบส 16S rDNA หรือ DNA/DNA hybridization ของ probiotic LAB (Gueimonde and Salminen, 2006) เช่น ที่มี site specific action เพื่อตรวจหาคุณสมบัติ การเกิดเชลล์บล็อกลำไส้, การผลิต cytokines เพื่อลดการอักเสบ, การจับกับสารพิษ เช่น mycotoxin และ การจับกับโลหะหนัก เป็นต้น

แบคทีเรียแลกติกที่แยกได้ยังแสดงบทบาทในการบันยั้งแบคทีเรียอันตรายที่นำมามาก่อนได้แก่ *E. coli* ATCC25922 (96.0%), *S. aureus* ATCC25923 (79%), *B. cereus* TISTR687 (91.3%) และ *L. monocytogenes* DMST4553 (88.1%) ทั้งนี้เนื่องจากแบคทีเรียแลกติกมีความสามารถในการเปลี่ยนน้ำตาล ให้เป็นกรดแลกติก เมื่อเลี้ยงแบคทีเรียแลกติกในอาหารเลี้ยงเชื้อ จะผลิตกรดทำให้ pH ของอาหารลดลงอยู่ในช่วง 4.1 – 4.9 ซึ่งช่วง pH ดังกล่าวสามารถบันยั้งแบคทีเรียก่อโรคได้ทั้งกรัมบวกและกรัมลบ (Lin *et al.*, 2006) กรดที่ไม่แทรกตัวสามารถผ่านเข้าไปยัง cytoplasm ของแบคทีเรียก่อโรคและไม่สามารถกำจัดออกนอกรเซลล์ได้ทำให้ภายในเซลล์มีสภาพเป็นกรดแล้วทำให้เกิดการตายของแบคทีเรียก่อโรค (Russell and Diez-Gonzalez, 1998; Makras, 2006) ทำให้เกิดความล้มเหลวในการแลกเปลี่ยนโปรดตอน หรือทำลายเยื่อหุ้มเซลล์ทำให้สูญเสียความสามารถในการควบคุมการเข้าออกของสาร (Ammor *et al.*, 2006) กรดอินทรีย์ไม่เพียงแต่เป็นเครื่องกีดขวางที่มีผลทำลายแบคทีเรียก่อโรค แต่ยังมีบทบาทสำคัญในการบำรุงรักษา

สภาพภายในลำไส้ (Cook and Sellin, 1998) ซึ่งจากการศึกษาการขับยิ่งเชื้อของแบคทีเรียแลกติก พบว่าการทดสอบโดยวิธี Agar spot test ให้ผลการขับยิ่งเชื้อได้ดีกว่าวิธี Agar well diffusion assay ซึ่งมีแบคทีเรียแลกติกเพียง 2 สายพันธุ์ ที่ให้ผลขับยิ่งเชื้อก่อโรค ซึ่งให้ผลการทดสอบ เช่นเดียวกับ Corsetti และคณะ (1996) และ Todorov และคณะ (1999) และจากการศึกษาของ Simsek และคณะ (2006) ซึ่งได้แยกแบคทีเรียแลกติกจากหัวเขื่อนนมปั่น แล้วนำมาทดสอบกิจกรรมในการขับยิ่งเชื้อ พบว่ามีแบคทีเรียแลกติก 20 สายพันธุ์ จาก 250 สายพันธุ์ ให้ผลขับยิ่งเชื้อก่อโรคโดยวิธี Agar spot assay ทั้งนี้เป็น เพราะว่าการทดสอบด้วยวิธี Agar spot ใช้เชื้อที่มีชีวิตในการทดสอบแต่ Agar well diffusion assay ใช้ส่วนของน้ำเดี่ยงเชื้อ หรืออาจเป็น เพราะว่าความเข้มข้นของน้ำเดี่ยงเชื้อไม่เพียงพอในการขับยิ่งเชื้อก่อโรค (Toure *et al.*, 2003) นอกจากนี้พบว่า แบคทีเรียแลกติกสายพันธุ์ PS1240 และ PS1243 ที่มีศักยภาพในการขับยิ่งแบคทีเรียอินดิเคเตอร์นั้น ตรวจไม่พบว่าผลิตแบคเทอโริโอลิเซนและไออกโตรเจนเปลอร์อกรไซด์ เมื่อจากการทดสอบโดยน้ำส่วนใสของน้ำเดี่ยงเชื้อมปรับ pH เป็น 7.0 แล้วไม่พบร่วงในหลังจากทำ Agar well diffusion assay ส่วนน้ำเดี่ยงเชื้อที่ไม่ได้ปรับ pH เมื่อนำมาตรวจหาแบคเทอโริโอลิเซน เมื่อจากมีแบคเทอโริโอลิเซนบางชนิดทำงานได้ดีที่ pH ต่ำ (Chou *et al.*, 1988) พบว่าไม่มีการหายไปของวงไสของน้ำเดี่ยงเชื้อที่ทดสอบร่วมกับเอนไซม์ และคงว่าสารที่มีฤทธิ์ในการขับยิ่งแบคทีเรียก่อโรค *L. monocytogenes* คือ กรณ ซึ่งให้ผลการทดสอบ เช่นเดียวกับ Makras and Vuyst (2006) โดยพบว่า *Bifidobacterium* ผลิต กรณแลกติก และกรณอะซิติก ในการขับยิ่ง *Salmonella enterica* นอกจากนี้ Tome และคณะ (2006) พบว่า supernatant ของแบคทีเรียแลกติก 6 สายพันธุ์ สามารถขับยิ่งเชื้อ *L. monocytogenes* แต่เมื่อปรับ pH เป็น 6.5 พบว่า มีแบคทีเรียแลกติก 2 สายพันธุ์ ไม่สามารถขับยิ่ง *L. monocytogenes* เป็นไปได้ว่าการขับยิ่งที่เกิดขึ้น เป็นผลมาจากการ นอกจากนี้ยังคล้ายคลึงกับการรายงานของ Aslim และคณะ (2005) ซึ่งได้ทดสอบ supernatant ของ *Lactobacillus* spp. 19 สายพันธุ์ ที่แยกได้จากผลิตภัณฑ์นม พบว่าความสามารถในการขับยิ่งเชื้อ *L. monocytogenes* และ *S. aureus* ของ *Lactobacillus* spp. จำนวน 15 สายพันธุ์ หายไปเมื่อปรับ pH ของ supernatant เป็นกลาง แต่ยังไงก็ตาม ได้มีรายงานชนิดของแบคทีเรียแลกติกที่ผลิตแบคเทอโริโอลิเซน ได้แก่ *Pediococcus acidilactici* และ *Pediococcus pentosaceus* ผลิต pediocin ที่สามารถขับยิ่ง *Lactobacillus lactis* NCDO 176 (Gurira and Buys, 2005), *Enterococcus faecium* OQ31 ผลิต enterocin ที่สามารถลดการเติบโตของ *L. monocytogenes* ใน culture broth และพบว่ากิจกรรมขับยิ่งเชื้อหายไป 100% เมื่อทดสอบกับ α -chymotrypsin ในขณะที่กิจกรรมขับยิ่งเชื้อหายไปครึ่งหนึ่งเมื่อทดสอบกับ pepsin และ trypsin (Alvarado *et al.*, 2005), *Leuconostoc mesenteroides* sub sp. *dextranicum* ST 99 ผลิต mesenteriocin ST99 ซึ่งสามารถขับยิ่ง *Bacillus subtilis*, *Enterococcus faecalis*, *Lactobacillus* spp., *Lactococcus lactis*, *Listeria innocua*,

Staphylococcus aureus และ *Streptococcus thermophilus* โดยแบคทีโรริโอดินสูญเสียความสามารถในการขับยับ เชื้อเมื่อทดสอบกับ protease IV และ pronase E แต่บังคับมีกิจกรรมขับยับเชื้อเมื่อทดสอบกับ α -amylase, SDS, Tween 20, Tween 80, urea, Triton X-100, N-laurylsurcosin, EDTA และ phenylmethylsulfonylfluoride (Todorov and Dicks, 2004) *Lactococcus lactis* ที่แยกได้จากน้ำนมของคน ผลิต nisin ที่สามารถขับยับ *S. aureus* โดย nisin เป็นแบคทีโรริโอดินที่นิยมใช้ในอุตสาหกรรมผลิตอาหารเพื่อป้องกันแบคทีเรียก่อโรคและแบคทีเรียที่ทำให้อาหารเน่าเสีย (Heikkila and Saris, 2003) *Lactococcus lactis* ที่แยกจาก Tunisian cheese ผลิต Lactococcin MMT24 ซึ่งสามารถขับยับแบคทีเรียแลกติกที่มีความสัมพันธ์ใกล้ชิดกัน ได้แก่ *Lactobacillus* ssp. และ *Lactobacillus lactis* (Ghrairi et al., 2005) *Lactobacillus salivarius* ผลิตแบคทีโรริโอดิน OR-7 ให้โอนขับยับ *Campylobacter jejuni* โดยแบคทีโรริโอดินสูญเสียความสามารถในการขับยับเมื่อทดสอบร่วมกับ β -chymotrypsin, proteinase K และ papain แต่บังคับให้โอนขับยับเมื่อทดสอบกับ lysozyme และ lipase และมีคุณสมบัติทนร้อนได้ถึง 90°C (Stern et al., 2006) และแบคทีโรริโอดินของ *Lactobacillus acidophilus* และ *Lactobacillus casei* ที่สกัดค้าง醪อะซิโนน สามารถขับยับแบคทีเรียอินดิเคเตอร์ได้ทั้งกรัมบวกและกรัมลบ เช่น *Staphylococcus aureus*, *Escherichia coli* และ *Pseudomonas* ได้ดี แต่บยับ *Clostridium perfringens* และ *Vibrio parahaemolyticus* ได้ดีปานกลาง โดยแบคทีโรริโอดินที่สกัดได้สูญเสียความสามารถในการขับยับ เชื้อเมื่อทดสอบกับเอนไซม์ย่อยโปรตีน (Jamuna and Jeevaratnam, 2004)

แบคทีเรียแลกติกมีความสามารถในการเปลี่ยนน้ำตาลเป็นกรด โดยชนิดและปริมาณของกรด ขึ้นอยู่กับชนิดของแบคทีเรียแลกติก ซึ่งสามารถแบ่งแบคทีเรียแลกติกออกเป็น 2 กลุ่ม ตามวิธีในการเปลี่ยนน้ำตาลไปเป็นกรด ได้แก่ Heterofermentative lactic acid bacteria แบคทีเรียแลกติกที่อยู่ในกลุ่มนี้ เช่น *Leuconostoc*, *Oenococcus* และ *Lactococcus* ซึ่งมีความสามารถในการเปลี่ยนน้ำตาลผ่าน phosphoketolase pathway แล้วได้ lactic acid, acetic acid, carbon dioxide และ ethanol (Zaunmuller et al., 2006) ส่วน Homofermentative lactic acid bacteria แบคทีเรียแลกติกที่อยู่ในกลุ่มนี้ เช่น *Lactobacillus* และ *Pediococcus* ซึ่งมีความสามารถในการเปลี่ยนน้ำตาลผ่าน Embden-Meyerhof Parnas pathway แล้วได้ lactic acid เป็นผลิตภัณฑ์หลัก (Filya, 2003; Holzer et al., 2003) ซึ่งแบคทีเรียแลกติกที่แยกได้จากกระบวนการหมักเต้าหู้ยี้จัดอยู่ในกลุ่ม homofermentative lactic acid bacteria ซึ่งมีความสามารถในการหมักน้ำตาล แล้วผลิตกรดแลกติกเป็นผลิตภัณฑ์หลัก แต่ไม่ผลิตกรดบูนได้ออกไซด์

แบคทีเรียแลกติกที่แยกได้ในการศึกษาครั้งนี้ สามารถบ่งชี้เบื้องต้นในระดับ genus เป็นสายพันธุ์ *Pediococcus* และ *Lactobacillus* ซึ่งให้ผลสอดคล้องกับการรายงานก่อนหน้านี้ที่ตรวจ

พบ *Pediococcus* (ชาคริยา, 2544) และ *Lactobacillus* (สุภลักษณ์, 2549) และได้บ่งชี้เบคทีเรียแลกติกในระดับ species โดยคัดเลือกแบคทีเรียแลกติกที่มีศักยภาพในการเป็น probiotic ที่ทนกรด ทนเกลือน้ำดี มีความสามารถในการหมักสับสเตรทและสามารถขับถ่ายแบคทีเรียอินดิเคเตอร์ จำนวน 10 สายพันธุ์ โดยนำมาทดสอบการหมักน้ำตาลโดย API 50CHL system แล้วนำผลที่ได้ไปเทียบกับโปรแกรมคอมพิวเตอร์ ปรากฏว่าสามารถจัดแบคทีเรียแลกติกเป็น *Lactobacillus curvatus*, *Lactobacillus delbrueckii*, *Lactobacillus plantarum* และ *Pediococcus* sp. แต่เมื่อนำ *Lactobacillus curvatus* (PS1240) ที่บ่งชี้ชนิดโดย API 50CHL มาเขียนบันการบ่งชี้โดยการตรวจลำดับบนของ 16S rRNA gene แล้วเทียบเคียง (Blast) กับฐานข้อมูลที่มีใน Genbank ของแบคทีเรียแลกติกเป็น *Lactobacillus acidipiscis* (99% identity) ซึ่งผลการบ่งชี้ระหว่าง API และ 16S rRNA gene ไม่ตรงกัน อาจเนื่องมาจากฐานข้อมูลของ website API ยังไม่มีข้อมูลเกี่ยวกับการใช้คาร์โบไฮเดรตของ *L. acidipiscis* ซึ่งเป็นแบคทีเรียแลกติกสายพันธุ์ใหม่ที่เพิ่งค้นพบ โดยตรวจพบครั้งแรกในปี 2000 (Tanasupawat et al., 2000) และเพิ่งบรรจุในฐานข้อมูล GenBank ในปี ค.ศ. 2007 ส่วน *Pediococcus* (PS1231) ที่ได้จากการบ่งชี้ชนิดโดย API เมื่อนำมาตรวจยืนยันโดย 16S rRNA gene ปรากฏว่าเป็นสายพันธุ์เดียวกัน แต่มีการเปลี่ยนชื่อใหม่เป็น *Tetragenococcus halophilus* (99% identity)

แร่ธาตุที่ตรวจพบในตัวอย่างเต้าหู้ชี้เป็นตัวบ่งบอกถึงคุณภาพและแร่ธาตุ องค์ประกอบของเต้าหู้ชี้ ซึ่งจากการศึกษาตรวจหาปริมาณแร่ธาตุ 12 ชนิด พบว่าธาตุที่พบจำนวนมากที่สุดคือ Mg และ Ca โดยในกระบวนการหมักเต้าหู้มีการใช้สาร $MgSO_4$ หรือ $CaSO_4$ เพื่อตอกตะกอนโปรตีน และอีกประการหนึ่งคือ ในถั่วเหลืองมีปริมาณ Mg และ Ca จำนวนมาก (Moraghan et al., 2006) ส่วนธาตุที่พบเป็นอันดับ 2 คือ Li, Fe, Cu, Mn, Zn และ Al ซึ่งแร่ธาตุเหล่านี้สามารถบ่งชี้ถึงคุณภาพและการปลอมปนของเต้าหู้ และถ้าพบเป็นจำนวนมากอาจเป็นอันตรายต่อผู้บริโภคได้ เช่น Al และ Cu ถ้าได้รับเป็นระยะเวลานานอาจเป็นปัจจัยเสี่ยงนำไปสู่โรคทางระบบประสาท เช่น Alzheimer, Parkinson และ Prion หรือโรคอิกชนิดหนึ่งที่เกิดจาก Cu คือ Wilson ซึ่งเกิดขึ้นเนื่องจากร่างกายไม่สามารถขับถ่ายออกจากร่างกายได้และสะสมไว้ที่เนื้อเยื่อตับ (Battershill, 1995; Campbell et al., 1999; Kitzberger et al., 2005; Carlson et al., 2007) ส่วนธาตุที่พบปริมาณน้อยๆ ได้แก่ Ni, As, Pb และ Cd โดยเฉพาะอย่างยิ่ง Cd, Pb และ As เป็นธาตุที่ปนเปื้อนในสิ่งแวดล้อมและเชื่อมโยงกับห่วงโซ่ออาหารซึ่งถ้ารับประทานสะสมจะเป็นอันตรายต่อมนุษย์และสัตว์ (Yin et al., 2005) อย่างไรก็ตามผลิตภัณฑ์เต้าหู้ชี้สำเร็จรูปยังคงมีคุณภาพที่ปลอดภัยต่อผู้บริโภค เนื่องจากโลหะแร่ธาตุมีปริมาณไม่เกินกำหนดมาตรฐานในอาหาร (ประเภทอาหารทะเบียน) ของสหภาพยุโรป (commission regulation (EC) No.221/2002) ซึ่งกำหนดค่าสูงสุดของ

โลหะหนักเพียง 3 ชนิดได้แก่ Pb, Cd และ Hg คันนี 1.5, 0.5 และ 1.0 mg/kg wet weight (http://europa.eu.int/eur-lex/pri/en/oj/dat/2002/l_037/l_03720020207en00040006.pdf, May 4, 2007)

ส่วนการเปลี่ยนแปลงโครงสร้างพื้นผิวของก้อนเต้าหู้ที่ เมื่อศึกษาโดยใช้ SEM พบว่า ก้อนเต้าหู้ที่หั่นไม่ได้มักมีการจับกันของอนุภาคโปรตีนอย่างหนาแน่นเมื่อใส่ $\text{CaSO}_4 \cdot 2\text{H}_2\text{O}$ ความเข้มข้น 0.4% ซึ่งทำให้เต้าหู้มีการแข็งตัวสม่ำเสมอ มีสายโปรตีนขนาดใหญ่ (High Molecular weight protein; HMW) จับตัวล้อมรอบโปรตีนขนาดเล็ก (Low Molecular weight; LMW) และนำออกูปายในโครงข่าย (matrix) (Kao *et al.*, 2003) นอกจากนี้ในกระบวนการหมักเต้าหู้ยังมีเกลือ ความเข้มข้นประมาณ 10% เป็นองค์ประกอบหลัก โดยก้อนเต้าหู้ที่มีเชื้อรากัน (pehtze) เมื่อผสมกับ เกลือแล้วก้อนเต้าหู้จะดูดเกลือเข้าไป ซึ่งคุณสมบัติของเกลือความเข้มข้นปานกลางนี้ สามารถยับยั้ง เชื้อจุลทรรศ์ก่อโรคและจุลทรรศ์ที่ทำให้เกิดการเน่าเสีย และส่งเสริมการเติบโตของจุลทรรศ์ชน เกลือและจุลทรรศ์ทันเกลือที่มีบทบาทในการหมัก ดังที่กล่าวมาแล้ว อย่างไรก็ตามคุณสมบัติของ เกลืออีกประการหนึ่ง คือ เกลือทำให้โครงสร้างของเต้าหู้เปลี่ยนแปลงได้ ในการเพิ่มความแข็ง (hardness) (+100%), เพิ่มความยืดหยุ่น (elasticity) (+18%) แต่ลดการเกาะติดของโครงสร้าง (adhesiveness) (-30%) (Dunne *et al.*, 2001)

จากการตรวจหา BDE จากตัวอย่างเต้าหู้สำเร็จรูปปี่ห้อต่างๆ จำนวน 9 ตัวอย่าง (CSF1-CSF9) พบว่าตัวอย่างเต้าหู้ที่บ่นใน enriched medium (BHI+0.1%glucose) จะเพิ่มความสามารถในการสร้าง enterotoxin โดยพบว่าตัวอย่างเต้าหู้ที่ตรวจพบ BDE มี 5 ตัวอย่างจาก 9 ตัวอย่าง คิดเป็น 56% แต่เมื่อไม่มีการบ่นตัวอย่างเต้าหู้ใน BHI+0.1%glucose พบว่าตัวอย่างทั้งหมดตรวจไม่พบ BDE คิดเป็น 100% ที่ปลดภัยจาก BDE จึงอาจกล่าวได้ว่าเชื้อ *B. cereus* จะสามารถสร้างสารพิษได้เมื่อยูในสภาวะที่เหมาะสมก็คือเชื้อจะเติบโตและสร้างทอกซินในระยะ log phase (อดิศรา, 2547) และจากการตรวจหา BDE จากเชื้อ *Bacillus* ที่แยกได้จากตัวอย่างเต้าหู้สำเร็จรูปมี *Bacillus* ที่ตรวจพบ enterotoxin คิดเป็น 69 % ซึ่งเชื้อที่ตรวจพบ BDE เป็นเชื้อที่แยกได้จากตัวอย่างเต้าหู้สำเร็จรูปที่ตรวจพบ BDE ทุกเชื้อ ส่วน *Bacillus* ที่แยกได้จากเต้าหู้ในกระบวนการหมัก ตรวจพบ BDE จำนวน 5 สายพันธุ์ คิดเป็น 63 % ซึ่งเชื้อ *Bacillus* ที่แยกได้บน MYP agar ที่ผลิต lecitinase >yolk egg yolk ให้ความชุ่มร้อนโคลโนนนั้น มีสายพันธุ์ “ได้แก่ *B. cereus*, *B. thuringiensis*, *B. mycoides* และ *B. anthracis* แต่แตกต่างกันที่สายพันธุ์ที่เป็น *B. cereus* นั้นสามารถผลิต enterotoxin ได้ ดังนั้น สายพันธุ์ที่ให้ผลบวกต่อการทดสอบ BDE จึงน่าจะเป็น *B. cereus* แต่อย่างไรก็ตามปริมาณของ *B. cereus* ที่แยกได้ในปริมาณอยู่ระหว่าง 3.0 ถึง 6.9 log CFU/g และ 3.5 ถึง 4.6 log CFU/g สำหรับเต้าหู้สำเร็จรูปและเต้าหู้ในกระบวนการหมัก ตามลำดับ ซึ่งปริมาณเชื้อ *B. cereus* นี้มีปริมาณที่ไม่

ทำให้เกิดโรคอาหารเป็นพิษ เนื่องจากการทำให้เกิดอาหารเป็นพิษเสี่ยงที่จะเกิดอันตรายแก่ผู้บริโภค เมื่อมีการปนเปื้อนของเชื้อ *B. cereus* มีปริมาณเชือมากกว่า 5 log CFU/g (Han *et al.*, 2004) ยกเว้น ตัวอย่างเต้าหู้ชีส์สำเร็จรูป 2 ตัวอย่าง คือ CSF6 และ CSF9 ที่มีปริมาณเชื้อ *B. cereus* 6.9 และ 5.1 log CFU/g ตามลำดับ ซึ่งเป็นตัวอย่างที่ตรวจสอบ BDE และปริมาณเชื้อออยู่ในระดับที่สามารถทำให้เกิดอาหารเป็นพิษได้ ถึงแม้ว่าเต้าหู้ชีส์ส่วนใหญ่จะมีปริมาณเกลือที่สูง (5-15%) และปริมาณ ethanol (1-7%) ซึ่งสามารถขับยักษ์การเติบโตของจุลินทรีย์ที่ก่อโรคได้ แต่จุลินทรีย์ก่อโรคร่วมกันที่สร้างสารปอร์พูร์ร่วงแห่ง เช่น *Bacillus* และ *Clostridium* จะมีความสามารถในการทนกรดอ่อน ซึ่งสภาวะแบบนี้จะทำให้ในอุตสาหกรรมอาหารยากที่จะป้องกันไม่ให้จุลินทรีย์ก่อโรคร่วงแหง เช่นเดียวกับกลไกการศึกษาจุลินทรีย์ที่มีผลต่อความปลดปล่อยและคุณภาพของผลผลิตของเต้าหู้ชีส์ที่จำหน่ายทางการค้าของ Han และคณะ (2001) ซึ่งมีการตรวจสอบ *B. cereus* ในทุกตัวอย่างที่นำมาทดสอบ และพบว่า บางสายพันธุ์ของเชื้อ *Bacillus* มีความสามารถในการก่อให้เกิดโรคอาหารเป็นพิษเมื่อบริโภคโดยไม่ได้ทำผลิตภัณฑ์ให้ร้อนก่อนบริโภคโดยที่จำนวนของเชื้อ *B. cereus* มากกว่า 5 log CFU/g มีความเสี่ยงที่จะเกิดอันตรายกับผู้บริโภค ซึ่งบางครั้งที่จำนวนของเชื้อ *B. cereus* ในเต้าหู้ชีส์มากกว่า 5 log CFU/g ดังนั้นการผลิตระดับอุตสาหกรรมจึงควรมีการเอาใจใส่ในการผลิต (Han *et al.*, 2004) ซึ่งตามข้อกำหนดของกระทรวงสาธารณสุข (FDA) ของสหรัฐอเมริกา ได้กำหนดผลิตภัณฑ์อาหารเป็นพิษที่เกิดจากการปนเปื้อน *B. cereus* มีปริมาณเชื้อมากกว่า 6 log CFU/g ชุดทดสอบ TECRA *Bacillus Diarrhoeal Enterotoxin Visual Immunoassay* นอกจากจะสามารถตรวจหา BDE ในตัวอย่างอาหาร และจากเชื้อ *B. cereus* แล้วยังสามารถตรวจหา BDE จากตัวอย่างอุจจาระของผู้ป่วยที่มีอาการของโรคอาหารเป็นพิษ เพื่อเป็นการหาสาเหตุของการเกิดโรคอาหารเป็นพิษว่าเกิดจาก BDE หรือไม่ (Tan *et al.*, 1997)

สำรวจการตรวจหา *Staphylococcus aureus* ในตัวอย่างเต้าหู้ชีส์ที่วางขายตามห้องตลาดและห้างสรรพสินค้า ใน อ.หาดใหญ่ จ.สงขลา และจากโรงงานเต้าหู้ชีส์ อ.เมือง จ.สงขลา ตรวจไม่พบเชื้อ *S. aureus* เช่นเดียวกับ การศึกษาความปลดปล่อยของจุลชีววิทยาและคุณภาพของเต้าหู้ชีส์ โดย Han และคณะ (2001) ซึ่งตรวจไม่พบ *Staphylococcus aureus* อาจเนื่องมาจากการเต้าหู้ชีส์ที่ได้จากการหมัก และเต้าหู้ชีส์สำเร็จรูปนี้มีปริมาณเกลือค่อนข้างสูง ไม่เหมาะสมต่อการเจริญเติบโตของ *S. aureus* ซึ่ง *S. aureus* ส่วนใหญ่เจริญได้ที่มีความเข้มข้นเกลือประมาณ 10 % และเต้าหู้ชีส์ได้ผ่านกระบวนการนึ่งฆ่าเชื้อซึ่งทำให้ทำลายเชื้อ *S. aureus* ซึ่งถูกทำลายได้ด้วยความร้อนที่ 60 องศาเซลเซียส นาน 83 นาที สำรวจการตรวจไม่พบ Staphylococcal enterotoxins จากเชื้อสายพันธุ์มาตรฐาน *Staphylococcus aureus* ATCC 25923 ซึ่งให้ผลการทดสอบโภคภัยเลสเป็นบวกแต่ตรวจไม่พบเอนไซม์ทอกซิน อาจเนื่องมาจาก การขาดอีนส์บานงส่วนในการสร้าง enterotoxins ที่

อาจถูกควบคุมด้วยโครโนไซมหรือพลาสมิดแล้วแต่ชนิดของ Staphylococcal enterotoxins ซึ่ง *S. aureus* ที่ผลิตเอนเตอโรทอกซินมากเป็นพวกที่สังเคราะห์อีนไซน์โคแอกกูเลตได้ (สูมาลี, 2527) และการผลิต coagulase มีความสัมพันธ์กับการสร้าง enterotoxin ถึงร้อยละ 93 – 100 เมื่อรับประทานอาหารที่มี enterotoxin ประมาณ 1 – 25 ในโครกรัม (10^6 CFU/g) หลังจาก 1 – 6 ชม. จะเกิดอาหารคลื่นไส้อเจียน และอุจจาระร่วงเป็นน้ำ (กนกรัตน์, 2537) และ TECRA UNIQUE Staphylococcal enterotoxins (Unit) สามารถตรวจหาทอกซินได้ต่ำสุดในปริมาณ 0.25 นาโนกรัม ซึ่งอาจใช้วิธี Latex agglutination test ซึ่งสามารถตรวจหาทอกซินในปริมาณน้อยเพียง 0.1 – 1.0 นาโนกรัมที่สกัดจากอาหาร

สรุป

แบคทีเรียแลกติกสามารถตรวจพบได้ตลอดระยะเวลา 8 เดือนของกระบวนการห่มมักเต้าหู้ชี้ และสามารถแยกแบคทีเรียแลกติกได้ 126 สายพันธุ์ ซึ่งจัดเป็นแบคทีเรียทั่วไป 83 สายพันธุ์ (65.9%) และแบคทีเรียขอบเกลือ 43 สายพันธุ์ (34.1%) ซึ่งมีบทบาทในการย่อยสลายโปรตีนจากเต้าหู้ในกระบวนการห่มมัก แต่มีบทบาทน้อยในการย่อยสลายแป้งและไขมัน โดยแบคทีเรียแลกติกที่แยกได้มีคุณสมบัติเป็นประโยชน์ในอุตสาหกรรม ซึ่งสามารถยับยั้งแบคทีเรียอินดิเคเตอร์และแบคทีเรียก่อโรคทางอาหารที่นำมากทดสอบ และตรวจไม่พบแบคทีเรียก่อโรค *Escherichia coli*, *Staphylococcus aureus* และ *Listeria monocytogenes*

แบคทีเรียแลกติกที่แยกได้จำนวน 67 สายพันธุ์ (53.2%) และ *Pediococcus* จำนวน 59 สายพันธุ์ (46.8%) เป็นแบคทีเรียทั่วไปและขอบเกลือ ซึ่งสามารถเติบโตบนเกลือความเข้มข้น 5-10% เมื่อคัดเลือกประโยชน์ในอุตสาหกรรมแลกติก 2 สายพันธุ์ ได้แก่ *Lactobacillus* PS1240 และ PS1243 ซึ่งมีศักยภาพในการยับยั้งแบคทีเรียก่อโรค *L. monocytogenes* DMST4553 โดยการผลิตกรดแลกติก และเมื่อทำการนับเชื้อแบคทีเรียแลกติกดังกล่าวจัดเป็นสายพันธุ์ *Lactobacillus acidipiscis* ซึ่งข้อมูลที่ได้จากการศึกษาครั้นี้ทำให้เข้าใจบทบาทของแบคทีเรียแลกติก และสามารถนำไปใช้ประโยชน์เพื่อการพัฒนากระบวนการผลิตโดยนำมามำเป็นกล้าเชื้อในกระบวนการห่มมักเต้าหู้ชี้ต่อไป

จากการตรวจหา BDE โดยใช้ชุดทดสอบ TECRA *Bacillus Diarrhoeal Enterotoxin* Visual Immunoassay เมื่อทำใน enriched medium พบร้า ตัวอย่างเต้าหู้ชี้สำหรับตรวจ BDE จำนวน 5 ตัวอย่าง (CSF1, CSF2, CSF6, CSF8 และ CSF9) คิดเป็น 56 % แต่ตรวจไม่พบ *Staphylococcal enterotoxins* เมื่อตรวจด้วยชุดทดสอบ TECRA UNIQUE *Staphylococcal enterotoxins*

เอกสารอ้างอิง

- กนกรัตน์ ศิริพานิชกร. 2537. โรคติดเชื้อ. 444 หน้า. เชียงใหม่ : ภาควิชาจุลชีววิทยา
คณะสาราระสุขศาสตร์ มหาวิทยาลัยมหิดล.
- ชาคริยา ฉลาด. 2544. จุลชีววิทยาของเด็กๆ. วิทยานิพนธ์วิทยาศาสตรมหาบัณฑิต สาขาวุฒิ ชีววิทยามหาวิทยาลัยสงขลานครินทร์. หน้า 1-47.
- ดาวนี อะเว. 2548. การพัฒนาอาหารเลี้ยงเชื้อ MRS สำหรับแยกเชื้อแบคทีเรียแลกติก. โครงการ
ทางจุลชีววิทยาภาควิชาจุลชีววิทยาคณะวิทยาศาสตร์ มหาวิทยาลัยสงขลานครินทร์.
- นงลักษณ์ สุวรรณพินิจ. 2547. แบคทีเรียที่เกี่ยวข้องกับโรค. พิมพ์ครั้งที่ 3. กรุงเทพฯ: โรงพิมพ์
มหาวิทยาลัยธรรมศาสตร์. 400 หน้า.
- ประเสริฐ สายสิทธิ์. 2527. ถ่วงเหลืองและการใช้ประโยชน์ในประเทศไทย. กรุงเทพฯ: สถาบัน
ค้นคว้าและพัฒนาผลิตภัณฑ์อาหาร มหาวิทยาลัยเกษตรศาสตร์. หน้า 123-136.
- ประเสริฐ สนัตโนนาเสิศ, ชาคริยา ฉลาด, สิริพร ภูมิชน, สุวรรณี แสงแก้ว และ อร์ไพพิพพ์ สุข
หอม. 2548. จุลชีววิทยาของเด็กๆที่หมักแบบดั้งเดิม. ว.สงขลานครินทร์. 27: 363-375.
- ปราณี อ่านเปรื่อง. 2543. เอนไซม์ทางอาหาร. ภาควิชาเทคโนโลยีทางอาหาร คณะวิทยาศาสตร์
จุฬาลงกรณ์มหาวิทยาลัย. หน้า 149.
- ลักษณ์วัลย์ รัศมีทัต. 2536. จุลทรรศน์กับอุตสาหกรรมอาหาร. ชลบุรี: มหาวิทยาลัยบูรพา. หน้า
237- 242.
- ฤกานาน อาแซดอย. 2549. การแยกเชื้อ *Bacillus* จากกระบวนการหมักเด็กๆ. โครงการทางจุล
ชีววิทยา ภาควิชาจุลชีววิทยา คณะวิทยาศาสตร์ มหาวิทยาลัยสงขลานครินทร์. 1-42.
- วิเชียร ลีลาวัณย์. 2534. โพธิ์ดึงส์แลกติกแอซิดแบคทีเรียในอุตสาหกรรมอาหารไทย ครั้งที่ 1.
กรุงเทพฯ: คณะอุตสาหกรรมเกษตร มหาวิทยาลัยเกษตรศาสตร์ บางเขน.
- วิลาวัณย์ เจริญจิระตะรากุล. 2536. ผลิตภัณฑ์อาหารหมักจากจุลทรรศน์. คณะวิทยาศาสตร์
มหาวิทยาลัยสงขลานครินทร์.
- วิลาวัณย์ เจริญจิระตะรากุล. 2539. จุลทรรศน์ที่มีความสำคัญด้านอาหาร. กรุงเทพฯ: ไอเดียนสโตร์.
สุกี้ลักษณ์ ปานบุตร. 2549. การตรวจนับจุลทรรศน์ทั้งหมดและการแยกเชื้อแบคทีเรียแลกติกทบท
เกลือจากตัวอย่างเด็กๆ. โครงการทางจุลชีววิทยา คณะวิทยาศาสตร์
มหาวิทยาลัยสงขลานครินทร์ : หน้า 3-6: 37-38.
- สุมาลี เหลืองสกุล. 2527. จุลชีววิทยาทางอาหาร. 416 หน้า. กรุงเทพฯ. คณะวิทยาศาสตร์
มหาวิทยาลัยศรีนครินทร์วิโรฒ ประสานมิตร.

สุนณทา วัฒนสินธุ์. 2545. จุลทรรศน์วิทยาทางอาหาร. กรุงเทพ : โรงพยาบาลศิริราช. 454 หน้า.

- Alvarado, C., Garcia-Almendarez, B.E., Martin, S.E. and Regalado, C. 2005. Anti-Listeria monocytogenes bacteriocin-like inhibitory substances from *Enterococcus faecium* UQ31 isolated from artisan Mexican-style cheese. *Curr Microbiol.* 51: 110-115.
- Ammor, S., Tauveron, G., Dufour, E. and Chevallier, I. 2006. Antibacterial activity of lactic acid bacteria against spoilage and pathogenic bacteria isolated from the same meat small-scale facility1—Screening and characterization of the antibacterial compounds. *Food Control.* 17: 454–461.
- AOAC. 1990. Official Method of Analysis of the Association of Official Analytical Chemist. 15th edition, Verginia. The Association of Official Analytical Chemist, Inc. USA.
- Aslima, B., Yuksekdag, Z.N., Sarikayab, E. and Beyatlia, Y. 2005. Determination of the bacteriocin-like substances produced by some lactic acid bacteria isolated from Turkish dairy products. *LWT.* 38: 691-694.
- Axelsson, L.T., 1993. Lactic acid bacteria. New York, Marcell Dekker. pp.1-17.
- Battershill, J.H. 1995. Aluminum and Alzheimer's disease. *Cmaj.* 152: 467.
- Buttris, J. 1997. Nutritional properties of fermented milk products. *Int J. Dairy Technology.* 50; 21-27.
- Byczkowski, J.Z. and Gessner, T. 1988. Biological role of superoxide ion-radical. *Int J. Biochem.* 20: 569-580.
- Campbell, A., Prasad, K.N. and Bondy, S.C. 1999. Aluminum-induced oxidative events in cell lines: glioma are more responsive than neuroblastoma. *Free Radic Biol Med.* 26: 1166-1171.
- Campos, C.A., Rodri'guez, O., Calo-Mata, P., Prado, M. and Barros-Vela'zquez, J. 2006. Preliminary characterization of bacteriocins from *Lactococcus lactis*, *Enterococcus faecium* and *Enterococcus mundtii* strains isolated from turbot (*Psetta maxima*). *Food Research International.* 39: 356-364.
- Carlson, D., Beattie, J.H. and Poulsen, H.D. 2007. Assessment of zinc and copper status in weaned piglets in relation to dietary zinc and copper supply. *J. Anim Physiol Anim Nutr (Berl).* 91: 19-28.

- Chen, H. and Hoover, D.G. 2003. Bacteriocins and their Food Applications. Comprehensive reviews in food science and food safety. 2: 82-100.
- Chou, C.C., Ho, F.M. and Tsai, C.S. 1988. Effects of temperature and relative humidity on the growth of and enzyme production by *Actinomucor taiwanensis* during sufu pehtze preparation. Appl Environ Microbiol. 54: 688-692.
- Chung, H.Y., Fung, P.K. and Kim, J.S. 2005. Aroma impact components in commercial plain sufu. J. Agric Food Chem. 53: 1684-1691.
- Chung, H.J., Bang, W. and Drake, M.A. 2006. Stress Response of *Escherichia coli* comprehensive reviews in food science and food safety. 5: 52-64.
- Cook, S.I. and Sellin, J.H. 1998. Review article: short chain fatty acids in health and disease. Aliment Pharmacol Ther. 12: 499-507.
- Corsetti, A., Gobbetti, M. and Smacchi, E. 1999 Antibacterial activity of sourdough lactic acid bacteria: isolation of a bacteriocin like inhibitory substance from *Lactobacillus sanfrancisco* C57. Food Microbiol. 13: 447-456.
- David, B. 2002. Commission regulation (EC) amending Regulation (EC) No 466/2001 setting maximum levels for certain contaminants in foodstuffs. (Online). Available: http://europa.eu.int/eurlex/pri/en/oj/dat/2002/l_037/l_03720020207cn00040006. [Accessed May 4, 2007].
- de Carvalho, A.A., de Paula, R.A., Mantovani, H.C. and de Moraes, C.A. 2006. Inhibition of *Listeria monocytogenes* by a lactic acid bacterium isolated from Italian salami. Food Microbiol. 23; 213-219.
- Deegan, L.H., Cotter, P.D., Hill, C. and Ross, P. 2006. Bacteriocins: Biological tools for bio-preservation and shelf-life extension. J. Int Dairy. 16: 1058-1071.
- Donohue, D.C. and Salminen, S. 1996. Safety of probiotic bacteria. Asia Pacific. J. Clin Nutr. 5: 25-28.
- du Toit, M., Franz, C.M., Dicks, L.M., Schillinger, U., Haberer, P., Warlies, B., Ahrens, F. and Holzapfel, W.H. 1998. Characterisation and selection of probiotic *lactobacilli* for a preliminary minipig feeding trial and their effect on serum cholesterol levels, faeces pH and faeces moisture content. Int J. Food Microbiol. 40: 93-104.
- Dunne, C., O'Mahony, L., Murphy, L., Thornton, G., Morrissey, D., O'Halloran, S., Feeney, M.,

- Flynn, S., Fitzgerald, G., Daly, C., Kiely, B., O'Sullivan, G.C., Shanahan, F. and Collins, J.K. 2001. In vitro selection criteria for probiotic bacteria of human origin: correlation with in vivo findings. *Am J. Clin Nutr.* 73: 386S-392S.
- Filya, I. 2003. The effect of *Lactobacillus buchneri*, with or without homofermentative lactic acid bacteria, on the fermentation, aerobic stability and ruminal degradability of wheat, sorghum and maize silages. *J. Appl Microbiol.* 95: 1080-1086.
- Ghrairi, T., Frere, J., Berjeaud, J.M. and Manai, M. 2005. Lactococcin MMT24, a novel two-peptide bacteriocin produced by *Lactococcus lactis* isolated from rigouta cheese. *Int J. Food Microbiol.* 105: 389-398.
- Gilliland, S.E. and Speck, M.L. 1977. Deconjugation of bile acids by intestinal *lactobacilli*. *Appl Environ Microbiol.* 33: 15-18.
- Gueimonde, M. and Salminen, S. 2006. New methods for selecting and evaluating probiotics. *Dig Liver Dis.* 38 Suppl. 2: S242-247.
- Gurira, O.Z. and Buys, E.M. 2005. Characterization and antimicrobial activity of *Pediococcus* species isolated from South African farm-style cheese. *Food Microbiol.* 22: 159-168.
- Han, B.Z., Beumer, R.R., Rombouts, F.M. and Nout, M.J.R. 2001. Microbiological safety and quality of commercial sufu-a Chinese fermented soybean food. *Food Control.* 17: 541-547.
- Han, B.Z., Rombouts, F.M. and Nout, M.J. 2001. A Chinese fermented soybean food. *Int J. Food Microbiol.* 65: 1-10.
- Han, B.Z., Beumer, R.R., Rombouts, F.M. and Nout, M.J.R. 2001. Microbiological safety and quality of commercial sufu-a chinese fermented soybean food. *Food Control.* 17: 541-547.
- Han, B.Z., Wang, J.H., Rombouts, F.M. and Nout, M.J.R. 2003. Effect of NaCl on textural changes and protein and lipid degradation during the ripening stage of sufu, a chinese fermented soybean food. *J. Sci Food Agric.* 83: 899-904.
- Han, B.Z., Cao, C.F., Rombouts, F.M. and Nout, M.J.R. 2004. Microbial changes during the production of Sufu-a Chinese fermented soybean food. *Food Control.* 15: 265-270.
- Heikkila, M.P. and Saris, P.E. 2003. Inhibition of *Staphylococcus aureus* by the commensal bacteria of human milk. *J. Appl Microbiol.* 95: 471-478.

- Holzapfel, W.H., Haberer, P., Geisen, R., Bjorkroth, J. and Schillinger, U. 2001. Taxonomy and important features of probiotic microorganisms in food and nutrition. Am J. Clin Nutr. 73: 365S-373S.
- Holzer, M., Mayrhuber, E., Danner, H. and Braun, R. 2003. The role of *Lactobacillus buchneri* in forage preservation. Trends Biotechnol. 21: 282-287.
- Hwan, C.H. and Chou, C.C. 1999. Volatile components of the Chinese fermented soybean curd as affected by the addition of ethanol in aging solution. J.Sci. Food Agric. 79: 243-248.
- Jamuna, M. and Jeevaratnam, K. 2004. Isolation and characterization of *lactobacilli* from some traditional fermented foods and evaluation of the bacteriocins. J. Gen Appl Microbiol. 50: 79-90.
- Jay, J.M. 1982. Antimicrobial properties of diacetyl. Appl Environ Microbiol. 44: 525-532.
- Kao, F.J., Su, N.W. and Lee, M.H. 2003. Effect of calcium sulfate concentration in soymilk on the microstructure of firm tofu and the protein constitutions in tofu whey. J. Agric Food Chem. 51:6211-6216.
- Kitzberger, R., Madl, C. and Ferenci, P. 2005. Wilson disease. Metab Brain Dis. 20: 295-302.
- Klaenhammer, T., Altermann, E., Arigoni, F., Bolotin, A., Breidt, F., Broadbent, J., Cano, R., Chaillou, S., Deutscher, J., Gasson, M., van de Guchte, M., Guzzo, J., Hartke, A., Hawkins, T., Hols, P., Hutkins, R., Kleerebezem, M., Kok, J., Kuipers, O., Lubbers, M., Maguin, E., McKay, L., Mills, D., Nauta, A., Overbeek, R., Pel, H., Pridmore, D., Saier, M., van Sinderen, D., Sorokin, A., Steele, J., O'Sullivan, D., de Vos, W., Weimer, B., Zagorec, M. and Siezen, R. 2002. Discovering lactic acid bacteria by genomics. Antonie Van Leeuwenhoek. 82: 29-58.
- Konings, W.N., Kok, J., Kuipers, O.P. and Poolman, B. 2000. Lactic acid bacteria: the bugs of the new millennium. Curr Opin Microbiol. 3: 276-282.
- Lin, W.-H., Hwang, C.-F., Chen, L.-W. and Tsien, H.-Y. 2006. Viable counts, characteristic evaluation for commercial lactic acid bacteria products. Food Microbiology 23: 74-81.
- Lindgren, S.E. and Dobrogosz, W.J. 1990. Antagonistic activities of lactic acid bacteria in food and feed fermentations. FEMS Microbiol Rev. 7: 149-163.
- Ljungh, A. and Wadström, T. 2006. Lactic acid bacteria as probiotics. Curr. Issues Intestinal Microbiol. 7: 73-90.

- Makras, L. and Vuyst, L.D. 2006. The in vitro inhibition of gram-negative pathogenic bacteria by bifidobacteria is caused by the production of organic acids. *J. Int Dairy.* 16: 1049-1057.
- Millette, M., Dupont, C., Archambault, D. and Lacroix, M. 2007. Partial characterization of bacteriocins produced by human *Lactococcus lactis* and *Pediococcus acidilactici* isolates. *J. Appl Microbiol.* 102: 274-282.
- Montel, M.C., Masson, F. and Talon, R. 1998. Bacterial Role in Flavour Development. *Meat Science.* 49: S111-S123.
- Moraghan, J.T., Etchevers.J.D. and Padilla, J. 2006 Contrasting accumulations of calcium and magnesium in seed coats and embryos of common bean and soybean. *Food Chem.* 95: 554–561.
- Morelli, L. 2000. In vitro selection of probiotic *lactobacilli*: a critical appraisal. *Curr Issues Intest Microbiol.* 1: 59-67.
- O'Sullivan, L., Ross, R.P. and Hill, C. 2002. Potential of bacteriocin-producing lactic acid bacteria for improvements in food safety and quality. *Biochimie.* 84: 593-604.
- Ouwehand, A.C., Salminen, S. and Isolauri, E. 2002. Probiotics: an overview of beneficial effects. *Antonie Van Leeuwenhoek.* 82: 279-289.
- Parvez, S., Malik, K.A., Ah Kang, S. and Kim, H.Y. 2006. Probiotics and their fermented food products are beneficial for health. *J. Appl Microbiol.* 100: 1171-1185.
- Pederson, C.S. and Albury, M.N. 1969. The Sauerkraut Fermentation.Tech. Boll. Bulletin. 824 pp.
- Reiter, B. And Oram, J.D. 1982. Nutritional Studies on Cheese Starter Vitamin and Amino Acid Requirements of Single Strain Starters. *J. Dairy Res.* 29:63-68.
- Russell, J.B. and Diez-Gonzalez, F. 1998. The effects of fermentation acids on bacterial growth. *Adv Microb Physiol.* 39: 205-234.
- Salminen, S and Wright, A .V. 1993. Lactic acid bacteria. New York: Marcel Dekker Inc. 442 pp.
- Salminen, S. 2001. Human studies on probiotics: Aspects of scientific documentation. *Scand J. Nutr.* 45: 8-12.
- Shi, X. and Fung, D.Y. 2000. Control of foodborne pathogens during sufu fermentation and aging. *Crit Rev Food Sci Nutr.* 40: 399-425.

- Simsek, O., Con, A.H. and Tulumoglu, S. 2006. Isolating lactic starter cultures with antimicrobial activity for sourdough processes. *Food Control* 17: 263-270.
- Soomro, A.H., Masud, T. and Anwaar, K. 2002. Role of Lactic Acid Bacteria (LAB) in Food Preservation and Human Health – A Review. *Pakistan. J. Nutr.* 1: 20-24.
- Stern, N.J., Svetoch, E.A., Eruslanov, B.V., Perelygin, V.V., Mitsevich, E.V., Mitsevich, I.P., Pokhilenko, V.D., Levchuk, V.P., Svetoch, O.E. and Seal, B.S. 2006. Isolation of a *Lactobacillus salivarius* strain and purification of its bacteriocin, which is inhibitory to *Campylobacter jejuni* in the chicken gastrointestinal system. *Antimicrob Agents Chemother.* 50: 3111-3116.
- Tan, A., Heaton, S., Farr, L. and Bates, J. 1997. The use of *Bacillus* diarrhoeal enterotoxin (BDE) detection using an ELISA technique in the confirmation of the aetiology of *Bacillus*-mediated diarrhea. *Journal of Applied Microbiology.* 82: 677-682.
- Tanasupawat, S., Shida, O., Okada, S. and Komagata, K. 2000. *Lactobacillus acidipiscis* sp. nov. and *Weissella thailandensis* sp. nov., isolated from fermented fish in Thailand. *Int J. Syst Evol Microbiol.* 50 Pt 4: 1479-1485.
- Todorov, S., Onno, B., Sorokine, O., Chobert, J.M., Ivanova, I. and Dousset, X. 1999. Detection and characterization of a novel antibacterial substance produced by *Lactobacillus plantarum* ST 31 isolated from sourdough. *Int J. Food Microbiol.* 48: 167-177.
- Todorov, S.D. and Dicks, L.M. 2004. Characterization of mesentericin ST99, a bacteriocin produced by *Leuconostoc mesenteroides* subsp. *dextranicum* ST99 isolated from boza. *J. Ind Microbiol Biotechnol.* 31: 323-329.
- Tome, E., Teixeira, P. and Gibbs, P.A. 2006. Anti-listerial inhibitory lactic acid bacteria isolated from commercial cold smoked salmon. *Food Microbiol.* 23: 399-405.
- Toure, R., Kheadr, E., Lacroix, C., Moroni, O. and Fliss, I. 2003. Production of antibacterial substances by *bifidobacterial* isolates from infant stool active against *Listeria monocytogenes*. *J. Appl Microbiol.* 95: 1058-1069.
- Yang, D. and Woes, C.R. 1989. Phylogenetic structure of the *Leuconostocs* and interesting case of a rapidly evolving organism. *System Appl. Microbiol.* 12:145-149.

- Yin, L.J., Li, L.T., Liu, H., Saito, M. and Tatsumi, E. 2005. Effects of fermentation temperature on the content and composition of isoflavones and beta-glucosidase activity in sufu Biosci Biotechnol Biochem. 69: 267-272.
- Zaunmuller, T., Eichert, M., Richter, H. and Unden, G. 2006. Variations in the energy metabolism of biotechnologically relevant heterofermentative lactic acid bacteria during growth on sugars and organic acids. Appl Microbiol Biotechnol. 72: 421-429.